

การสุมตัวอย่างแพ็กเก็ตสำหรับตรวจจับหนอนแบบกราดตรวจ

นายเดชพงษ์ เลิศไพบูลวงศ์

คุณย์วิทยาพยากรณ์
วิทยานิพนธ์นี้เป็นส่วนหนึ่งของการศึกษาตามหลักสูตรปริญญาวิทยาศาสตร์รวมมหาบัณฑิต
สาขาวิชาวิทยาศาสตร์คอมพิวเตอร์ ภาควิชาวิศวกรรมคอมพิวเตอร์
คณะวิศวกรรมศาสตร์ จุฬาลงกรณ์มหาวิทยาลัย
ปีการศึกษา 2551
ลิขสิทธิ์ของจุฬาลงกรณ์มหาวิทยาลัย

PACKET SAMPLING FOR SCANNING WORM DETECTION

Mr. Lerdpong Lerdpaisarnwong



คุณบัตริยาสุขุม
A Thesis Submitted in Partial Fulfillment of the Requirements
for the Degree of Master of Science Program in Computer Science

จุฬาลงกรณ์มหาวิทยาลัย
Department of Computer Engineering
Faculty of Engineering
Chulalongkorn University

Academic Year 2008

Copyright of Chulalongkorn University

หัวข้อวิทยานิพนธ์

โดย

สาขาวิชา

อาจารย์ที่ปรึกษาวิทยานิพนธ์หลัก

การสุมตัวอย่างแพ็กเก็ตสำหรับตรวจจับหนอนแบบกราดตรวจ

นายเลิศพงษ์ เลิศไพศาลวงศ์

วิทยาศาสตร์คอมพิวเตอร์

อาจารย์ ดร.ยรรยง เติงคำนวย

คณะกรรมการคุณวิศวกรรมศาสตร์ จุฬาลงกรณ์มหาวิทยาลัย อนุมัติให้นับวิทยานิพนธ์ฉบับนี้เป็น^๑
ส่วนหนึ่งของการศึกษาตามหลักสูตรปริญญามหาบัณฑิต

คณบดีคุณวิศวกรรมศาสตร์

(รองศาสตราจารย์ ดร.บุญสม เลิศนิรถวงศ์)

คณะกรรมการสอบวิทยานิพนธ์

ประธานกรรมการ

(อาจารย์ จาลุมาตร ปันทอง)

อาจารย์ที่ปรึกษาวิทยานิพนธ์หลัก

(อาจารย์ ดร.ยรรยง เติงคำนวย)

กรรมการ

(อาจารย์ ดร.ณัฐกุล หนูไฟโภจน์)

กรรมการ

(อาจารย์ ธงชัย ใจนันกั้งสุดา)

คุณวิศวกรรมศาสตร์
จุฬาลงกรณ์มหาวิทยาลัย

เลิศพงษ์ เลิศไพศาลวงศ์ : การสุ่มตัวอย่างแพ็กเก็ตสำหรับตรวจจับหนอนแบบกราดตรวจ
(PACKET SAMPLING FOR SCANNING WORM DETECTION) อ. ที่ปรึกษา
วิทยานิพนธ์หลัก: อ.ดร.ยรรยง เต็งอำนวย, 80 หน้า.

ปัจจุบันข้อมูลบนเครือข่ายมีจำนวนมากขึ้นเรื่อยๆ ทำให้การเก็บข้อมูลสำหรับการวิเคราะห์ต้องใช้เนื้อที่มากและต้องมีการบริหารจัดการที่ดี วิธีการสุ่มตัวอย่างแพ็กเก็ตสามารถนำมาใช้กับสมินิฟเฟอร์ ทำให้สามารถเก็บข้อมูลเป็นระยะเวลานานขึ้น แต่การสุ่มตัวอย่างแพ็กเก็ตทำให้ประสิทธิภาพในการตรวจจับหนอนลดน้อยลง เพราะอัตราการกราดตรวจของหนอนหลังจากถูกสุ่มตัวอย่างจะลดน้อยลงด้วย จึงต้องเลือกอัตราการสุ่มตัวอย่างให้เหมาะสม งานวิจัยนี้ได้เสนอวิธีการสุ่มตัวอย่างสำหรับลดข้อมูล พร้อมทั้งการหาขอบเขตขั้นต่ำของการสุ่มตัวอย่างและอัตราการกราดตรวจของหนอนที่สามารถตรวจถูกจับได้อย่างมีประสิทธิภาพ

ศูนย์วิทยทรัพยากร จุฬาลงกรณ์มหาวิทยาลัย

ภาควิชา.....วิศวกรรมคอมพิวเตอร์..... ลายมือชื่อนิสิต..... เว็บมนูษ
สาขาวิชา.....วิทยาศาสตร์คอมพิวเตอร์..... ลายมือชื่อ อ. ที่ปรึกษาวิทยานิพนธ์หลัก.....
ปีการศึกษา....2551.....

4870444321 : MAJOR COMPUTER SCIENCE

KEYWORDS: SNIFFER / PACKET SAMPLING / INTRUSION DETECTION SYSTEM /
SNORT / WORM

LERDPONG LERDPAISARNWONG: PACKET SAMPLING FOR SCANNING
WORM DETECTION, ADVISOR: YUNYONG TENG-AMNUAY, Ph.D., 80 pp.

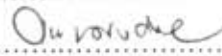
At present, data volume in the network is increasing dramatically. To keep traffic log for analysis, huge storage and extensive administration are needed. Packet sampling technique applied to sniffer is an interesting method for lengthening logging period. But packet sampling may cause some problems in worm detection performance, since some traffic log are lost and may not be adequate in capturing worm characteristics. Sampling rate needs to be chosen by considering worm scanning characteristic. This research proposes a packet sampling procedure for sniffer to increase duration of traffic logging, as well as establishing lower limit of sampling rate and minimum scanning rate for detecting scanning worm.

ศูนย์วิทยทรัพยากร จุฬาลงกรณ์มหาวิทยาลัย

Department: Computer Engineering.

Student's Signature... 

Field of Study: Computer Science.....

Advisor's Signature... 

Academic Year: ..2008.....

กิตติกรรมประกาศ

วิทยานิพนธ์ฉบับนี้สามารถเกิดขึ้นได้จากการอนุเคราะห์และขัด geleannawadicid ของ
อาจารย์ ดร.ยรวรยง เต็งคำนวย ซึ่งเป็นอาจารย์ที่ปรึกษาวิทยานิพนธ์ จนทำให้มีแนวคิดที่ชัดเจน
และสามารถทำได้จริง นอกจากท่านอาจารย์ที่ปรึกษาแล้วยังต้องขอขอบพระคุณศูนย์คอมพิวเตอร์
คณะวิศวกรรมศาสตร์ที่ได้อนุเคราะห์ให้ใช้สถานที่สำหรับติดตั้งเครื่องคอมพิวเตอร์สำหรับทดลอง
และคุณ ชนินทร์ มหารักษ์ จากศูนย์คอมพิวเตอร์ที่ให้คำแนะนำและช่วยเหลือในการติดตั้งและ
แก้ปัญหาเครื่องคอมพิวเตอร์สำหรับทดลอง

สุดท้ายนี้อย่างขอขอบคุณพี่น้องๆ ห้องปฏิบัติการ ISEL ทุกคน อาจารย์ทุกท่าน เพื่อนๆ
ที่อยู่ในรุ่นเดียวกัน และครอบครัวที่เคยให้กำลังใจเสมอตลอดเวลาที่ศึกษาอยู่ในจุฬาลงกรณ์
มหาวิทยาลัย

ศูนย์วิทยทรัพยากร
จุฬาลงกรณ์มหาวิทยาลัย

สารบัญ

หน้า

บทคัดย่อภาษาไทย	๑
บทคัดย่อภาษาอังกฤษ	๑
กิตติกรรมประกาศ.....	๒
สารบัญ	๓
สารบัญภาพตาราง.....	๔
สารบัญตารางภาพ.....	๕
บทที่ 1 บทนำ.....	๑
1.1 ความเป็นมาและความสำคัญของปัญหา.....	๑
1.2 วัตถุประสงค์ของการวิจัย	๒
1.3 ขอบเขตของการวิจัย	๒
1.4 ขั้นตอนของการวิจัย	๒
1.5 ประโยชน์ที่คาดว่าจะได้รับ	๓
1.6 ผลงานตีพิมพ์จากวิทยานิพนธ์.....	๓
บทที่ 2 ทฤษฎีและงานวิจัยที่เกี่ยวข้อง	๔
2.1 การสุมตัวอย่าง.....	๔
2.2 สนอร์ต.....	๔
2.3 โปรแกรมเบส	๕
2.4 หนองแบบกราดตรวจ	๖
2.5 การเชื่อมต่อและไฟล์.....	๗
2.6 งานวิจัยที่เกี่ยวข้อง	๗
บทที่ 3 การดำเนินงานวิจัย	๙
3.1 การตรวจจับการกราดตรวจ	๙
3.2 การศึกษาวิธีการสุมตัวอย่าง	๙
3.2.1 การสุมตัวอย่างแบบมีชั้นภูมิ	๙
3.2.2 การสุมตัวอย่างแบบมีระบบ	๑๑
3.2.3 การสุมตัวอย่างแบบง่าย	๑๑
3.2.4 ผลการศึกษาวิธีสุมตัวอย่างที่เหมาะสม.....	๑๑

3.3 ผลกระทบของการสูมตัวอย่าง	11
3.3.1 ความผิดพลาดจากการสูมตัวอย่าง.....	12
3.3.2 จำนวนการเชื่อมต่อ	14
3.4 การสูมตัวอย่างการเชื่อมต่อ	15
3.5 การเพิ่มช่วงเวลาในการเก็บข้อมูล	16
บทที่ 4 การทดลองและผลการทดลอง.....	18
4.1 วัตถุประสงค์การทดลอง	18
4.2 เครื่องมือที่ใช้ในการทดลอง	18
4.3 ข้อมูลสำหรับทดลอง	18
4.3.1 ข้อมูลควบคุม.....	18
4.3.2 ข้อมูลจริง	21
4.4 ขั้นตอนการทดลอง	21
4.4.1 ผลการสูมตัวอย่างเพื่อลดขนาดข้อมูล	22
4.4.2 ผลกระทบที่มีต่อจำนวนการเชื่อมต่อ	22
4.4.3 ผลกระทบที่มีต่อความแม่นยำในการตรวจจับ	24
บทที่ 5 การประยุกต์ใช้งาน	35
5.1 องค์ประกอบของระบบจัดเก็บและตรวจสอบข้อมูล	35
5.2 การทำงานของระบบโดยรวม	36
5.3 เร็บปรับแต่งค่าและแสดงผล	37
5.4 สรุปผลการประยุกต์ใช้งาน	39
บทที่ 6 สรุปผลการวิจัยและข้อเสนอแนะ.....	40
6.1 สรุปผลการวิจัย	40
6.2 ปัญหาที่พบจากการวิจัย	40
6.3 ข้อเสนอแนะ	41
รายงานข้างอิ่ง.....	42
ภาคผนวก.....	45
ภาคผนวก ก ผลการทดลองเพิ่มเติม	46
ภาคผนวก ข การสร้างข้อมูลควบคุม	66

หน้า

ภาคผนวก ค ผลงานตีพิมพ์	71
ประวัติผู้เขียนวิทยานิพนธ์	80



ศูนย์วิทยทรัพยากร จุฬาลงกรณ์มหาวิทยาลัย

สารบัญตาราง

หน้า

ตารางที่ 2.1	อัตราการกราดตรวจของหนอนต่อไฮสต์	6
ตารางที่ 2.1	(ต่อ) อัตราการกราดตรวจของหนอนต่อไฮสต์	7
ตารางที่ 3.1	การทำนายช่วงเวลาที่สามารถเก็บข้อมูลได้เมื่อสุ่มตัวอย่าง	17
ตารางที่ 4.1	ขนาดข้อมูลหลังจากสุ่มตัวอย่างเฉพาะหัวแพ็กเก็ต	22
ตารางที่ 4.2	อัตราส่วนความผิดพลาดจากการทดลองเมื่อสุ่มตัวอย่างแบบมีชั้นภูมิ กับข้อมูลควบคุมที่หน้าต่าง 10 วินาที	26
ตารางที่ 4.3	ผลการคำนวณอัตราส่วนความผิดพลาดเมื่อสุ่มตัวอย่าง กับข้อมูลควบคุมที่หน้าต่าง 10 วินาที	27
ตารางที่ 4.4	อัตราส่วนความผิดพลาดจากการทดลองเมื่อสุ่มตัวอย่างแบบมีชั้นภูมิ กับข้อมูลจริงที่หน้าต่าง 10 วินาที	28
ตารางที่ 4.5	ผลการคำนวณอัตราส่วนความผิดพลาดเมื่อสุ่มตัวอย่าง กับข้อมูลจริงที่หน้าต่าง 10 วินาที	29
ตารางที่ 4.6	จำนวนไฮสต์ที่เป็นผลbaughลงเมื่อสุ่มตัวอย่างแบบมีชั้นภูมิ	29
ตารางที่ 4.6	(ต่อ) จำนวนไฮสต์ที่เป็นผลbaughลงเมื่อสุ่มตัวอย่างแบบมีชั้นภูมิ	30
ตารางที่ 4.7	อัตราส่วนความผิดพลาดจากการทดลองเมื่อสุ่มตัวอย่างการเข้ามต่อ กับข้อมูลควบคุมที่หน้าต่าง 10 วินาที	30
ตารางที่ 4.7	(ต่อ) อัตราส่วนความผิดพลาดจากการทดลองเมื่อสุ่มตัวอย่างการเข้ามต่อ กับข้อมูลควบคุมที่หน้าต่าง 10 วินาที	31
ตารางที่ 4.8	อัตราส่วนความผิดพลาดจากการทดลองเมื่อสุ่มตัวอย่างการเข้ามต่อ กับข้อมูลจริงที่หน้าต่าง 10 วินาที	32
ตารางที่ 4.9	จำนวนไฮสต์ที่เป็นผลbaughลงเมื่อสุ่มตัวอย่างการเข้ามต่อ	33
ตารางที่ ก.1	อัตราส่วนความผิดพลาดจากการทดลองเมื่อสุ่มตัวอย่างแบบมีชั้นภูมิ กับข้อมูลควบคุมที่หน้าต่าง 30 วินาที	46
ตารางที่ ก.2	อัตราส่วนความผิดพลาดจากการทดลองเมื่อสุ่มตัวอย่างแบบมีชั้นภูมิ กับข้อมูลควบคุมที่หน้าต่าง 50 วินาที	47
ตารางที่ ก.3	อัตราส่วนความผิดพลาดจากการทดลองเมื่อสุ่มตัวอย่างแบบมีชั้นภูมิ กับข้อมูลควบคุมที่หน้าต่าง 70 วินาที	48

หน้า

ตารางที่ ก.18 ผลการคำนวณอัตราส่วนความผิดพลาดเมื่อสูมตัวอย่าง กับข้อมูลควบคุมที่หน้าต่าง 50 วินาที	62
ตารางที่ ก.19 ผลการคำนวณอัตราส่วนความผิดพลาดเมื่อสูมตัวอย่าง กับข้อมูลควบคุมที่หน้าต่าง 70 วินาที	63
ตารางที่ ก.20 ผลการคำนวณอัตราส่วนความผิดพลาดเมื่อสูมตัวอย่าง กับข้อมูลควบคุมที่หน้าต่าง 100 วินาที	63
ตารางที่ ก.21 ผลการคำนวณอัตราส่วนความผิดพลาดเมื่อสูมตัวอย่าง กับข้อมูลจริงที่หน้าต่าง 30 วินาที	64
ตารางที่ ก.22 ผลการคำนวณอัตราส่วนความผิดพลาดเมื่อสูมตัวอย่าง กับข้อมูลจริงที่หน้าต่าง 50 วินาที	64
ตารางที่ ก.23 ผลการคำนวณอัตราส่วนความผิดพลาดเมื่อสูมตัวอย่าง กับข้อมูลจริงที่หน้าต่าง 70 วินาที	65
ตารางที่ ก.24 ผลการคำนวณอัตราส่วนความผิดพลาดเมื่อสูมตัวอย่าง กับข้อมูลจริงที่หน้าต่าง 100 วินาที	65



ศูนย์วิทยทรัพยากร จุฬาลงกรณ์มหาวิทยาลัย

สารบัญภาพ

หน้า

รูปที่ 1.1	บริมาณข้อมูลจราจรภายในประเทศ	1
รูปที่ 1.2	บริมาณข้อมูลจราจรที่ออกไปต่างประเทศ	2
รูปที่ 2.1	ขั้นตอนการทำงานของสันอร์ต	5
รูปที่ 2.2	หน้าเว็บของปอร์แกรมเบส	6
รูปที่ 3.1	กระบวนการทำงานของ Flow-portscan	10
รูปที่ 3.2	การสุมตัวอย่างแบบมีชั้นภูมิ	10
รูปที่ 3.3	การสุมตัวอย่างแบบมีระบบ	11
รูปที่ 3.4	การสุมตัวอย่างแบบง่าย	11
รูปที่ 3.5	กราฟแจกแจงความถี่ปกติมาตรฐาน	12
รูปที่ 3.6	จำนวนแพ็กเก็ตการเชื่อมต่อเทียบกับความผิดพลาดในการสุมตัวอย่าง	13
รูปที่ 3.7	จำนวนไฟล์จากอัตราการสุมตัวอย่าง	15
รูปที่ 3.8	กระบวนการสุมตัวอย่างการเชื่อมต่อ	16
รูปที่ 4.1	ข้อมูลสะสม	19
รูปที่ 4.2	โครงสร้างเครือข่ายสำหรับเก็บข้อมูลหนอน	20
รูปที่ 4.3	การผนวกข้อมูลสะสมกับข้อมูลหนอน	21
รูปที่ 4.4	โครงสร้างเครือข่ายสำหรับเก็บข้อมูลคณะใหญ่แห่งหนึ่ง	21
รูปที่ 4.5	การหาจำนวนแพ็กเก็ตเฉลี่ยในแต่ละอัตราการสุมตัวอย่าง	23
รูปที่ 4.6	จำนวนการเชื่อมต่อเฉลี่ยของโโยสต์ที่อัตราการสุมตัวอย่าง 100 %	23
รูปที่ 4.7	จำนวนการเชื่อมต่อเฉลี่ยของโโยสต์ที่อัตราการสุมตัวอย่าง 10 %	24
รูปที่ 4.8	จำนวนการเชื่อมต่อเฉลี่ยของโโยสต์ที่อัตราการสุมตัวอย่าง 1 %	24
รูปที่ 4.9	การทดสอบความแม่นยำโดยการสุมตัวอย่างแบบมีชั้นภูมิ	25
รูปที่ 4.10	อัตราส่วนความผิดพลาดจากการทดลองเมื่อสุมตัวอย่างแบบมีชั้นภูมิ กับข้อมูลคุณที่หน้าต่าง 10 วินาที	26
รูปที่ 4.11	อัตราส่วนความผิดพลาดจากการทดลองเมื่อสุมตัวอย่างแบบมีชั้นภูมิ กับข้อมูลจริงที่หน้าต่าง 10 วินาที	28
รูปที่ 4.12	การทดสอบความแม่นยำโดยการสุมตัวอย่างการเชื่อมต่อ	30
รูปที่ 4.13	อัตราส่วนความผิดพลาดจากการทดลองเมื่อสุมตัวอย่างการเชื่อมต่อ	30

กับข้อมูลควบคุมที่หน้าต่าง 10 วินาที	31
รูปที่ 4.14 อัตราส่วนความผิดพลาดจากการทดลองเมื่อสูงตัวอย่างการเชื่อมต่อ กับข้อมูลจริงที่หน้าต่าง 10 วินาที	32
รูปที่ 4.15 จำนวนแพ็กเก็ตการเชื่อมต่อของหนอนต่อหน่วยเวลาที่เครือข่าย ความเร็วต่างกัน	34
รูปที่ 5.1 องค์ประกอบของระบบจัดเก็บและตรวจสอบข้อมูลฐาน	35
รูปที่ 5.2 การทำงานของระบบโดยรวม	36
รูปที่ 5.3 หน้าเว็บสำหรับลงบันทึกเข้า	37
รูปที่ 5.4 หน้าเว็บหลัก	38
รูปที่ 5.5 หน้าเว็บแสดงรายละเอียดผลการตรวจจับ	38
รูปที่ ก.1 อัตราส่วนความผิดพลาดจากการทดลองเมื่อสูงตัวอย่างแบบมีชั้นภูมิ กับข้อมูลควบคุมที่หน้าต่าง 30 วินาที	46
รูปที่ ก.2 อัตราส่วนความผิดพลาดจากการทดลองเมื่อสูงตัวอย่างแบบมีชั้นภูมิ กับข้อมูลควบคุมที่หน้าต่าง 50 วินาที	47
รูปที่ ก.3 อัตราส่วนความผิดพลาดจากการทดลองเมื่อสูงตัวอย่างแบบมีชั้นภูมิ กับข้อมูลควบคุมที่หน้าต่าง 70 วินาที	48
รูปที่ ก.4 อัตราส่วนความผิดพลาดจากการทดลองเมื่อสูงตัวอย่างแบบมีชั้นภูมิ กับข้อมูลควบคุมที่หน้าต่าง 100 วินาที	49
รูปที่ ก.5 อัตราส่วนความผิดพลาดจากการทดลองเมื่อสูงตัวอย่างการเชื่อมต่อ กับข้อมูลควบคุมที่หน้าต่าง 30 วินาที	50
รูปที่ ก.6 อัตราส่วนความผิดพลาดจากการทดลองเมื่อสูงตัวอย่างการเชื่อมต่อ กับข้อมูลควบคุมที่หน้าต่าง 50 วินาที	51
รูปที่ ก.7 อัตราส่วนความผิดพลาดจากการทดลองเมื่อสูงตัวอย่างการเชื่อมต่อ กับข้อมูลควบคุมที่หน้าต่าง 70 วินาที	52
รูปที่ ก.8 อัตราส่วนความผิดพลาดจากการทดลองเมื่อสูงตัวอย่างการเชื่อมต่อ กับข้อมูลควบคุมที่หน้าต่าง 100 วินาที	53
รูปที่ ก.9 อัตราส่วนความผิดพลาดจากการทดลองเมื่อสูงตัวอย่างแบบมีชั้นภูมิ กับข้อมูลจริงที่หน้าต่าง 30 วินาที	54

หน้า

รูปที่ ก.10	อัตราส่วนความผิดพลาดจากการทดลองเมื่อสูมตัวอย่างแบบมีชั้นภูมิ กับข้อมูลจริงที่หน้าต่าง 50 วินาที	55
รูปที่ ก.11	อัตราส่วนความผิดพลาดจากการทดลองเมื่อสูมตัวอย่างแบบมีชั้นภูมิ กับข้อมูลจริงที่หน้าต่าง 70 วินาที	56
รูปที่ ก.12	อัตราส่วนความผิดพลาดจากการทดลองเมื่อสูมตัวอย่างแบบมีชั้นภูมิ กับข้อมูลจริงที่หน้าต่าง 100 วินาที	57
รูปที่ ก.13	อัตราส่วนความผิดพลาดจากการทดลองเมื่อสูมตัวอย่างการเขีอมต่อ [*] กับข้อมูลจริงที่หน้าต่าง 30 วินาที	58
รูปที่ ก.14	อัตราส่วนความผิดพลาดจากการทดลองเมื่อสูมตัวอย่างการเขีอมต่อ [*] กับข้อมูลจริงที่หน้าต่าง 50 วินาที	59
รูปที่ ก.15	อัตราส่วนความผิดพลาดจากการทดลองเมื่อสูมตัวอย่างการเขีอมต่อ [*] กับข้อมูลจริงที่หน้าต่าง 70 วินาที	60
รูปที่ ก.16	อัตราส่วนความผิดพลาดจากการทดลองเมื่อสูมตัวอย่างการเขีอมต่อ [*] กับข้อมูลจริงที่หน้าต่าง 100 วินาที	61



ศูนย์วิทยทรัพยากร จุฬาลงกรณ์มหาวิทยาลัย

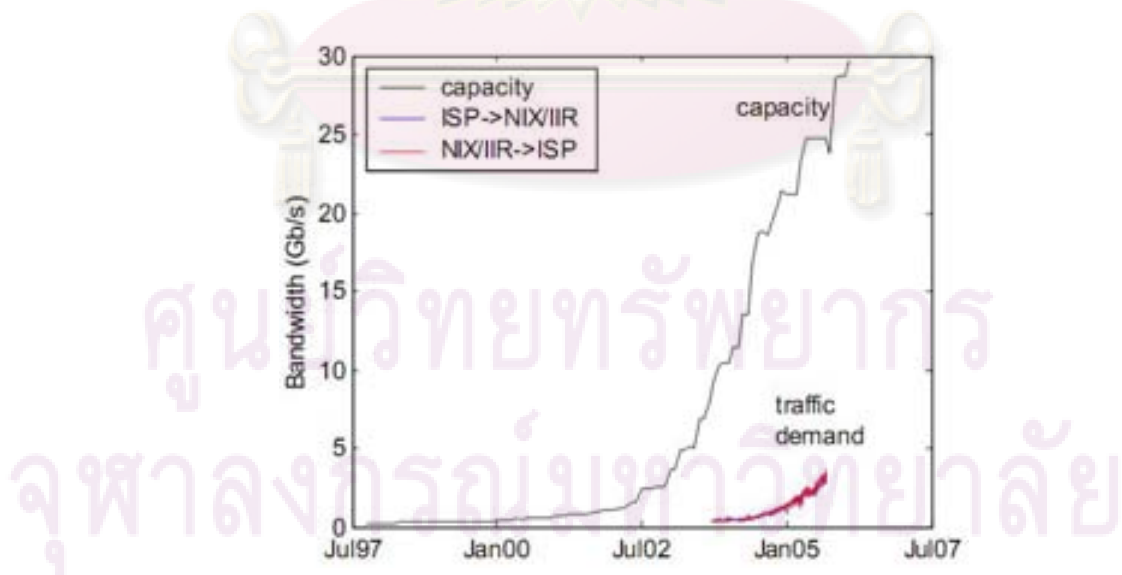
บทที่ 1

บทนำ

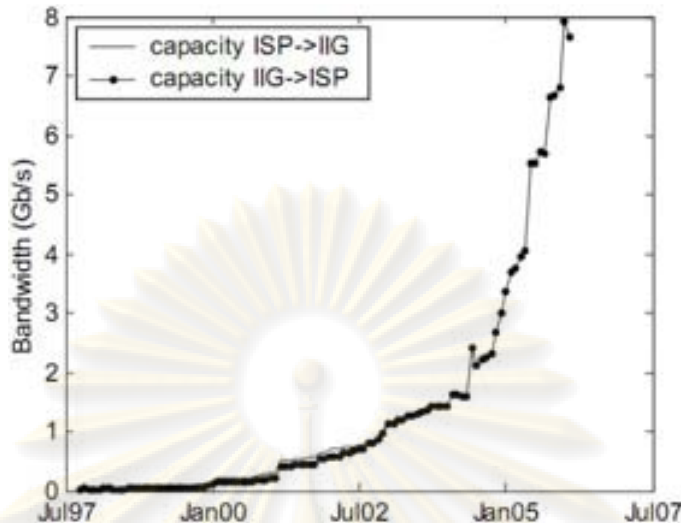
1.1 ความเป็นมาและความสำคัญของปัญหา

ปัจจุบันข้อมูลจราจรมีจำนวนมากขึ้นเรื่อยๆ ทำให้การเก็บข้อมูลสำหรับการวิเคราะห์ต้องใช้เนื้อที่มากขึ้นและต้องมีการบริหารจัดการที่ดี วิธีการสุมตัวอย่างแพ็กเก็ตสามารถนำมาใช้กับโปรแกรมสนิฟเฟอร์ ทำให้เก็บข้อมูลเป็นระยะเวลานานขึ้น ในงานวิจัยของ Cabani [1] ได้กล่าวว่าขนาดเนื้อที่เก็บข้อมูลเพิ่มขึ้น 2 เท่าทุกๆ 12 เดือน ส่วนการใช้เครือข่ายเพิ่มขึ้น 2 เท่าทุกๆ 9 เดือน จะเห็นได้ว่าการใช้เครือข่ายมีแนวโน้มเพิ่มมากขึ้นกว่าเนื้อที่เก็บข้อมูล และในงานวิจัยของ Pongpaibool [2] ได้กล่าวถึงแนวโน้มข้อมูลจราจรตั้งแต่ปี 1992 ถึง 2007 ทั้งในประเทศและต่างประเทศซึ่งเพิ่มขึ้นอย่างต่อเนื่องดังแสดงในรูปที่ 1.1 และ 1.2

จากแนวโน้มนี้ทำให้เกิดผลกระทบต่อการเก็บข้อมูลเพื่อการวิเคราะห์ด้านต่างๆ เช่นทางนิติคอมพิวเตอร์ (Computer Forensics) หรือภัยทางเครือข่ายเช่น หนอน และการโจมตีแบบปฏิเสธการให้บริการ (Denial of Service) เพราะต้องเก็บข้อมูลจำนวนมากขึ้นทำให้เก็บข้อมูลได้ระยะเวลานานน้อยลง วิธีการสุมตัวอย่างแพ็กเก็ตสามารถใช้กับสนิฟเฟอร์ ทำให้เก็บข้อมูลเป็นระยะเวลานานขึ้น แต่การสุมตัวอย่างแพ็กเก็ตทำให้ประสิทธิภาพในการตรวจจับหนอนลดน้อยลง จึงต้องศึกษาผลกระทบที่มีต่อการตรวจจับหนอนแบบกราดตรวจ



รูปที่ 1.1 ปริมาณข้อมูลจราจรสายในประเทศไทย



รูปที่ 1.2 ปริมาณข้อมูลจราจรที่ออกไปต่างประเทศ

1.2 วัตถุประสงค์ของการวิจัย

ในงานวิจัยนี้มีวัตถุประสงค์เพื่อพัฒนาการสุมตัวอย่างสำหรับลดข้อมูลพร้อมทั้งศึกษาผลกระทบของการสุมตัวอย่างที่มีต่อการตรวจจับหนอนแบบกราดตรวจด้วยโปรแกรมสนอร์ต

1.3 ขอบเขตของการวิจัย

1. ใช้วิธีสุมตัวอย่างแบบมีชั้นภูมิและการสุมตัวอย่างการเชื่อมต่อ
2. ใช้เครื่องแม่ข่ายที่เป็น Intel based และใช้ระบบปฏิบัติการลินุกซ์
3. หนอนที่ตรวจจับเป็นหนอนแบบกราดตรวจ
4. ตรวจจับหนอนจากพฤติกรรมการกราดตรวจโดยใช้โปรแกรมสนอร์ต

1.4 ขั้นตอนของการวิจัย

1. ศึกษาทฤษฎีการสุมตัวอย่างจากการวิจัยอื่นๆ ที่เกี่ยวข้องโดยเน้นไปที่การนำวิธีการสุมตัวอย่างไปใช้เพื่อลดการเก็บข้อมูลจราจรและตรวจจับการกราดตรวจของหนอน
2. ศึกษาผลกระทบของการสุมตัวอย่างที่มีต่อการตรวจจับการกราดตรวจด้วยโปรแกรมสนอร์ต
3. พัฒนาระบบทั้งการเก็บข้อมูลและการตรวจสອบการกราดตรวจของหนอนให้เป็นระบบเดียวกันเพื่อการใช้งานที่สะดวก
4. วิเคราะห์และสรุปผล พร้อมข้อเสนอแนะ
5. จัดทำรายงานวิทยานิพนธ์ฉบับสมบูรณ์

1.5 ประโยชน์ที่คาดว่าจะได้รับ

1. ลดภาระค่าใช้จ่ายในการจัดทำเนื้อที่เก็บข้อมูลเพราะสามารถเก็บข้อมูลจากราดได้ ระยะเวลามากขึ้นทำให้การวิเคราะห์ข้อมูลจารมีประสิทธิภาพมากขึ้น
2. สามารถนำโปรแกรมที่ถูกพัฒนาไปใช้ในองค์กรขนาดเล็กเพื่อสนับสนุนผู้บริหารระบบ เช่นองค์กรในต่างจังหวัด เพื่อลดภาระของผู้ดูแลระบบในการเก็บข้อมูลจากราดและตรวจจับหนอน แบบกราดตรวจ
3. มีค่าใช้จ่ายต่ำเพรำเป็นโปรแกรมแบบโอบีเพนซอร์ส (Open Source) และสามารถ นำไปใช้งานกับคอมพิวเตอร์ส่วนบุคคลได้
4. ได้องค์ความรู้จากการศึกษาผลกระบวนการสุ่มตัวอย่างแพ็คเก็ตที่มีต่อการกราด ตรวจของหนอนเพื่อผู้ที่สนใจสามารถนำไปพัฒนาต่อได้

1.6 ผลงานตีพิมพ์จากวิทยานิพนธ์

ส่วนหนึ่งของงานวิทยานิพนธ์นี้ได้รับการตีพิมพ์เป็นบทความวิชาการในหัวเรื่อง “การสุ่ม ตัวอย่างแพ็คเก็ตสำหรับตรวจจับหนอนแบบกราดตรวจ” โดยเดชพงษ์ เลิศไพศาลวงศ์ และยรวรยง เต็งคำนวย ในงานประชุมวิชาการ “The 12th National Computer Science and Engineering Conference (NCSEC 2008)” ซึ่งจัดขึ้น ณ โรงแรมลองบีช พัทยา ประเทศไทย ระหว่างวันที่ 20- 21 พฤษภาคม 2551 ดังภาคผนวก ค หน้า 71

**ศูนย์วิทยทรัพยากร
จุฬาลงกรณ์มหาวิทยาลัย**

บทที่ 2

ทฤษฎีและงานวิจัยที่เกี่ยวข้อง

ในบทนี้กล่าวถึงทฤษฎีที่เกี่ยวข้องกับงานวิจัยนี้ โดยประกอบด้วยทฤษฎีหลัก ได้แก่ การสุ่มตัวอย่าง ซึ่งเป็นแนวคิดสำหรับการลดการเก็บแพ็กเก็ต การทำงานของสนอร์ต ใช้ในการตรวจจับการกราดตรวจของหนอน โปรแกรมเบส (BASE - Basic Analysis and Security Engine) สำหรับคุณลักษณะของหนอนแบบกราดตรวจ และกล่าวถึงงานวิจัยที่เกี่ยวข้อง

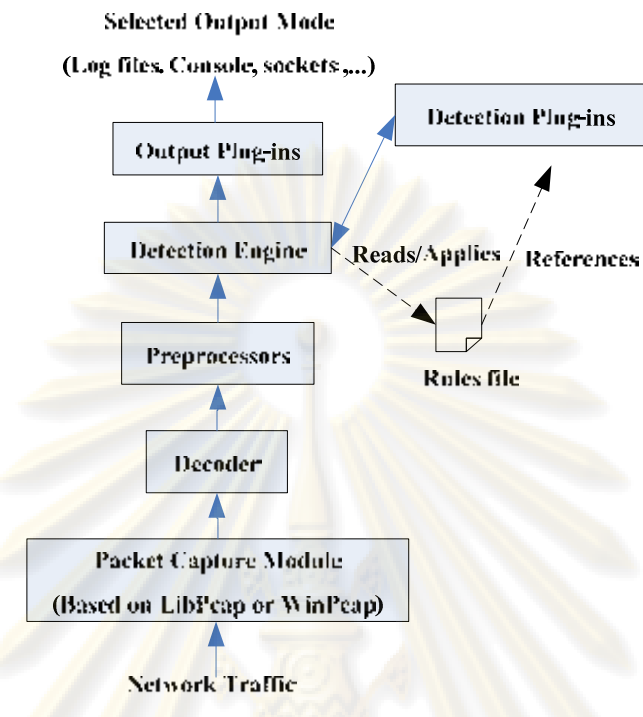
2.1 การสุ่มตัวอย่าง

การสุ่มตัวอย่างคือกระบวนการที่ใช้สุ่มจากประชากรที่ต้องการศึกษา โดยในงานวิจัยนี้ ประชากรคือแพ็กเก็ตที่อยู่บนเครือข่าย การสุ่มตัวอย่างแบ่งเป็น 3 ประเภทหลัก [3] คือ การสุ่มตัวอย่างแบบมีชั้นภูมิ (stratified random sampling) การสุ่มตัวอย่างแบบมีระบบ (systematic sampling) และการสุ่มตัวอย่างแบบง่าย (simple random sampling) โดยการเลือกวิธีการสุ่มที่เหมาะสมจะกล่าวถึงในบทถัดไป

2.2 สนอร์ต

สนอร์ต (Snort) [4] เป็นโปรแกรมตรวจจับผู้บุกรุกทางเครือข่าย (network intrusion detection) โดยเป็นโปรแกรมโอเพนซอร์ส (open source) ซึ่งใช้กันโดยแพร่หลาย สนอร์ตจะทำงานโดยมีขั้นตอนซึ่งแสดงดังรูปที่ 2.1 [5] โปรแกรมสนอร์ตใช้คลังข้อมูล Libpcap (สำหรับลีนุกซ์) หรือ Winpcap (สำหรับวินโดวส์) ในการจับแพ็กเก็ตแล้วส่งให้ส่วน Decoder ถอดรหัสแพ็กเก็ตเป็นprotoคอลต่างๆ หลังจากนั้น พรีโพรเซสเซอร์จะตรวจจับพฤติกรรมผิดปกติต่างๆที่ได้กำหนดไว้ จากนั้นใช้ Detection Engine ในการตรวจสอบแพ็กเก็ตโดยใช้กฎ (Rule) ต่างๆ เมื่อเสร็จแล้วสนอร์ตจะแสดงผลลัพธ์ในรูปแบบต่างๆ ผ่านส่วน Output

จุฬาลงกรณ์มหาวิทยาลัย

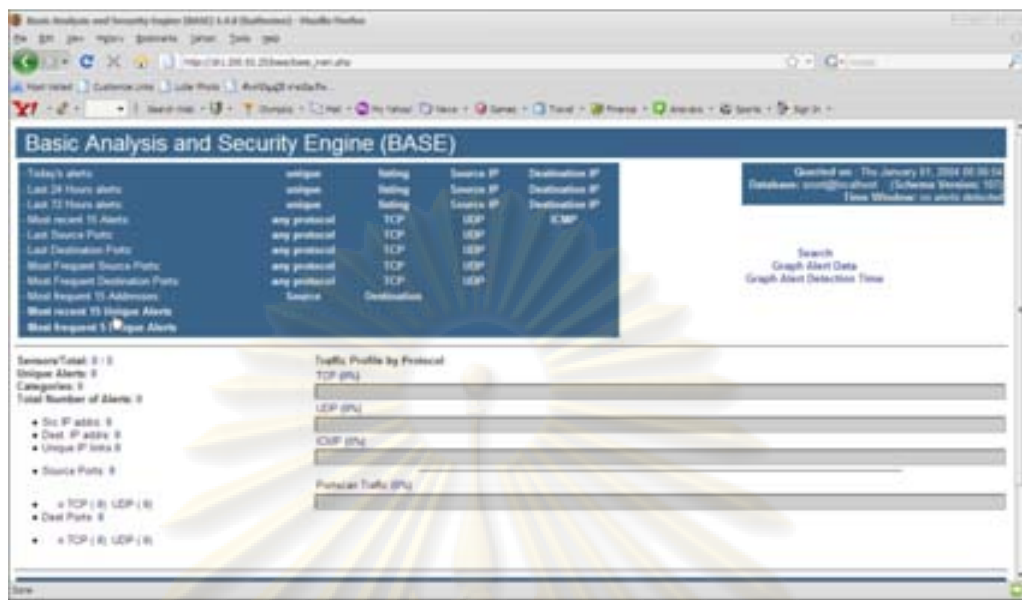


รูปที่ 2.1 ขั้นตอนการทำงานของ-snort

2.3 โปรแกรมเบส

โปรแกรมเบส (BASE - Basic Analysis and Security Engine) [6] เป็นหน้าเว็บสำหรับวิเคราะห์และแสดงผลการตรวจจับความผิดปกติต่างๆที่ได้จากsnort ผลการตรวจจับจะถูกเก็บเป็นรูปแบบฐานข้อมูลด้วยโปรแกรม mysql และเมื่อต้องการแสดงผล โปรแกรมเบสจะดึงผลจากฐานข้อมูลมาแสดงที่หน้าเว็บ โปรแกรมเบสเป็นโปรแกรมโอเพนซอร์สและใช้กันอย่างแพร่หลาย ตัวอย่างหน้าเว็บของโปรแกรมเบส แสดงได้ดังรูปที่ 2.2





รูปที่ 2.2 หน้าเว็บของโปรแกรมเบส

2.4 หนอนแบบกราดตรวจ

หนอนแบบกราดตรวจ (scanning worm) มีพฤติกรรมที่สำคัญคือ กราดตรวจหาไฮส์เต็มเพื่อแพร่กระจายไปยังเครื่องที่มีช่องโหว่ให้มากที่สุด [7] โดยมีขั้นตอนการทำงาน 4 ขั้นตอน [8] คือ การค้นหาเป้าหมาย การตรวจสอบซ่องโหว่ การส่งโปรแกรม และการเริ่มการทำงานของโปรแกรม ในงานวิจัยนี้จะตรวจจับหนอนในขั้นตอนค้นหาเป้าหมาย โดยในการค้นหาเป้าหมาย หนอนจะหาไฮส์เต็มที่ออนไลน์อยู่และเมื่อมีช่องโหว่ โดยใช้วิธีการกราดตรวจแบบอัตโนมัติ ดังนั้นจึงเกิดแพ็กเก็ตการเชื่อมต่อ (connection) ไปยังหมายเลขไอพีต่างๆ เป็นจำนวนมาก

หนอนมีมากหลายชนิด แต่ละชนิดมีอัตราการกราดตรวจ (จำนวนการเชื่อมต่อที่ส่งไปยังไฮส์เต็มเท่านั้น) แตกต่างกัน ในที่นี้จะยกตัวอย่างหนอนที่รู้จักโดยทั่วไปจากงานวิจัยต่างๆ [9-12] แสดงในตารางที่ 2.1 หนอนที่มีอัตราการกราดตรวจต่ำที่สุดคือหนอนบลัสเตอร์ มีอัตราการกราดตรวจ 10 แพ็กเก็ตต่อวินาที ซึ่งจะกำหนดเป็นอัตราการกราดตรวจที่ต่ำสุดในงานวิจัยนี้

ตารางที่ 2.1 อัตราการกราดตรวจของหนอนต่อไฮส์เต็ม

ชนิด	อัตราการกราดตรวจ (แพ็กเก็ตต่อวินาที)
Blaster	10-20
Welchia	70

ตารางที่ 2.1 (ต่อ) อัตราการกราดตรวจของหนอนต่อโ伊斯ต์

ชนิด	อัตราการกราดตรวจ (แพ็คเก็ตต่อวินาที)
Nimda	200
Code Red	200-400
Slammer	2000

2.5 การเชื่อมต่อและไฟล์

การเชื่อมต่อ (connection) [13] ในงานวิจัยนี้หมายถึง การติดต่อระหว่างโ伊斯ต์หนึ่งไปยังโ伊斯ต์หนึ่ง โดยแพ็คเก็ตที่มีการเชื่อมต่อเดียวกันจะมีหมายเลขไอพีต้นทางและหมายเลขไอพีปลายทางเหมือนกัน ส่วนไฟล์ [14] หมายถึงการติดต่อกันระหว่างโ伊斯ต์ในระดับชั้นขนส่ง (transport layer) แพ็คเก็ตที่มีไฟล์เดียวกันจะมีหมายเลขไอพีต้นทาง หมายเลขไอพีปลายทาง พอร์ตต้นทาง พอร์ตปลายทาง และไฟล์โคลเลกชันเหมือนกัน

2.6 งานวิจัยที่เกี่ยวข้อง

ผู้วิจัยได้ศึกษางานวิจัยของ Brauckhoff และคณะ [15] พบว่าเมื่อสูมตัวอย่างแพ็คเก็ตเพื่อหาความผิดปกติของเครือข่าย ตัววัดความผิดปกติอย่างเช่น จำนวนแพ็คเก็ตที่ได้จากการสูมสามารถประมาณค่าจำนวนแพ็คเก็ตเมื่อไม่ได้ถูกสูมได้อย่างแม่นยำ และค่าเอ็นโทรปี (คือตัววัดความหลากหลายของหมายเลขไอพีที่อยู่บนข้อมูลจราจร) ที่อัตราการสูมตัวอย่างต่างๆกลับไม่ลดลง งานวิจัยของ Kawahara และคณะ [16] ได้นำเทคนิคการสูมตัวอย่างมาใช้กับการตรวจหาความผิดปกติต่างๆ ของเครือข่ายเพื่อลดขนาดของข้อมูลที่จะเก็บ โดยพบว่า ความผิดปกติ เช่น การกราดตรวจเครือข่าย และ SYN Flood ก่อให้เกิดไฟล์ (flow) ขนาดเล็กเป็นจำนวนมาก เมื่อสูมตัวอย่างแล้วไฟล์เหล่านี้จะหายไปเนื่องจากมีโอกาสถูกเลือกน้อยเพรำมีเพียง 1-2 แพ็คเก็ตในไฟล์เท่านั้น ทำให้ตรวจพบความผิดปกติได้ยาก ดังนั้นเข้าจึงเสนอวิธีการแบ่งกลุ่มสำหรับการตรวจจับความผิดปกติโดยการจัดกลุ่มข้อมูล เช่น ถ้าต้องการตรวจจับการกราดตรวจ (scanning) ให้จัดกลุ่มข้อมูลตามหมายเลขไอพีต้นทาง ซึ่งวิธีการนี้ทำให้เพิ่มประสิทธิภาพในการตรวจจับความผิดปกติจากข้อมูลจราจรที่ถูกสูมได้ และงานวิจัยของ Sekar และคณะ [13] เสนอวิธีการตรวจจับหนอนที่มีอัตราการกราดตรวจต่ำ โดยกล่าวว่าพฤติกรรมของหนอนจะพยายามกราดตรวจหาโ伊斯ต์ (host) เป้าหมายที่ไม่ซ้ำกันเสมอ แต่ในข้อมูลจราจรที่ปกติ โ伊斯ต์จะติดต่อไปยัง

ไฮสต์อีน่าน้อย แล้วติดต่อข้ากัน เมื่อขยายช่วงเวลาในการตรวจจับการกราดตรวจของบนอนทำให้สามารถแยกแยกติกรรมการกราดตรวจกับข้อมูลจราจรปกติได้อย่างถูกต้อง

ในงานนี้ผู้วิจัยใช้พรีโพร์ตเซอร์ Flow-portscan ของสนอร์ต ตรวจจับการกราดตรวจของบนอน ซึ่งมีวิธีการตรวจจับใกล้เคียงกับที่ Kawahara และคณะ เสนอไว้ และนำวิธีของ Sekar และคณะ เสนอมาประยุกต์ใช้เพื่อตรวจจับอัตราการกราดตรวจที่ลดลงเนื่องจากภาระสูงตัวอย่างและศึกษาผลกระทบที่มีต่อการตรวจจับกราดตรวจของสนอร์ต



ศูนย์วิทยทรัพยากร คุุฬาลงกรณ์มหาวิทยาลัย

บทที่ 3

การดำเนินงานวิจัย

ในบทนี้จะกล่าวถึง สมมติฐาน การคำนวณ และทฤษฎีต่างๆที่จะนำไปทดลองในบทถัดไป อีกทั้งยังนำทฤษฎีต่างๆ มาประยุกต์ใช้การพัฒนาโปรแกรมสุมตัวอย่างสำหรับเพิ่มช่วงเวลาเก็บข้อมูล

3.1 การตรวจจับการกราดตรวจของหนอน

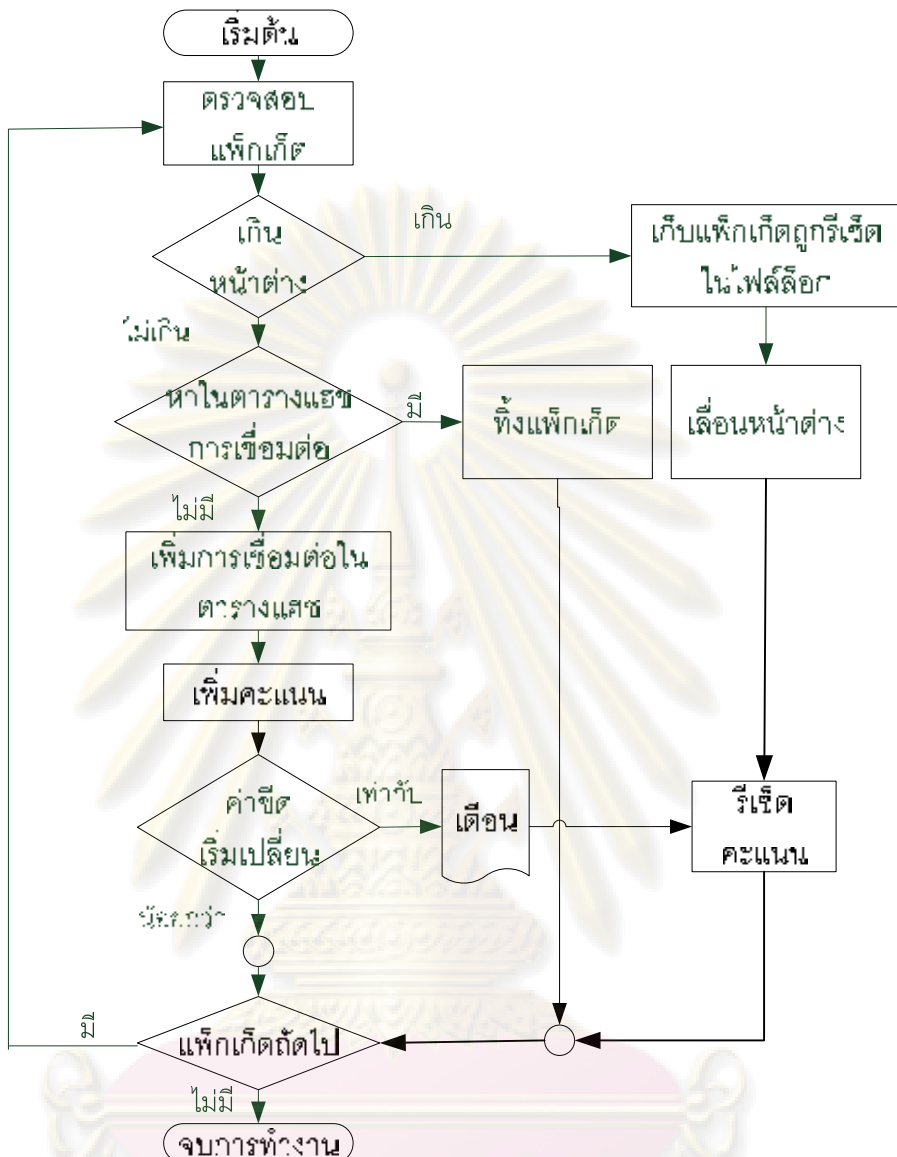
ในงานวิจัยนี้ใช้ Flow-portscan ซึ่งเป็นพรีโพรเซสเซอร์ในโปรแกรมสนอร์ต สำหรับตรวจจับการกราดตรวจของหนอน ตามรูปที่ 3.1 โดยการทำงานของพรีโพรเซสเซอร์ Flow-portscan มีดังนี้ เริ่มต้นจะแบ่งกลุ่มแพ็กเก็ตตามหมายเลขไอพีต้นทาง ถ้าหมายเลขไอพีต้นทางเดียวกันแต่มีหมายเลขไอพีปลายทาง หมายเลขพอร์ตปลายทาง หรือหมายเลขโปรโตคอลต่างกันให้นับเป็น 1 คะແນน แต่เนื่องจากงานวิจัยนี้มีขอบเขตเฉพาะการตรวจจับการกราดตรวจของหนอน ดังนั้นจะใช้เฉพาะหมายเลขไอพีปลายทางที่ต่างกันเท่านั้น [17] โดยเก็บคะแนนไว้ในหน่วยความจำ เมื่อคะแนนเกินค่าที่กำหนด สนอร์ตจะทำการเตือนว่ามีความผิดปกติเกิดขึ้น คะแนนถูกคิดเป็น 0 หรือ รีเซต (reset) และเริ่มนับใหม่ทุกครั้งเมื่อสิ้นสุดช่วงเวลาตรวจจับ โดยกระบวนการทำงานของพรีโพรเซสเซอร์สามารถแสดงได้ในรูปที่ 3.1

3.2 การศึกษาวิธีสุมตัวอย่าง

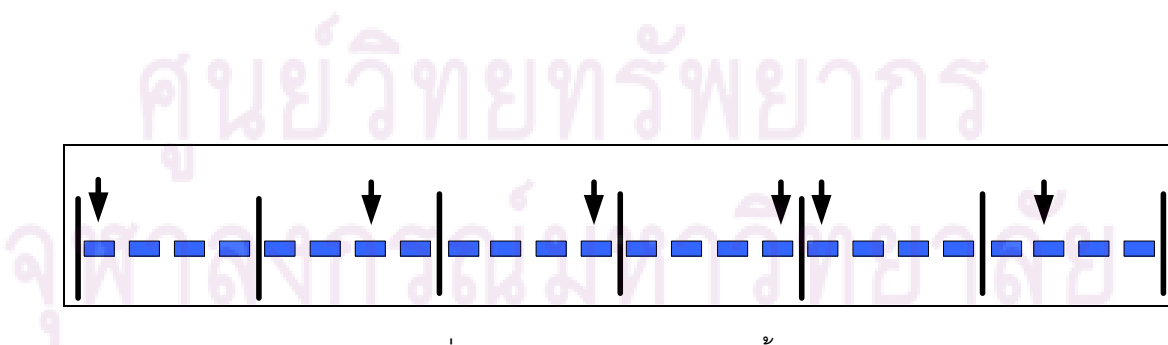
เพื่อลดจำนวนข้อมูลจำนวนมากให้สามารถเก็บข้อมูลได้เป็นเวลานานขึ้น ผู้วิจัยได้ศึกษาการสุมตัวอย่างแบบต่างๆ [3] ทั้งการสุมตัวอย่างแบบมีชั้นภูมิ (stratified random sampling) การสุมตัวอย่างแบบมีระบบ (systematic sampling) และการสุมตัวอย่างแบบง่าย (simple random sampling) โดยมีรายละเอียดดังต่อไปนี้

3.2.1 การสุมตัวอย่างแบบมีชั้นภูมิ

การสุมตัวอย่างแบบมีชั้นภูมิถูกใช้ในมาตรฐาน RFC 3176 [18] ของเอสโอล์ การสุมตัวอย่างแบบมีชั้นภูมิจะแบ่งข้อมูลออกเป็นกลุ่มย่อยที่มีขนาดเท่ากันแล้วสุ่มข้อมูลมาหนึ่งครั้งจากกลุ่มย่อยนั้นๆ ทำให้สามารถตรวจจับการโจมตีที่มีรูปแบบได้ดี และโอกาสที่ข้อมูลจะถูกสุมออกมาก็มีเท่ากันเนื่องจากมีการกระจายการสุมไปทั่วทั้งข้อมูล ดังแสดงในรูปที่ 3.2



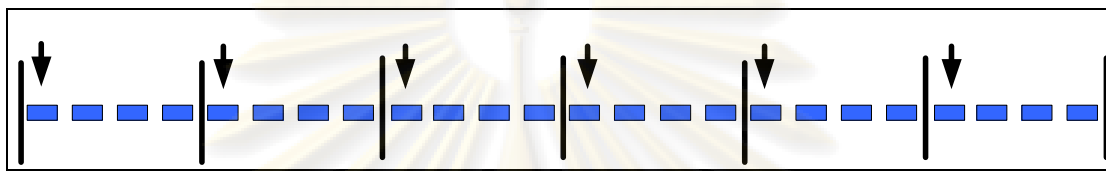
รูปที่ 3.1 กระบวนการทำงานของ Flow-portscan



รูปที่ 3.2 การสุมตัวอย่างแบบมีชั้นภูมิ

3.2.2 การสุ่มตัวอย่างแบบมีระบบ

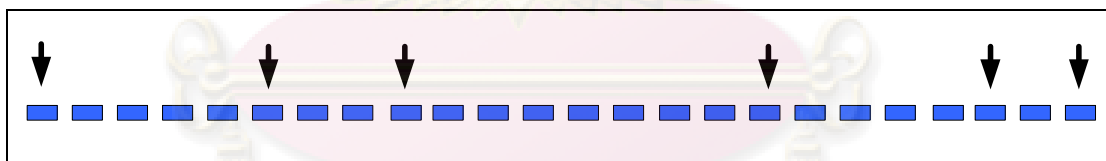
การสุ่มตัวอย่างแบบมีระบบจะเลือกข้อมูลที่ k ของกลุ่มย่อยแต่ละกลุ่ม ยกตัวอย่างเช่น กำหนดให้ $k = 1$ ก็จะเลือกแพ็กเก็ตแรกของทุกๆ กลุ่มข้อมูลโดย ดังแสดงในรูปที่ 3.3 การสุ่มตัวอย่างแบบนี้ทำให้ยากต่อการตรวจสอบการคาดคะเนที่มีรูปแบบได้ เช่น เมื่อการคาดคะเนของหนอนกีดขึ้นที่แพ็กเก็ตที่ 4 ของกลุ่มข้อมูลย่อย ก็จะไม่สามารถตรวจพบได้



รูปที่ 3.3 การสุ่มตัวอย่างแบบมีระบบ

3.2.3 การสุ่มตัวอย่างแบบง่าย

การสุ่มตัวอย่างแบบง่ายจะทำการสุ่มตัวอย่างจากข้อมูลทั้งหมดโดยไม่มีการแบ่งชั้นข้อมูล ออกเป็นกลุ่มข้อมูลย่อยดังที่แสดงในรูปที่ 3.4 ซึ่งจะมีข้อเสียคือ การสุ่มตัวอย่างมีโอกาสที่จะกระจายไม่ทั่วทุกช่วงของข้อมูล เช่น เมื่อการคาดคะเนของหนอนอยู่ช่วงท้ายของข้อมูลแต่ปรากฏว่าช่วงท้ายของข้อมูลไม่มีการสุ่มตัวอย่าง ทำให้ไม่สามารถตรวจพบการคาดคะเนได้



รูปที่ 3.4 การสุ่มตัวอย่างแบบง่าย

3.2.4 ผลการศึกษาวิธีสุ่มตัวอย่างที่เหมาะสม

ผู้วิจัยได้เลือกวิธีการสุ่มตัวอย่างแบบมีชั้นภูมิสำหรับงานวิจัยนี้ เพราะสามารถสุ่มได้ทั่วทั้งข้อมูลซึ่งดีกว่าการสุ่มแบบง่ายและได้ผลไม่เอนเอียง เนื่องจากแต่ละครั้งที่หยิบแพ็กเก็ตจะสุ่มทุกครั้งซึ่งดีกว่าการสุ่มแบบมีระบบ และการสุ่มตัวอย่างชนิดนี้ยังได้มีการนำไปประยุกต์ใช้ในเทคโนโลยีของ sFlow [18] ซึ่งเป็นเทคโนโลยีการสุ่มที่เป็นที่ยอมรับโดยทั่วไป อีกทั้งยังสะดวกและง่ายต่อการเขียนโปรแกรมเพราฯ ใช้ลักษณะที่ไม่ซับซ้อน

3.3 ผลกระทบของการสุ่มตัวอย่าง

เมื่อสูมตัวอย่างแพ็กเก็ต จำนวนแพ็กเก็ตที่ได้จากการสูมจะมีค่าไม่แน่นอน ในหัวข้อนี้จะแสดงให้เห็นถึงพฤติกรรมของแพ็กเก็ตเมื่อถูกสูมตัวอย่าง

3.3.1 ความผิดพลาดจากการสูมตัวอย่าง

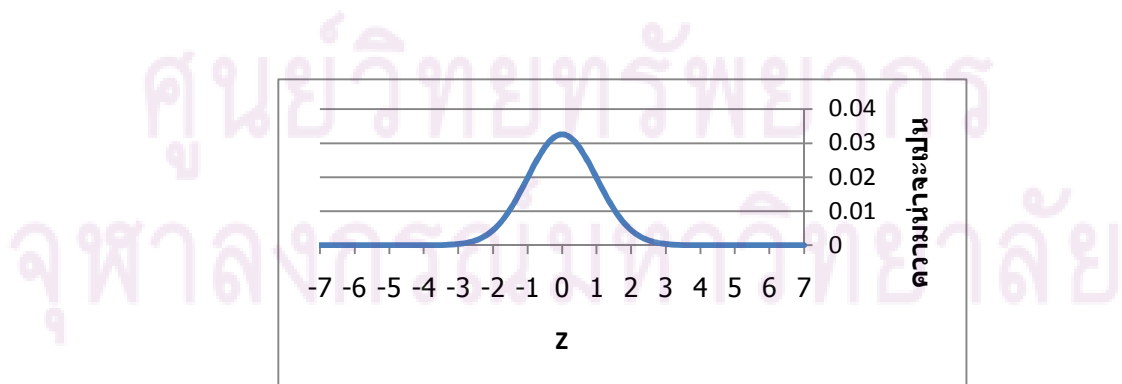
จำนวนแพ็กเก็ตที่ได้จากการสูมตัวอย่างจะน้อยกว่าจำนวนแพ็กเก็ตจริง การประมาณจำนวนแพ็กเก็ตการเชื่อมต่อของหนอนสามารถทำได้โดย กำหนดให้

N	แทนจำนวนการเชื่อมต่อทั้งหมด
n	แทนจำนวนการเชื่อมต่อจากการสูมตัวอย่าง
C	แทนจำนวนการเชื่อมต่อเฉลี่ยของหนอนเมื่อไม่ได้สูมตัวอย่าง
c	แทนจำนวนการเชื่อมต่อเฉลี่ยของหนอนจากการสูมตัวอย่าง
p	แทนความน่าจะเป็นที่การเชื่อมต่อของหนอนถูกสูมตัวอย่าง
\bar{A}	แทนจำนวนการเตือนเฉลี่ย
c_{base}	แทนค่าขีดเริ่มเปลี่ยน (threshold) ของจำนวนการเชื่อมต่อที่สนอร์ตตรวจจับได้

จะได้จำนวนการเชื่อมต่อของหนอนดังนี้ [19]

$$C = \frac{c}{n} N = pN \quad (3.1)$$

และเนื่องจากสมการที่ 3.1 เป็นการคิดจำนวนการเชื่อมต่อจากการสูมตัวอย่าง ซึ่งเป็นค่าประมาณ โดยจากการวิจัย [19] เมื่อสูมตัวอย่าง ค่าที่ได้จากการสูมตัวอย่างจะไม่แน่นอนซึ่งเขียนตารางการแจกแจงปกติได้ดังรูปที่ 3.5



รูปที่ 3.5 ตารางแจกแจงความถี่ปกติมาตรฐาน

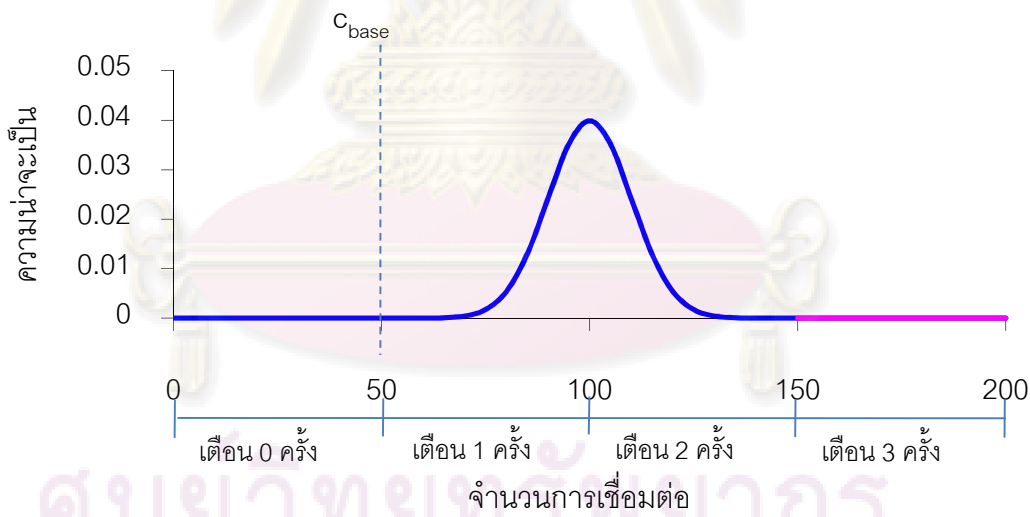
โดย Z คือ ตัวแปรสุ่มแบบปกติมาตรฐาน เรากำลังหา Z ได้จากสมการดังนี้

$$Z = \frac{x - c}{\sigma} \quad (3.2)$$

ส่วนเบี่ยงเบนมาตรฐานสามารถหาได้จากสมการที่ 3.3 เมื่อ n มีค่ามากกว่า c มาก

$$\sigma = \sqrt{np(1-p)} \approx \sqrt{c} \quad (3.3)$$

สมมติให้สนใจความสามารถตรวจจับหนอนที่อัตราการตรวจตัวที่ 10 การเชื่อมต่อต่อวินาที ใช้หน้าต่างเวลาสำหรับตรวจจับ 10 วินาที ดังนั้นจะมี 100 การเชื่อมต่อ เมื่อสุ่มตัวอย่างด้วยอัตรา 50% จำนวนการเชื่อมต่อจะลดลงเหลือ 50 การเชื่อมต่อ ดังนั้นค่าขีดเริ่มเปลี่ยน (c_{base}) คือ 50 การเชื่อมต่อ ถ้านอนมีอัตราการตรวจ 20 การเชื่อมต่อต่อวินาที ที่หน้าต่าง 10 วินาที หนอนจะมี 200 การเชื่อมต่อ แต่เมื่อสุ่มตัวอย่างด้วยอัตรา 50% จำนวนการเชื่อมต่อจะลดลงเหลือ 100 การเชื่อมต่อ (c) สามารถเขียนกราฟแจกแจงความน่าจะเป็นได้ดังรูปที่ 3.6



รูปที่ 3.6 จำนวนแพ็กเก็ตการเชื่อมต่อเทียบกับความผิดพลาดในการสุ่มตัวอย่าง

จากรูปที่ 3.6 ความน่าจะเป็นที่สนใจจะไม่ตีอน แพ็กเก็ตอยู่ในช่วง $[0,50]$ ความน่าจะเป็นที่สนใจจะตีอน 1 ครั้ง แพ็กเก็ตอยู่ในช่วง $[50,100]$ ความน่าจะเป็นที่สนใจจะตีอน 2 ครั้ง แพ็กเก็ตอยู่ในช่วง $[100,150]$ และ ความน่าจะเป็นที่สนใจจะตีอน 3 ครั้ง แพ็กเก็ตอยู่ในช่วง $[150,200]$ ดังนั้น สามารถเขียนเป็นสมการหาจำนวนการตีอนเฉลี่ย (\bar{A}) ได้ดังนี้

$$\bar{A} = \sum_{i=1}^{\infty} iP_i \quad (3.4)$$

โดยที่ i เป็นจำนวนการเตือนใดๆ และ P_i คือความน่าจะเป็นที่สนอร์ตจะเตือน i ครั้ง ความน่าจะเป็นของจำนวนการเตือน หาได้จากความน่าจะเป็นที่แพ็กเก็ตจะถูกสูญเสียในช่วงการเตือนนั้นดังสมการที่ 3.5 โดยเราสามารถหาได้โดยแบ่ง $c_{i,\min}$ และ $c_{i,\max}$ เป็น Z โดยใช้สมการที่ 3.2 และนำไปหาความน่าจะเป็นจากตารางการแจกแจงปกติ [20]

$$P_i = P[c_{i,\min} \leq c_i < c_{i,\max}] \quad (3.5)$$

ดังนั้นอัตราส่วนจำนวนการเตือนเฉลี่ยเมื่อสูมตัวอย่างกับจำนวนการเตือนเมื่อไม่ได้สูมตัวอย่าง (R) สามารถเขียนได้ดังสมการที่ 3.6

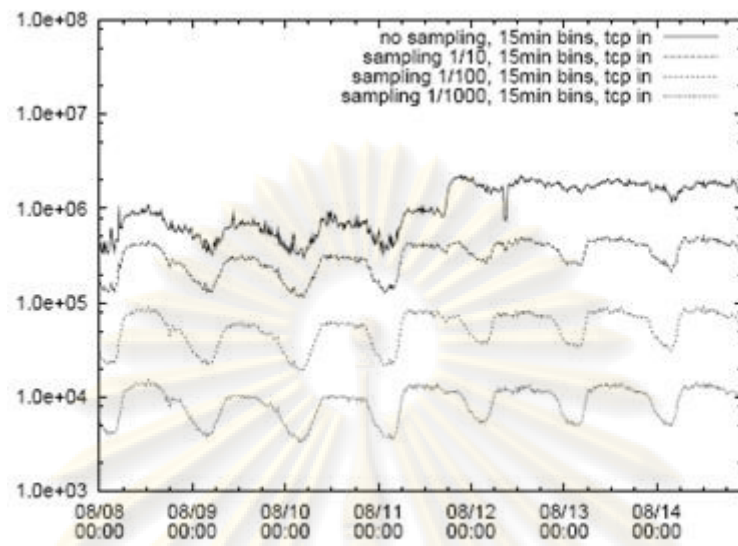
$$R = \frac{\bar{A}}{A_{100\%}} \quad (3.6)$$

อัตราส่วนความผิดพลาดของการเตือนเมื่อสูมตัวอย่างแสดงดังสมการที่ 3.7 โดยถ้า E มีค่าลบจะเป็นผลลบลง แต่ถ้ามีค่าวากจะเป็นผลบวกลง

$$E = \frac{\bar{A}}{A_{100\%}} - 1 \quad (3.7)$$

3.3.2 จำนวนการเชื่อมต่อ

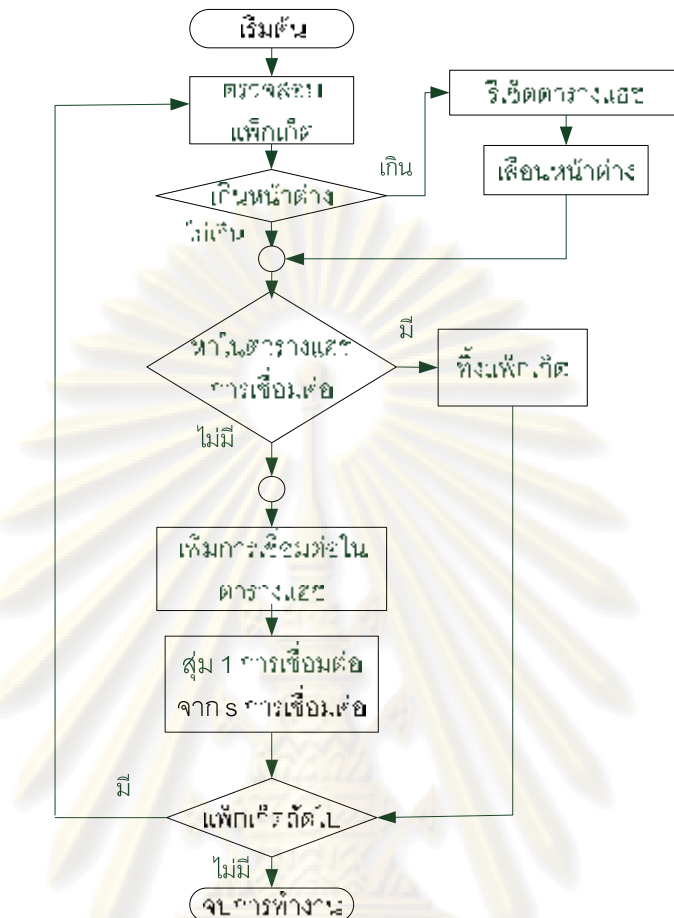
งานวิจัยของ Brauckhoff และคณะ [15] ศึกษาผลกระทบของฟลอร์จากการสูมตัวอย่างพบว่าจำนวนฟลอร์ไม่ลดลงตามอัตราการสูมตัวอย่าง เนื่องจากความน่าจะเป็นที่ฟลอร์จะถูกสูมตัวอย่างซึ่งขึ้นอยู่กับจำนวนแพ็กเก็ตในไฟล์นั้น จากรูปที่ 3.7 แกนตั้งเป็นจำนวนไฟล์ แกนนอนเป็นเวลา เมื่อใช้อัตราการสูมตัวอย่าง 10% (1/10) จำนวนไฟล์จะลดลง 10 เท่า แต่จากการทดลอง จำนวนไฟล์ลดลงจากเดิม 800,000 แพ็กเก็ต เหลือ 500,000 แพ็กเก็ต เท่านั้น ผู้วิจัยจึงมีสมมติฐานว่าพฤติกรรมของการเชื่อมต่อจะมีลักษณะเดียวกันเมื่อถูกสูมตัวอย่างแพ็กเก็ต เนื่องจากไฟล์เป็นเซตย่อย (subset) ของการเชื่อมต่อ ถ้าสมมติฐานเป็นจริง จะเกิดผลบวกลงเนื่องจาก เรายอดค่าขีดเริ่มเปลี่ยนที่ตั้งไว้ในสนอร์ต ตามอัตราการสูมตัวอย่างเพื่อให้ได้จำนวนการเตือนของสนอร์ตเท่าเดิม แต่การเชื่อมต่อลดลงน้อยกว่าที่ควรจะเป็น



รูปที่ 3.7 จำนวนไฟล์จากอัตราการสุ่มตัวอย่าง

3.4 การสุ่มตัวอย่างการเชื่อมต่อ

จาก 3.3.2 การสุ่มตัวอย่างแพ็กเก็ตแบบมีชั้นภูมิทำให้เกิดผลบวกลงมากยิ่งขึ้น เพราะการติดต่อของไฮสต์โดยปกติแล้วมีจำนวนมากกว่า 1 แพ็กเก็ต และมีจำนวนแพ็กเก็ตไม่เท่ากัน ดังนั้นผู้วิจัยจึงได้คิดวิธีสุ่มตัวอย่างการเชื่อมต่อ ทำให้แต่ละการเชื่อมต่อ มีความน่าจะเป็นที่ถูกสุ่ม ตัวอย่างการเชื่อมต่อและเก็บแพ็กเก็ต กระบวนการทำงานของการสุ่มตัวอย่างการเชื่อมต่อ สามารถแสดงได้ดังรูปที่ 3.8 เริ่มต้นถ้าไม่มีแพ็กเก็ตเข้ามาเกินระยะเวลาที่กำหนด (มีค่ามากกว่าค่าหน้าต่างตรวจจับ) จะรีเซ็ตตารางแอช (ลบข้อมูลในตารางแอช) และเลื่อนหน้าต่าง แต่ถ้าอยู่ในระยะเวลาที่กำหนด ข้อมูลการเชื่อมต่อของแพ็กเก็ตจะถูกตรวจสอบข้อมูลในตารางแอช (โดยตรวจสอบหมายเลขไปพื้นทางและหมายเลขไปพื้นทาง) ถ้ามีการเชื่อมต่ออยู่ในตารางแอชอยู่แล้ว จะทิ้งแพ็กเก็ตนั้น แต่ถ้าไม่มีการเชื่อมต่อในตารางแอช จะเพิ่มข้อมูลการเชื่อมต่อใหม่ในตารางแอช และแพ็กเก็ตนั้นจะถูกสุ่มตัวอย่าง โดยมีโอกาสสุ่ม 1/s (สุ่ม 1 การเชื่อมต่อ ทุกๆ s การเชื่อมต่อ)



ຮູບທີ 3.8 ກະບວນການສຸມຕົວຢ່າງການເຊື່ອມຕ່ອ

3.5 ການເພີ້ມຫຼັກທຳນານໃນການເກີບຂໍ້ມູນ

ເນື່ອສຸມຕົວຢ່າງຂໍ້ມູນ ຈະສາມາດຖານາຍໜ້າໃຫຍ່ການເກີບຂໍ້ມູນຈາກການສຸມໄດ້ດังນີ້ ໃຫ້ K ເປັນນາຄາເນື້ອທີ່ s ເປັນອັດຕາການສຸມຕົວຢ່າງ ແລະ B ເປັນອັດຕາການໃຫ້ຂໍ້ມູນ ການທຳນາຍໜ້າໃຫຍ່ການສຸມຕົວຢ່າງສໍາຫັກເກີບຂໍ້ມູນ (I) ສາມາດຄຳນວນໄດ້ດังສົມການທີ່ 3.8

$$I = \frac{K}{B \times s} \quad (3.8)$$

ໃນບທນີ້ໄດ້ກ່າວລົງແນວຄິດການນຳການສຸມຕົວຢ່າງມາໃໝ່ເພື່ອເພີ້ມຮະຍະເວລາໃນການເກີບຂໍ້ມູນ ໂດຍຕຶກໜ້າວິທີການສຸມຕົວຢ່າງທີ່ເໝາະສົມພບວ່າການສຸມຕົວຢ່າງແບບນີ້ແມ່ນມີເໝາະທີ່ຈະນຳມາເກີບຂໍ້ມູນຈາກ ແລະ ທົດສອບເກີບຂໍ້ມູນໂດຍການສຸມຕົວຢ່າງພບວ່າສາມາດເພີ້ມຮະຍະເວລາໃນການເກີບຂໍ້ມູນໄດ້ຈົງ ຕົວຢ່າງເຊື່ອນໝູດ ການຄຳນວນພື້ນຖານຍໜ້າໃຫຍ່ການເກີບຂໍ້ມູນຈາກການສຸມຕົວຢ່າງຂອງຄະນະໃໝ່ໃນມາຮັດຕະໂລຢ່າງນີ້ 40,000 ດັບຕໍ່ກົດຈາກການຈຳນວນທີ່

ผ่านเกตเวย์ของคณะกรรมการศาสตร์ จุฬาลงกรณ์มหาวิทยาลัย ตั้งแต่เดือน มิถุนายน พ.ศ. 2550 ถึงเดือนมิถุนายน พ.ศ. 2551 พบว่ามีค่าเฉลี่ยการใช้แบบดิจิตที่ 78.03 เมกะบิตต่อวินาที (9.75 เมกะไบต์ต่อวินาที) โดยเป็นการรับข้อมูล 65.39 เมกะบิตต่อวินาที และส่งข้อมูล 12.64 เมกะบิตต่อวินาที แต่ในงานนี้ผู้วิจัยเก็บเฉพาะส่วนหัวของแพ็กเก็ตเพื่อนำมาตรวจจับพฤติกรรมการกราดตรวจของหนอน จึงเก็บเฉพาะ 68 ไบต์แรกเท่านั้น [21] โดยที่ขนาดของแพ็กเก็ตเฉลี่ยคือ 680 ไบต์ ซึ่งคิดเป็น 10 % นั่นหมายความว่าถ้าเก็บเฉพาะส่วนหัวของแพ็กเก็ต ข้อมูลจะถูกเก็บได้ด้วยอัตรา 0.975 เมกะไบต์ต่อวินาที ด้วยขนาดเนื้อที่ 125 กิกะไบต์ จะสามารถเก็บข้อมูลได้ประมาณ 131,282 วินาที หรือประมาณ 36 ชั่วโมงเท่านั้น แต่ถ้าใช้การสุ่มตัวอย่างที่อัตราสุ่มตัวลง ก็จะสามารถเก็บข้อมูลได้ในช่วงเวลาที่มากขึ้น ดังนั้นจะเห็นว่าอัตราการสุ่มตัวอย่างจะแปรผันผันกับช่วงเวลาสำหรับเก็บข้อมูล โดยการทำนายช่วงเวลาสำหรับเก็บข้อมูลในตารางที่ 3.1 สามารถทำได้โดยอาศัยสมการที่ 3.8 นอกจากรูปแบบที่เกิดขึ้นต่อการตรวจจับการกราดตรวจของสนอร์ต ทั้งพฤติกรรมการเชื่อมต่อ และอัตราส่วนความผิดพลาด โดยจะทดลองเพื่อทดสอบสมมติฐานและการวิเคราะห์ที่กล่าวไว้ในบทถัดไป

ตารางที่ 3.1 การทำนายช่วงเวลาที่สามารถเก็บข้อมูลได้เมื่อสุ่มตัวอย่าง

อัตราสุ่ม ตัวอย่าง (%)	ก เลือก 1	ช่วงเวลาสำหรับเก็บข้อมูล โดยประมาณ (ชั่วโมง / วัน)
100	1	36 / 2
50	2	73 / 3
33.33	3	109 / 5
25	4	146 / 6
20	5	182 / 7
16.67	6	218 / 9
14.29	7	255 / 11
12.5	8	292 / 12
11.11	9	328 / 14
10	10	365 / 15

บทที่ 4

การทดลองและผลการทดลอง

ในบทนี้จะทดสอบความถูกต้องของสมมติฐาน ทั้งผลกระทบของการสุมตัวอย่างต่อ พฤติกรรมการเชื่อมต่อ อัตราส่วนความผิดพลาด โดยจะกล่าวถึงวัตถุประสงค์ของการทดลอง เครื่องมือที่ใช้ในการทดลอง ข้อมูลสำหรับการทดลองขั้นตอนการทดลอง ผลการทดลอง และ สรุปผลการทดลอง โดยมีรายละเอียดดังนี้

4.1 วัตถุประสงค์การทดลอง

เพื่อตรวจสอบสมมติฐานที่ตั้งไว้ว่าเป็นไปตามที่คาดไว้ในบทที่ 3 หรือไม่ โดยมีประเด็นหลักดังนี้

- ทดลองสุมตัวอย่างเพื่อลดขนาดข้อมูล
- ทดลองสุมตัวอย่างเพื่อวิเคราะห์ผลกระทบต่อพฤติกรรมการเชื่อมต่อ
- ทดลองสุมตัวอย่างเพื่อวิเคราะห์ผลกระทบที่มีต่อความแม่นยำในการตรวจจับของสนอร์ต

4.2 เครื่องมือที่ใช้ในการทดลอง

เครื่องมือสำหรับการทดลองประกอบด้วย เครื่องคอมพิวเตอร์สำหรับเก็บและสุมตัวอย่าง แพ็กเก็ต มีคุณสมบัติดังนี้ Pentium IV 2.66 กิกะเฮิร์ต หน่วยความจำ 512 เมกะไบต์ ติดตั้งระบบปฏิบัติการลีนุกซ์ 2.6 Fedora Core 4 เนื้อที่สำหรับเก็บข้อมูล 300 กิกะไบต์

4.3 ข้อมูลสำหรับทดลอง

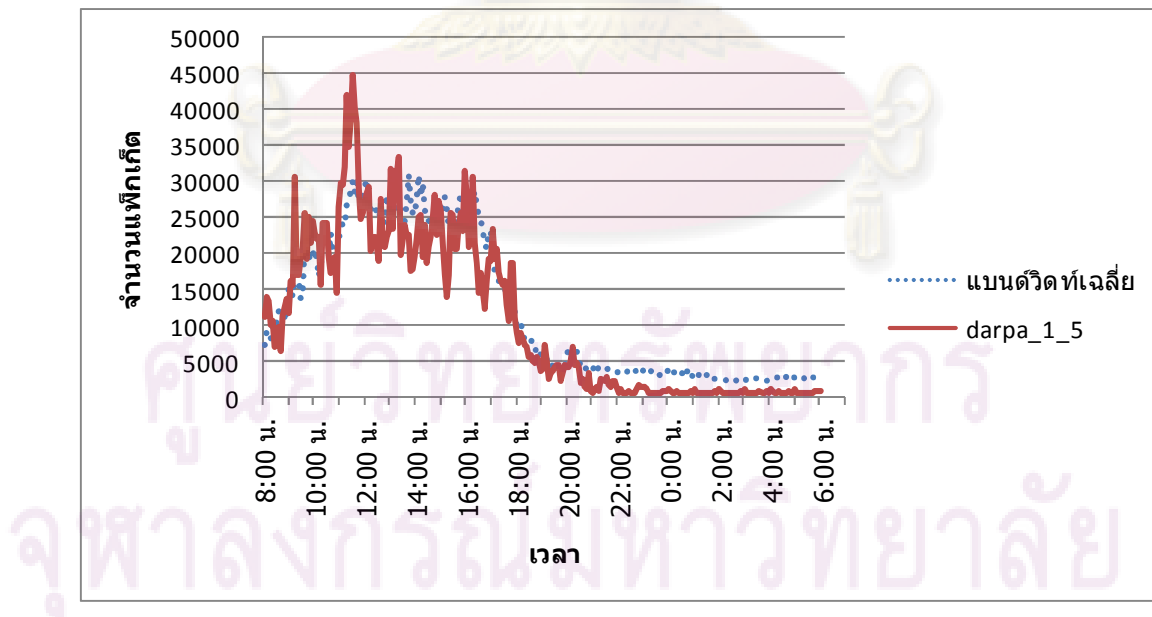
ในงานวิจัยนี้จำเป็นต้องมีการสร้างข้อมูลสำหรับทดลองซึ่งประกอบด้วย ข้อมูลควบคุม คือข้อมูลที่ผู้วิจัยสามารถกำหนดอัตราการกราดตรวจของหนอนได้ และข้อมูลจริงที่เก็บมาจากเครื่อข่ายโดยไม่มีการปรับเปลี่ยนใดๆ

4.3.1 ข้อมูลควบคุม

ข้อมูลควบคุมเป็นข้อมูลที่สร้างจากสภาพแวดล้อมควบคุมประกอบด้วย ข้อมูลสะoda (ไม่มีการใจตีเดียว) และข้อมูลหนอนพนวกัน โดยข้อมูลสะoda ใช้ข้อมูลมาตรฐานที่ใช้สำหรับ

ทดสอบระบบตรวจจับผู้บุกรุก ส่วนข้อมูลหนอนเป็นข้อมูลที่ผู้วิจัยผลิตขึ้นเอง โดยมีรายละเอียดดังนี้

ข้อมูลสะอาดเป็นข้อมูลจากห้องปฏิบัติการลิงคอล์น [22] แห่งสถาบันเทคโนโลยีแมสซาชูเซตส์ เป็นข้อมูลที่ชื่อว่า DARPA Intrusion Detection Evaluation Data Set หรือ DARPA99 โดยสร้างจากสถิติการใช้งานของเครือข่ายของฐานที่พอกาศสหรัฐ เช่น การใช้อีเมล เว็บไซต์ FTP telnet และ web server ข้อมูลนี้เป็นข้อมูลมาตรฐานที่ใช้ในงานวิจัยต่างๆ สำหรับตรวจทดสอบตรวจจับผู้บุกรุก เช่น ในงานวิจัยของ Al-Hammadi [23] และ Song [24] ข้อมูลมาตรฐานมีทั้งหมด 5 สัปดาห์ (ไม่มีข้อมูลวันเสาร์และอาทิตย์) โดยข้อมูลสัปดาห์ที่หนึ่งและสาม เป็นข้อมูลสะอาด (clean data) ที่ไม่มีการโจมตีหรือความผิดปกติ ส่วนข้อมูลสัปดาห์ที่สอง สี่ และห้า เป็นข้อมูลที่มีการโจมตี เนื่องจากข้อมูลสะอาดในสัปดาห์ที่หนึ่งและห้ามีพฤติกรรมการใช้งานที่เหมือนกันดังนั้นเพื่อความสะดวกผู้วิจัยจะเลือกข้อมูลในสองสัปดาห์นี้มา 1 วัน เพื่อเป็นตัวแทนของข้อมูลสะอาดทั้งหมด ผู้วิจัยเลือกข้อมูลสัปดาห์ที่หนึ่ง วันที่ห้ามาใช้เป็นข้อมูลสะอาดเนื่องจากเป็นข้อมูลที่มีการใช้แบบต่อวิดท์ไกล์เดียงกับข้อมูลเฉลี่ยทั้งสองอาทิตย์มากที่สุดตั้งรูปที่ 4.1 ข้อมูล DARPA99 สัปดาห์ที่ 1 วันที่ 5 ครอบคลุมระยะเวลา 22 ชั่วโมง จำนวน 2,833,054 แพ็กเก็ต ขนาด 565.9 เมกะไบต์



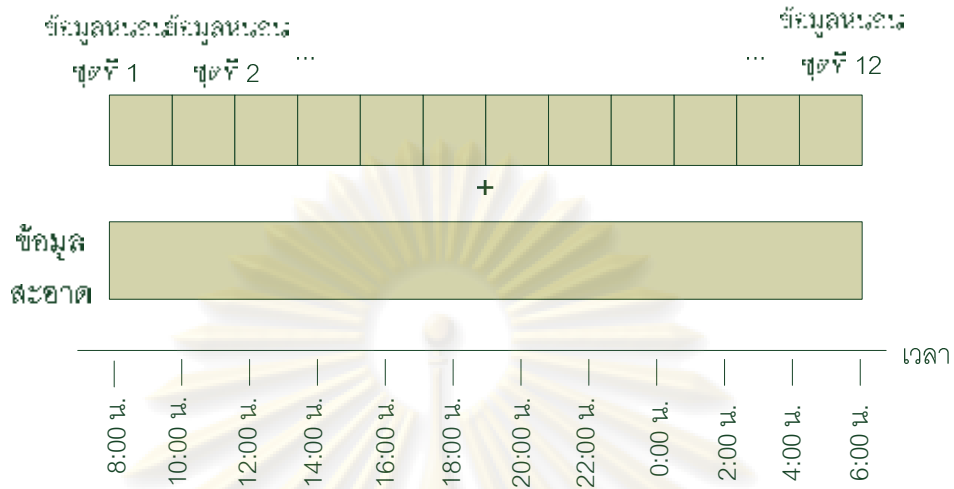
รูปที่ 4.1 ข้อมูลสะอาด

ข้อมูลหนอนเป็นข้อมูลที่ได้จากเครือข่ายจำลองในห้องปฏิบัติการ โดยการติดตั้งเครือข่ายและอีสต์ดังรูปที่ 4.2 เมื่อเริ่มโปรแกรมหนอนblasเตอร์บนเครื่องคอมพิวเตอร์ หนอนจะส่งแพ็กเก็ตการเชื่อมต่อจำนวนมากเพื่อกรัดตรวจหาไฮสต์ที่มีช่องโหว่ แพ็กเก็ตการเชื่อมต่อจะถูกเก็บในรูปแบบไฟล์.cap ด้วยโปรแกรมสนิพเฟอร์ สาเหตุที่เลือกหนอนblasเตอร์ในการทดสอบนี้ เพราะเป็นหนอนที่มีอัตราการกรัดตรวจต่ำ (ที่ 10 การเชื่อมต่อต่อวินาที) ถ้าตรวจจับได้ก็สามารถตราชจับหนอนที่มีอัตราการกรัดตรวจสูงชนิดอื่นได้ ผลการสร้างข้อมูลหนอน ได้แพ็กเก็ตจากหนอนblasเตอร์จำนวน 66,879 แพ็กเก็ต มีอัตราการกรัดตรวจเฉลี่ย 11 การเชื่อมต่อต่อวินาที ผู้วิจัยได้สำเนาและแก้ไขอัตราการกรัดตรวจของหนอนให้เป็น 10 20 30 40 50 60 70 80 90 และ 100 การเชื่อมต่อต่อวินาทีตามลำดับ ดังนั้นข้อมูลหนอนประกอบด้วยหนอนที่มีอัตราการกรัดตรวจตั้งแต่ 10 ถึง 100 การเชื่อมต่อต่อวินาที ครอบคลุมระยะเวลา 2 ชั่วโมง มีจำนวนแพ็กเก็ต 667,080 แพ็กเก็ต ขนาด 50 เมกะไบต์



รูปที่ 4.2 โครงสร้างเครือข่ายสำหรับเก็บข้อมูลหนอน

ในการรวมข้อมูลสะสมและข้อมูลหนอนเข้าด้วยกัน ผู้วิจัยได้ปรับเปลี่ยนช่วงเวลาของข้อมูลหนอนให้อยู่ในช่วงเวลาของข้อมูลสะสม โดยช่วงเวลาระหว่างแพ็กเก็ตของข้อมูลหนอนยังคงเท่าเดิม แล้วนำมาผนวกกันโดยใช้เวลาเป็นตัวอ้างอิง วิธีการรวมข้อมูลเข่นนี้ทำให้รูปแบบการกรัดตรวจของหนอนไม่เปลี่ยนแปลง เนื่องจากข้อมูลสะสมมีระยะเวลา 22 ชั่วโมง แต่ระยะเวลาของข้อมูลหนอนมีประมาณ 2 ชั่วโมง ดังนั้นผู้วิจัยจึงคัดลอกและแก้ไขช่วงเวลาของข้อมูลหนอนจำนวน 11 ไฟล์ เพื่อให้ได้ข้อมูลหนอนที่ต่อเนื่องกัน 22 ชั่วโมง และรวมกับข้อมูลสะสมดังรูปที่ 4.3 โดยวิธีการสร้างข้อมูลควบคุมโดยละเอียดสามารถดูได้ที่ภาคผนวก ๑



รูปที่ 4.3 การพนวกข้อมูลสะอาดกับข้อมูลหนอน

4.3.2 ข้อมูลจริง

ข้อมูลจริงเป็นข้อมูลของคนละใหญ่ในมหาวิทยาลัยขนาด 40,000 คน มีโครงสร้างเครือข่ายดังรูปที่ 4.4 โดยมีรายละเอียดคือ ระยะเวลา 20 ชั่วโมง จำนวน 153,064,243 แพ็กเก็ตขนาด 125 กิกะไบต์



รูปที่ 4.4 โครงสร้างเครือข่ายสำหรับเก็บข้อมูลคณะใหญ่แห่งหนึ่ง

4.4 ขั้นตอนการทดลอง

ขั้นตอนการทดลองต่อไปนี้ทดสอบว่า การสูมตัวอย่างมีผลต่อขนาดข้อมูล พฤติกรรมจากเชื่อมต่อของหนอน และ ความแม่นยำในการตรวจจับของสนอร์ตอย่างไร

4.4.1 ผลการสุมตัวอย่างเพื่อลดขนาดข้อมูล

ในหัวข้อ 3.5 ได้ทำการเก็บข้อมูลไว้ ดังนั้นในหัวข้อนี้จะทดลองสุมตัวอย่างเพื่อหาการลดขนาดข้อมูล ข้อมูลที่ทดลองใช้ข้อมูลสะสม มีขนาดข้อมูล 593,379,612 ใบต์ โดยสุมตัวอย่างแบบมีชั้นภูมิและสุมตัวอย่างการเชื่อมต่อ มีอัตราการสุมตัวอย่างตั้งแต่ 100% ไปจนถึง 10% ผลการทดลองแสดงได้ดังตารางที่ 4.1

ตารางที่ 4.1 ขนาดข้อมูลหลังจากสุมตัวอย่างเฉพาะหัวแพ็คเก็ต

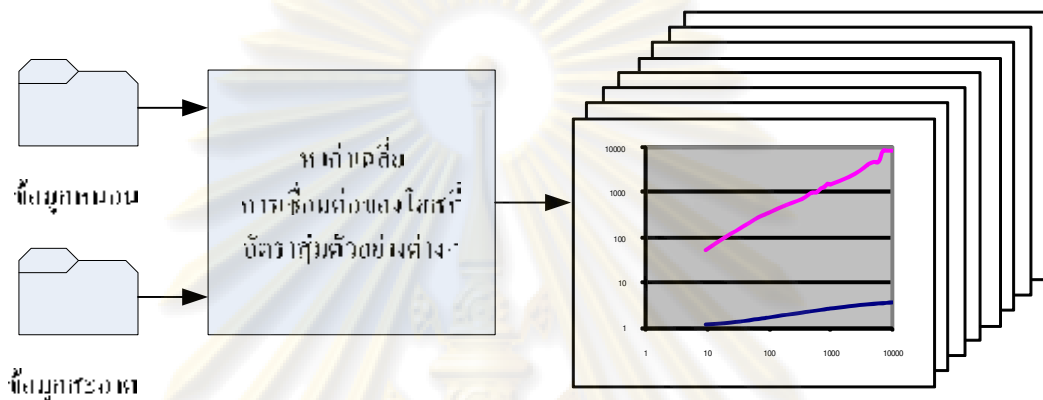
อัตราสุมตัวอย่าง (%) เฉพาะหัวแพ็คเก็ต	ก เลือก 1	ขนาดข้อมูล (ใบต์)	
		สุมตัวอย่างแบบมีชั้นภูมิ	สุมตัวอย่างการเชื่อมต่อ
100	1	220,617,459	1,021,346
50	2	110,309,725	510,508
33.33	3	110,309,725	340,510
25	4	73,539,868	255,615
20	5	55,152,805	204,357
16.67	6	44,125,505	170,343
14.29	7	36,773,259	145,859
12.5	8	31,517,232	127,674
11.11	9	27,577,297	113,504
10	10	22,062,134	102,189

ผลการทดลองแสดงให้เห็นว่า เมื่อสุมตัวอย่างทำให้ข้อมูลลดลงจริง โดยเมื่อใช้วิธีสุมตัวอย่างแบบมีชั้นภูมิขนาดข้อมูลจะลดลงตามสมการที่ 3.8 แต่ใช้วิธีสุมตัวอย่างการเชื่อมต่อขนาดข้อมูลจะลดลงต่ำกว่า เช่นเดียวกับขนาดของข้อมูลที่ลดลงไม่แน่นอน ขึ้นอยู่กับจำนวนการเชื่อมต่อของข้อมูล

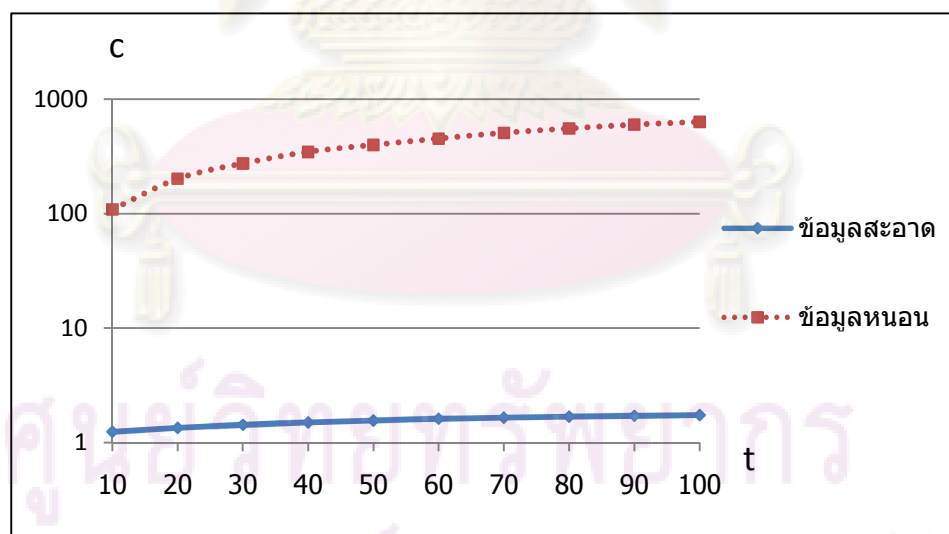
4.4.2 ผลกระทบที่มีต่อจำนวนการเชื่อมต่อ

ผู้วิจัยหาค่าเฉลี่ยการเชื่อมต่อของโיסต์ปกติจากข้อมูลสะสม และโיסต์ที่ติดหนอนจากข้อมูลหนอน โดยมีกระบวนการทดลองดังรูปที่ 4.5 มีรายละเอียดดังนี้ ข้อมูลหนอนกับข้อมูล

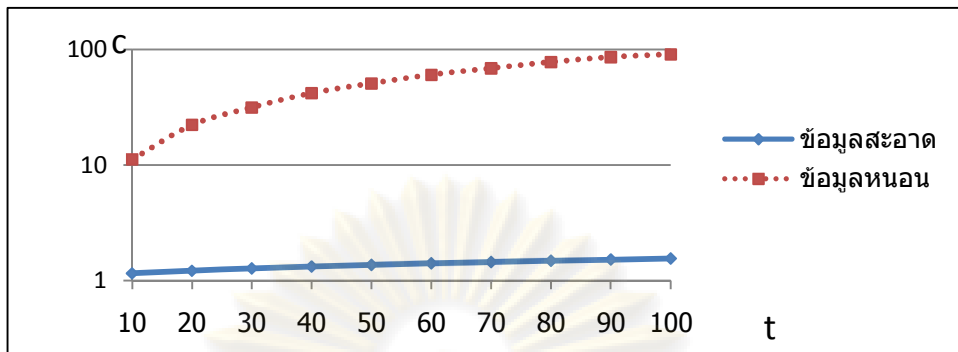
ສະອາດຈະຖຸກນໍາມາຫາຄ່າເລື່ອງກາຣເຊື່ອມຕ່ອຂອງໂຢສຕ໌ ທີ່ໜ້າຕ່າງເວລາ 10, 30, 50, 70, 100 ວິນາທີ ແລ້ວນໍາມາສ້າງກາຣເພື່ອເປົ້າຍບໍທີ່ບໍ່ມີກາຣເຊື່ອມຕ່ອທີ່ອັດຮາສຸມຕ້ວອຍໆຢ່າງ 100 % 10 % ແລ້ວ 1 % ຕາມລຳດັບ ໂດຍກາຣແຕ່ລະອັນແກນອັດຮາສຸມຕ້ວອຍໆຢ່າງ ມີແກນນອນເປັນໜ້າຕ່າງແລະແກນຕັ້ງເປັນ ຈຳນວນກາຣເຊື່ອມຕ່ອເລື່ອງ ພາກາຣທດລອງແສດງ ໄດ້ດັ່ງຮູບທີ່ 4.6 ເຖິງ 4.8



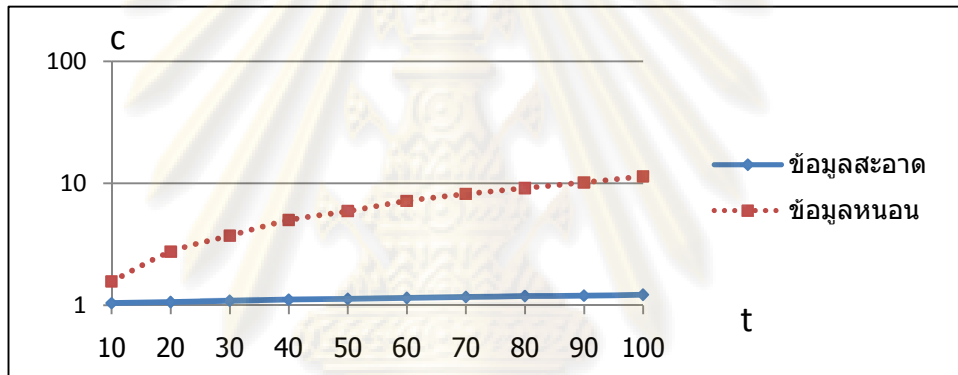
ຮູບທີ່ 4.5 ກາຣທາຈຳນວນແພັກເກົ້າຕ່ອເລື່ອງໃນແຕ່ລະອັດຮາກາຣສຸມຕ້ວອຍໆຢ່າງ



ຮູບທີ່ 4.6 ຈຳນວນກາຣເຊື່ອມຕ່ອເລື່ອງຂອງໂຢສຕ໌ທີ່ອັດຮາກາຣສຸມຕ້ວອຍໆຢ່າງ 100 %



รูปที่ 4.7 จำนวนการเชื่อมต่อเฉลี่ยของไฮสต์ที่อัตราการสุ่มตัวอย่าง 10%



รูปที่ 4.8 จำนวนการเชื่อมต่อเฉลี่ยของไฮสต์ที่อัตราการสุ่มตัวอย่าง 1%

จากการทดลองพบว่าเมื่อใช้อัตราการสุ่มตัวอย่างน้อยลง จำนวนการเชื่อมต่อของหนอนจะลดลงจนใกล้เคียงกับจำนวนการเชื่อมต่อของไฮสต์ปกติที่ระดับหน้าต่างแคบ จึงทำให้สนอร์ตไม่สามารถแยกแยะไฮสต์ที่ติดหนอนและไฮสต์ปกติได้

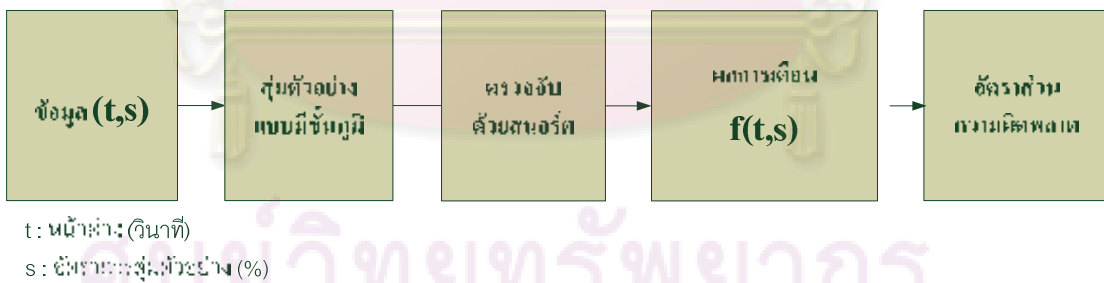
4.4.3 ผลกระทบที่มีต่อความแม่นยำในการตรวจจับ

ในส่วนนี้เป็นการทดลองสุ่มตัวอย่างข้อมูลควบคุมเพื่อวิเคราะห์ว่าหลังจากสุ่มตัวอย่างแล้วจำนวนการเตือนของหนอนที่อัตราการกราดตรวจต่างๆ จะมีความแม่นยำมากน้อยเพียงใด จำนวนนี้จึงทดลองสุ่มตัวอย่างกับข้อมูลจริง เพื่อดูว่ามีความแตกต่างกับข้อมูลทดลองอย่างไร โดยความแม่นยำในการทดลองขึ้นอยู่กับอัตราส่วนความผิดพลาดของการเตือน โดยจะทดลองกับการสุ่มตัวอย่าง 2 ชนิดคือ การสุ่มตัวอย่างแบบมีชั้นภูมิ และการสุ่มตัวอย่างการเชื่อมต่อ เพื่อให้เข้าใจง่ายและไม่สับสน ในการทดลองในบทนี้จะแสดงผลการทดลองที่หน้าต่าง 10 วินาทีเท่านั้น ส่วนผล

การทดลองที่หน้าต่าง 30 50 70 และ 100 วินาที ซึ่งมีผลการทดลองที่เป็นไปในแนวทางเดียวกัน สามารถดูได้ในภาคผนวก ก

4.3.3.1 การทดลองสำหรับการสุมตัวอย่างแบบมีชั้นภูมิ

การทดลองนี้มีรายละเอียดดังรูปที่ 4.9 มีรายละเอียดการทำงานดังนี้ ข้อมูลควบคุมและข้อมูลจริงจะถูกสุมตัวอย่างแบบมีชั้นภูมิ โดยมีอัตราการสุมตัวอย่างและหน้าต่างเวลาต่างๆ สมมติให้ตัวแปร t เป็นหน้าต่างเวลา และตัวแปร s เป็นอัตราการสุมตัวอย่าง หน้าต่างเวลามีค่าตั้งแต่ 10 30 50 70 และ 100 วินาที และ อัตราการสุมตัวอย่างมีค่าตั้งแต่ 100%, 50%, 25%, 20%, 10%, 2%, 1% โดยในแต่ละหน้าต่างเวลา ผู้วิจัยใช้อัตราการสุมตัวอย่างที่ตรวจจับข้อมูลควบคุมด้วยสนอร์ตแล้วไม่พบไฮสต์ที่เป็นข้อมูลปกติ แต่พบเฉพาะการกรัดตรวจของหนอนเท่านั้น เชตของ t , s ทั้งหมดที่ตรวจจับแล้วไม่พบไฮสต์ปกติคือ {10,100}, {10,50}, {10,25}, {10,20}, {10,10}, {10,5}, {30,100}, {30,50}, {30,25}, {30,20}, {30,10}, {30,5}, {30,2}, {50,100}, {50,50}, {50,25}, {50,20}, {50,10}, {50,5}, {50,2}, {50,1}, {70,100}, {70,50}, {70,25}, {70,20}, {70,10}, {70,5}, {70,2}, {70,1}, {100,100}, {100,50}, {100,25}, {100,20}, {100,10}, {100,5}, {100,2}, {100,1} จากนั้นนำข้อมูลที่ได้จากการสุมตัวอย่างไปตรวจจับหนอนด้วยโปรแกรมสนอร์ต ผลลัพธ์คือจำนวนการเตือนของสนอร์ต จากนั้นนำมาวิเคราะห์อัตราส่วนความผิดพลาดเพื่อวิเคราะห์ความแม่นยำในการตรวจจับหนอน

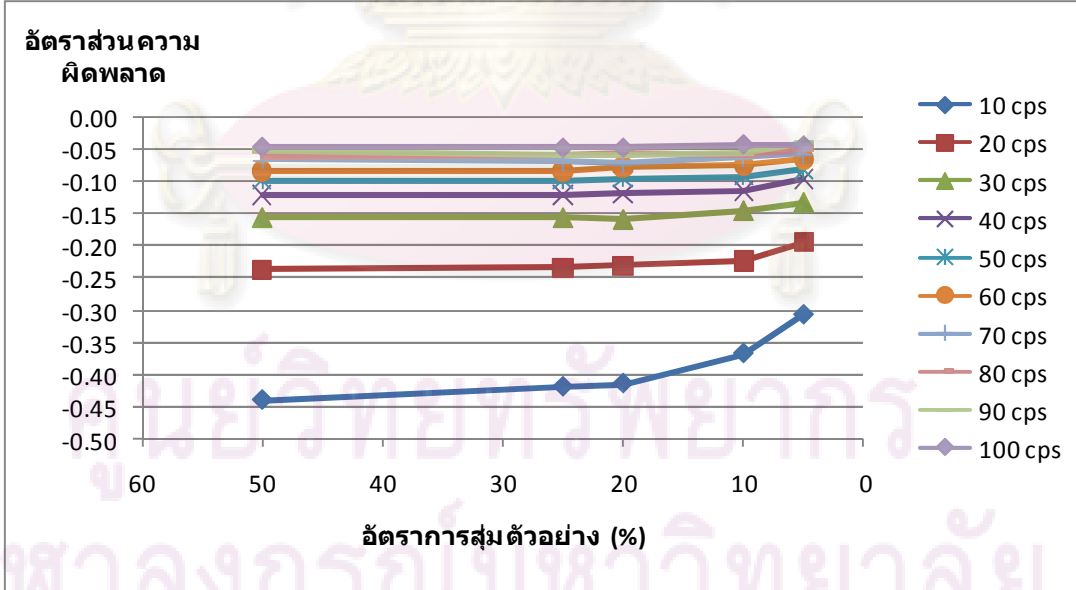


รูปที่ 4.9 การทดสอบความแม่นยำโดยการสุมตัวอย่างแบบมีชั้นภูมิ

เมื่อสุมตัวอย่างแบบมีชั้นภูมิกับข้อมูลควบคุมพิบว่าได้อัตราส่วนความผิดพลาดดังตารางที่ 4.2 และรูปที่ 4.10

ตารางที่ 4.2 อัตราส่วนความผิดพลาดจากการทดลองเมื่อสูมตัวอย่างแบบมีชั้นภูมิ กับข้อมูลควบคุมที่หน้าต่าง 10 วินาที

อัตราการ กวาราуж(cps)	สูม 50 % (2 เอก 1)	สูม 25 % (4 เอก 1)	สูม 20 % (5 เอก 1)	สูม 10 % (10 เอก 1)	สูม 5 % (20 เอก 1)
10	-0.44	-0.42	-0.41	-0.37	-0.31
20	-0.24	-0.23	-0.23	-0.22	-0.19
30	-0.16	-0.16	-0.16	-0.15	-0.13
40	-0.12	-0.12	-0.12	-0.11	-0.10
50	-0.10	-0.10	-0.10	-0.09	-0.08
60	-0.08	-0.08	-0.08	-0.07	-0.07
70	-0.07	-0.07	-0.07	-0.06	-0.06
80	-0.06	-0.06	-0.05	-0.06	-0.05
90	-0.05	-0.06	-0.06	-0.05	-0.04
100	-0.05	-0.05	-0.05	-0.04	-0.04



รูปที่ 4.10 อัตราส่วนความผิดพลาดจากการทดลองเมื่อสูมตัวอย่างแบบมีชั้นภูมิ กับข้อมูลควบคุมที่หน้าต่าง 10 วินาที

จากการทดลอง เมื่อสูมตัวอย่างจากข้อมูลควบคุมพบว่า ยิ่งหนอนที่มีอัตราการกรุดトラจสูง (มีจำนวนการเชื่อมต่อนากกว่าค่าต่ำสุดที่สนอร์ตตรวจจับได้) และอัตราการสูมตัวอย่างน้อยลง อัตราส่วนความผิดพลาดก็จะน้อยลง เป็นไปตามที่ได้คำนวณไว้ในหัวข้อ 3.3.1 โดยผลการคำนวณแสดงในตารางที่ 4.3

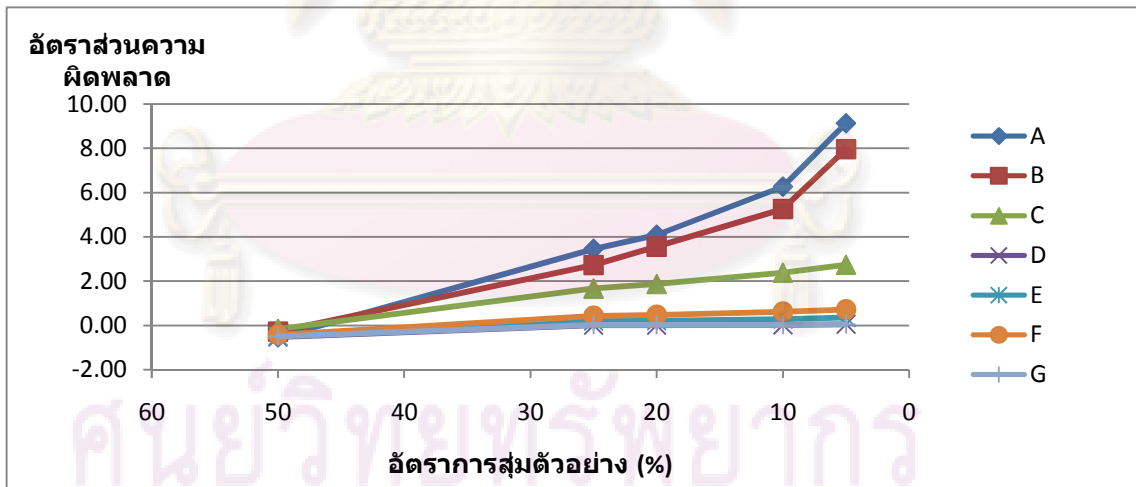
ตารางที่ 4.3 ผลการคำนวณอัตราส่วนความผิดพลาด
เมื่อสูมตัวอย่างกับข้อมูลควบคุมที่หน้าต่าง 10 วินาที

อัตราการกรุด(cps)	สูม 50 % (2 เอก 1)	สูม 25 % (4 เอก 1)	สูม 20 % (5 เอก 1)	สูม 10 % (10 เอก 1)	สูม 5 % (20 เอก 1)
10	-0.44	-0.42	-0.41	-0.37	-0.29
20	-0.23	-0.22	-0.22	-0.20	-0.15
30	-0.16	-0.15	-0.15	-0.13	-0.10
40	-0.12	-0.11	-0.11	-0.10	-0.07
50	-0.09	-0.09	-0.09	-0.08	-0.06
60	-0.08	-0.08	-0.07	-0.07	-0.05
70	-0.07	-0.07	-0.06	-0.06	-0.04
80	-0.06	-0.06	-0.06	-0.05	-0.04
90	-0.05	-0.05	-0.05	-0.04	-0.03
100	-0.05	-0.05	-0.04	-0.04	-0.03

เมื่อสูมตัวอย่างแบบมีชั้นภูมิกับข้อมูลจริง ถ้าให้ความผิดพลาดในการเตือน 1 ครั้ง ก่อให้เกิดอัตราส่วนความผิดพลาดไม่เกิน 5 % (เป็นค่าที่ใช้ในงานวิจัยโดยทั่วไป เช่น ในงานของ [25] และผู้วิจัยเห็นว่าเป็นค่าความผิดพลาดที่ไม่ก่อให้เกิดนัยสำคัญ) ดังนั้นการเลือกการเตือนหรือมีการเตือนเพิ่มขึ้น 1 ครั้ง ต้องทำให้มีอัตราส่วนความผิดพลาดไม่เกิน 5 % ดังนั้นสนอร์ตต้องเตือนอย่างน้อย 20 ครั้ง หมายเดียวไอพีที่มีการเตือนมากกว่า 20 ครั้ง มีอัตราส่วนความผิดพลาด ดังตารางที่ 4.4 และรูปที่ 4.11

ตารางที่ 4.4 อัตราส่วนความผิดพลาดจากการทดลองเมื่อสูงตัวอย่างแบบมีชั้นภูมิ กับข้อมูลจริงที่หน้าต่าง 10 วินาที

หมายเลข ไอค์พี	อัตราการ กราดตรวจ (cps)	สูง 50 % (2 เอก 1)	สูง 25 % (4 เอก 1)	สูง 20 % (5 เอก 1)	สูง 10 % (10 เอก 1)	สูง 5 % (20 เอก 1)
A	27.62	-0.55	3.45	4.09	6.27	9.14
B	29.75	-0.28	2.72	3.56	5.26	7.95
C	41.19	-0.17	1.66	1.87	2.38	2.74
D	84.98	-0.53	0.00	0.01	0.02	0.05
E	87.73	-0.49	0.19	0.21	0.28	0.35
F	88.90	-0.42	0.44	0.48	0.62	0.72
G	407.30	-0.50	0.02	0.02	0.02	0.05



รูปที่ 4.11 อัตราส่วนความผิดพลาดจากการทดลองเมื่อสูงตัวอย่างแบบมีชั้นภูมิ กับข้อมูลจริงที่หน้าต่าง 10 วินาที

จากผลการทดลอง หมายเลขไอค์พี A, B, C, D, E และ F มีผลบวกลงจำนวนมากและมีค่าไม่ตรงกับผลการคำนวณในตารางที่ 4.5 เนื่องจากในแต่ละการเชื่อมต่อมีแพ็คเก็ตมากกว่า 1 แพ็คเก็ต โดยปกติแล้วการกราดตรวจของ hon จะมีการส่งแพ็คเก็ตสำหรับการเชื่อมต่อเพียง 1

แพ็คเก็ตเท่านั้น แต่การซื้อมาต่อที่ใช้มากกว่า 1 แพ็คเก็ตและมีพฤติกรรมการกราดตรวจ อาจเกิดจาก การใช้โปรแกรมกราดตรวจเพื่อตรวจสอบเครื่องข่าย หรือโปรแกรมเพย์รูฟี่เยิร์ชิงนีพฤติกรรมใกล้เคียงกับการกราดตรวจของหนอน [26] โดยจำนวนการเตือนเหล่านี้เพิ่มขึ้นมากเมื่อสุ่มตัวอย่างซึ่งเป็นไปตามสมมติฐานที่ได้กล่าวไว้ในหัวข้อที่ 3.3.2

**ตารางที่ 4.5 ผลการคำนวณอัตราส่วนความผิดพลาด
เมื่อสุ่มตัวอย่างกับข้อมูลจริงที่หน้าต่าง 10 วินาที**

หมายเลข ไอพี	อัตราการ กราดตรวจ (cps)	สุ่ม 50 % (2 เอก 1)	สุ่ม 25 % (4 เอก 1)	สุ่ม 20 % (5 เอก 1)	สุ่ม 10 % (10 เอก 1)	สุ่ม 5 % (20 เอก 1)
A	27.62	-0.21	-0.18	-0.17	-0.15	-0.11
B	29.75	-0.16	-0.15	-0.15	-0.13	-0.10
C	41.19	-0.10	-0.11	-0.11	-0.10	-0.07
D	84.98	-0.06	-0.05	-0.05	-0.05	-0.04
E	87.73	-0.06	-0.05	-0.05	-0.05	-0.03
F	88.90	-0.05	-0.05	-0.05	-0.04	-0.03
G	407.30	-0.01	-0.01	-0.01	-0.01	-0.01

นอกจากนี้ยังพบไฮสต์ที่ถูกเตือนเพิ่มขึ้นมาเป็นจำนวนมากเมื่อใช้อัตราการสุ่มตัวอย่างน้อยลง ดังแสดงในตารางที่ 4.6 ซึ่งถือเป็นผลบวกลงทะเบียนจากเมื่อไม่ได้สุ่มตัวอย่างสนอร์ตไม่ตรวจพบไฮสต์เหล่านี้

ตารางที่ 4.6 จำนวนไฮสต์ที่เป็นผลบวกลงทะเบียนเมื่อสุ่มตัวอย่างแบบมีชั้นภูมิ

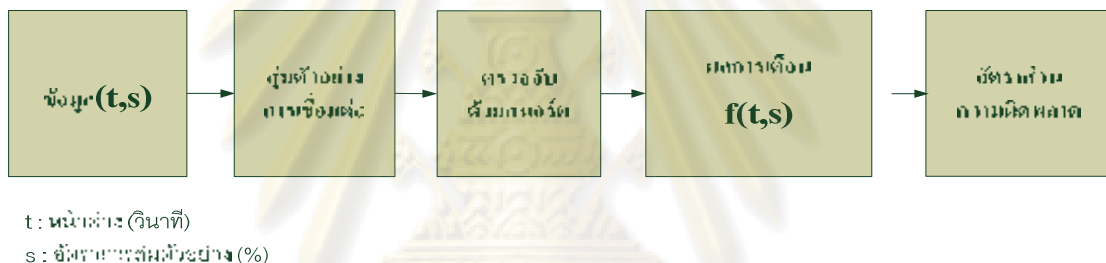
หน้าต่าง	สุ่ม 100 % (1 เอก 1)	สุ่ม 50 % (2 เอก 1)	สุ่ม 25 % (4 เอก 1)	สุ่ม 20 % (5 เอก 1)	สุ่ม 10 % (10 เอก 1)	สุ่ม 5 % (20 เอก 1)	สุ่ม 2 % (50 เอก 1)	สุ่ม 1 % (100 เอก 1)
10	0	0	110	235	721	1121	-	-
30	0	4	13	19	107	435	950	1336
50	0	0	7	10	28	190	607	973
70	0	0	3	5	15	83	427	759

ตารางที่ 4.6 (ต่อ) จำนวนโขสต์ที่เป็นผลบวกของเมื่อสูมตัวอย่างแบบมีชั้นภูมิ

หน้าต่าง	สูม 100 % (1 เอก 1)	สูม 50 % (2 เอก 1)	สูม 25 % (4 เอก 1)	สูม 20 % (5 เอก 1)	สูม 10 % (10 เอก 1)	สูม 5 % (20 เอก 1)	สูม 2% (50 เอก 1)	สูม 1% (100 เอก 1)
100	0	2	2	2	4	11	24	93

4.4.3.2 การทดลองสำหรับการสูมตัวอย่างการเชื่อมต่อ

การทดลองนี้เหมือนกับการสูมตัวอย่างแบบมีชั้นภูมิ แต่เปลี่ยนวิธีการสูมตัวอย่างเป็นการสูมตัวอย่างการเชื่อมต่อเท่านั้น โดยมีรายละเอียดดังรูปที่ 4.12



รูปที่ 4.12 การทดสอบความแม่นยำโดยการสูมตัวอย่างการเชื่อมต่อ

เมื่อสูมตัวอย่างข้อมูลควบคุมด้วยวิธีสูมตัวอย่างการเชื่อมต่อพบว่าได้ผลการทดลองดังตารางที่ 4.7 และรูปที่ 4.13 โดยพบว่าผลการทดลองมีค่าใกล้เคียงกับการสูมตัวอย่างแบบมีชั้นภูมิ

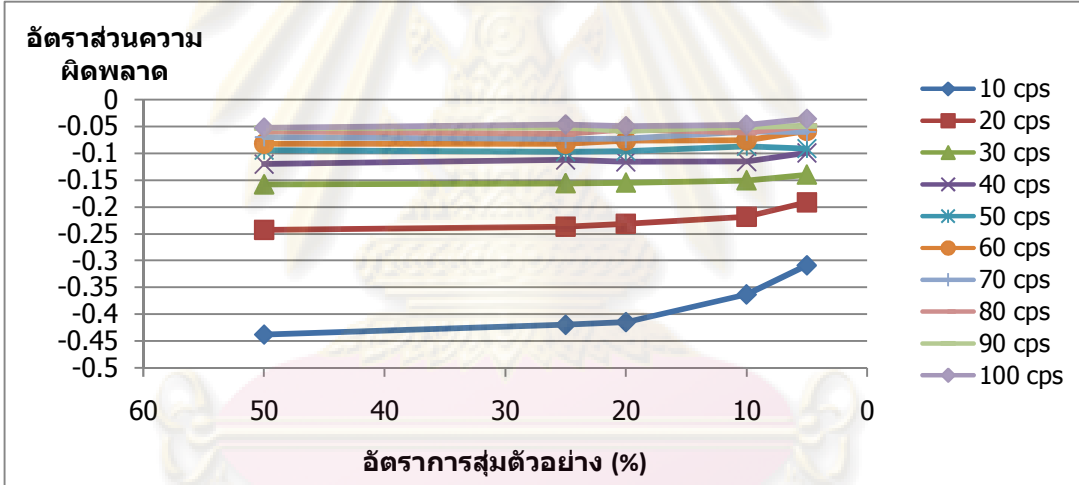
ตารางที่ 4.7 อัตราส่วนความผิดพลาดจากการทดลองเมื่อสูมตัวอย่างการเชื่อมต่อ

กับข้อมูลควบคุมที่หน้าต่าง 10 วินาที

อัตราการ กวดตรวจ(cps)	สูม 50 % (2 เอก 1)	สูม 25 % (4 เอก 1)	สูม 20 % (5 เอก 1)	สูม 10 % (10 เอก 1)	สูม 5 % (20 เอก 1)
10	-0.44	-0.42	-0.41	-0.36	-0.31
20	-0.24	-0.24	-0.23	-0.22	-0.19
30	-0.16	-0.16	-0.15	-0.15	-0.14
40	-0.12	-0.11	-0.12	-0.12	-0.10
50	-0.09	-0.10	-0.10	-0.09	-0.09

ตารางที่ 4.7 (ต่อ) อัตราส่วนความผิดพลาดจากการทดลองเมื่อสูมตัวอย่างการเขีอมต่อ กับข้อมูลควบคุมที่หน้าต่าง 10 วินาที

อัตราการ การตรวจ(cps)	สูม 50 % (2 เอก 1)	สูม 25 % (4 เอก 1)	สูม 20 % (5 เอก 1)	สูม 10 % (10 เอก 1)	สูม 5 % (20 เอก 1)
60	-0.08	-0.08	-0.08	-0.08	-0.06
70	-0.07	-0.07	-0.07	-0.06	-0.06
80	-0.06	-0.06	-0.06	-0.06	-0.05
90	-0.05	-0.05	-0.06	-0.05	-0.05
100	-0.05	-0.05	-0.05	-0.05	-0.04



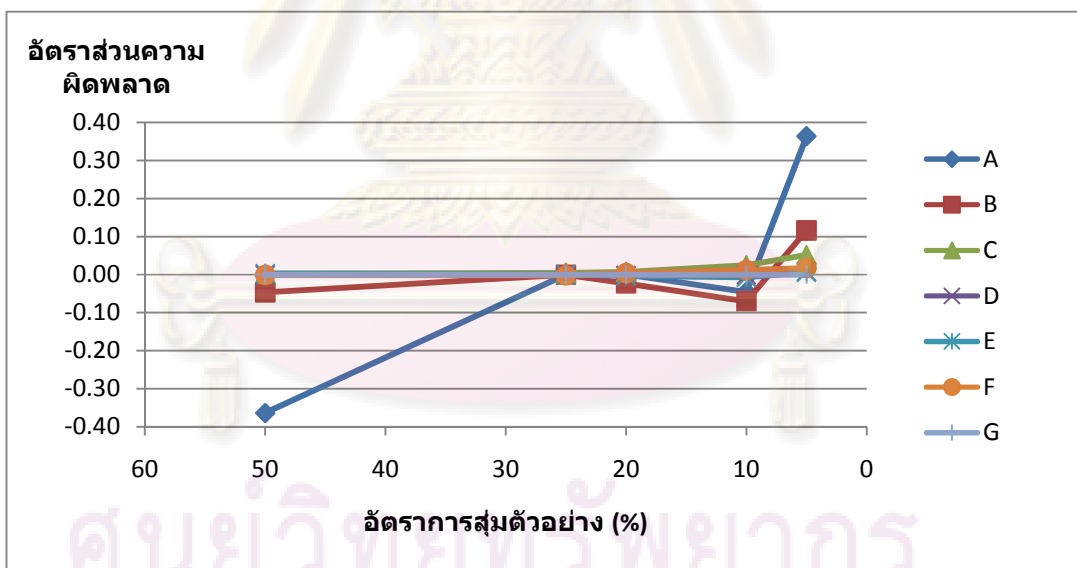
รูปที่ 4.13 อัตราส่วนความผิดพลาดจากการทดลองเมื่อสูมตัวอย่างการเขีอมต่อ กับข้อมูลควบคุมที่หน้าต่าง 10 วินาที

เมื่อสูมตัวอย่างการเขีอมต่อกับข้อมูลจริงพบว่ามีอัตราส่วนความผิดพลาดดังตารางที่ 4.8 และรูปที่ 4.14 พบร่วมกับอัตราส่วนความผิดพลาดน้อยมาก

ศูนย์วิทยาการ
จุฬาลงกรณ์มหาวิทยาลัย

ตารางที่ 4.8 อัตราส่วนความผิดพลาดจากการทดลองเมื่อสูมตัวอย่างการเขีอมต่อ กับข้อมูลจริงที่หน้าต่าง 10 วินาที

หมายเลข ไอพี	อัตราการ การตัดความ (cps)	สูม 50 % (2 เอก 1)	สูม 25 % (4 เอก 1)	สูม 20 % (5 เอก 1)	สูม 10 % (10 เอก 1)	สูม 5 % (20 เอก 1)
A	27.62	-0.36	0.00	0.00	-0.05	0.36
B	29.75	-0.05	0.00	-0.02	-0.07	0.12
C	41.19	0.00	0.00	0.01	0.02	0.05
D	84.98	0.00	0.00	0.00	0.00	0.01
E	87.73	0.00	0.00	0.00	-0.01	0.01
F	88.90	0.00	0.00	0.00	0.01	0.02
G	407.30	0.00	0.00	0.00	0.00	0.00



รูปที่ 4.14 อัตราส่วนความผิดพลาดจากการทดลองเมื่อสูมตัวอย่างการเขีอมต่อ กับข้อมูลจริงที่หน้าต่าง 10 วินาที นอกเหนือจากนี้ยังจำนวนไอดีที่เป็นผลบวกของจะมีจำนวนน้อยมากเมื่อเทียบกับการสูม ตัวอย่างแบบมีชั้นภูมิในตารางที่ 4.5 โดยจำนวนไอดีที่เป็นผลบวกของนี้แสดงดังในตารางที่ 4.9

ตารางที่ 4.9 จำนวนโอลส์ที่เป็นผลบวกลงเมื่อสูมตัวอย่างการเชื่อมต่อ

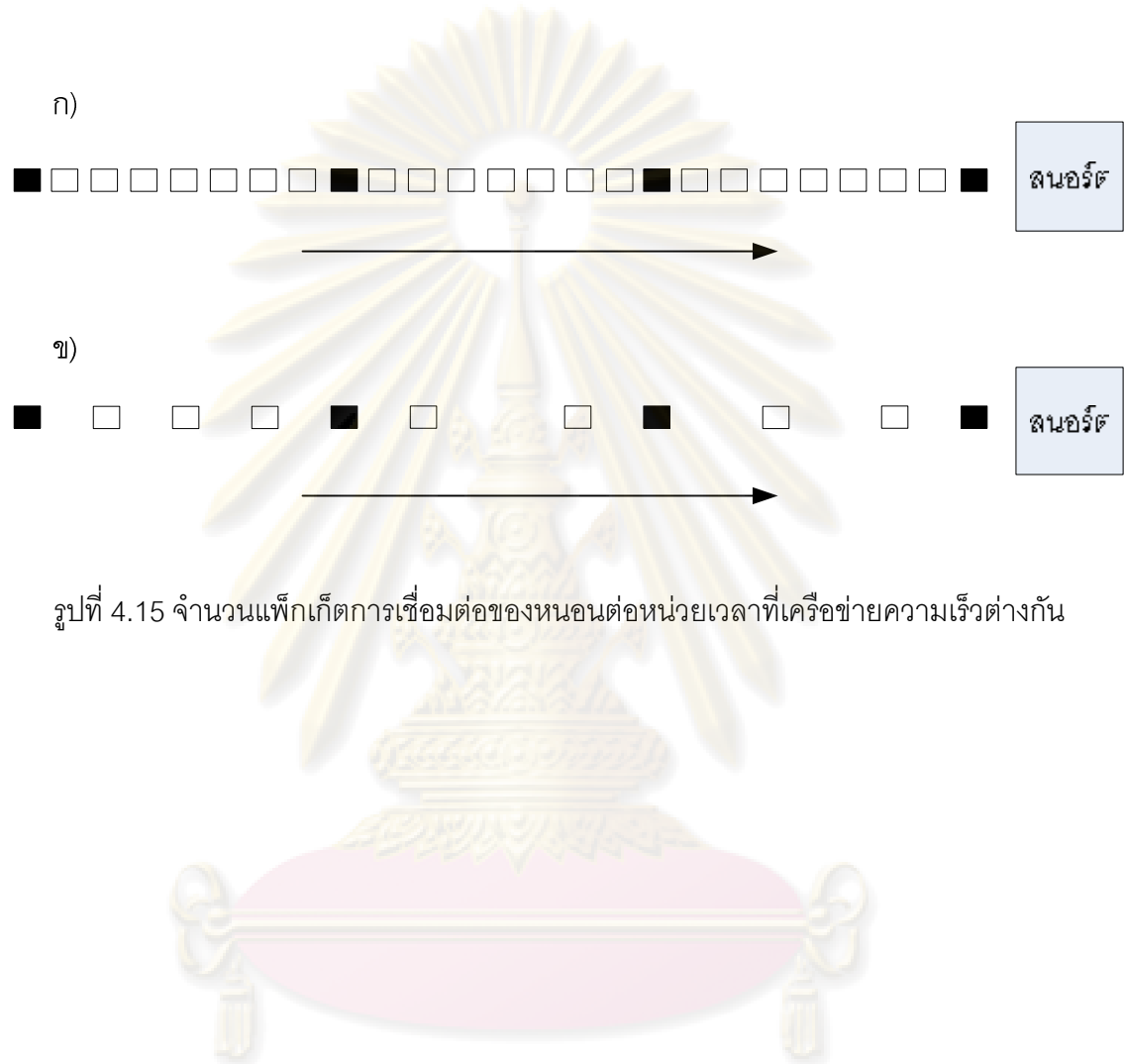
หน้าต่อ	สูม 100 % (1 เอก 1)	สูม 50 % (2 เอก 1)	สูม 25 % (4 เอก 1)	สูม 20 % (5 เอก 1)	สูม 10 % (10 เอก 1)	สูม 5 % (20 เอก 1)	สูม 2% (50 เอก 1)	สูม 1% (100 เอก 1)
10	0	0	0	1	1	2	-	-
30	0	0	1	0	0	0	2	5
50	0	0	1	0	0	0	2	5
70	0	0	0	0	0	0	0	5
100	0	0	1	1	1	0	1	2

ผู้จัดกำหนดอัตราส่วนความผิดพลาดที่เกิดขึ้นมีค่าไม่เกิน 5 % (0.05) (ดังที่กล่าวใน 4.3.3.1) ดังนั้นจากตารางที่ 4.5 หนอนที่ถูกตรวจจับได้ต้องมีอัตราการกรุดตรวจที่มากกว่า 90 การเชื่อมต่อต่ออุปกรณ์ ผลของการตรวจจับข้อมูลจริงของสนอร์ตในตารางที่ 4.8 พบรการเตือนของหมายเลขไอพี G มีอัตราการกรุดตรวจ 407 การเชื่อมต่อต่ออุปกรณ์ ซึ่งผลการทดลองที่ได้อาจมีค่าต่างจากที่คำนวณเนื่องจากหนอนในเครือข่ายจริงมีอัตราการกรุดตรวจไม่คงที่

จากการทดลองที่ผ่านมาในบทนี้สรุปได้ว่า เมื่อสูมตัวอย่างแบบมีชั้นภูมิภักข้อมูลจริง จะเกิดผลบวกลงจำนวนมากซึ่งผลการทดลองเป็นไปตามสมมติฐานใน 3.3.2 ดังนั้นจึงแก้ไขโดยเปลี่ยนไปใช้การสูมตัวอย่างการเชื่อมต่อ เวลาสามารถค่าอัตราส่วนความผิดพลาดได้จาก การคำนวณในหัวข้อ 3.3.1 ซึ่งผลการทดลองกับข้อมูลควบคุมพบว่าใกล้เคียงกับที่คำนวณ ในงานวิจัยนี้กำหนดให้อัตราส่วนความผิดพลาดมีค่าไม่เกิน 0.05 ดังนั้นหนอนที่ตรวจจับได้ต้องมีการเตือนมากกว่า 20 ครั้ง และมีอัตราการกรุดตรวจตั้งแต่ 90 การเชื่อมต่อต่ออุปกรณ์ขึ้นไป ตัวอย่างหนอนที่สามารถตรวจจับได้ เช่น Nimda, Code Red, และ Slammer จากทดลองตรวจจับหนอนในเครือข่ายขนาดใหญ่ ในสถาบันอุดมศึกษาขนาด 40,000 คน แห่งหนึ่งสามารถตรวจจับหมายหมายเลขไอพี G ซึ่งมีอัตราการกรุดตรวจ 407 การเชื่อมต่อต่ออุปกรณ์

ในงานวิจัยนี้สนใจเฉพาะอัตราการกรุดตรวจของหนอนที่ตรวจจับได้ด้วยสนอร์ต โดยการตรวจจับนี้ไม่ขึ้นอยู่กับความเร็วหรือปริมาณข้อมูลที่ส่งผ่านเครือข่าย ยกตัวอย่างเช่น จากกฎที่ 4.15 ก) และ 4.15 ข) ให้กล่องสีดำคือหนอน และกล่องสีขาวคือแพ็กเก็ตปกติ ถ้าเครือข่ายมีความเร็วสูงขึ้นจำนวนแพ็กเก็ตการกรุดตรวจของหนอนเจือจางลงอย่างมากแต่หนอนที่ตรวจจับที่สนอร์ตยังคงมีอัตราการกรุดตรวจเท่าเดิม (4 การเชื่อมต่อ) จะสามารถตรวจจับหนอนโดยใช้ค่าขีดเริ่มเปลี่ยน และหน้าต่างเวลาเดิมได้ แต่ถ้าเครือข่ายมีความเร็วสูงนี้ขึ้นทำให้หนอนกรุดตรวจ

สูงขึ้น ต้องวิเคราะห์และปรับเปลี่ยนตัวแปรที่กำหนดในสนอร์ตใหม่คือ ค่าขีดเริ่มเปลี่ยนและหน้าต่างเวลาใหม่ ซึ่งในงานวิจัยนี้เริ่มใช้หนอนในเครือข่ายที่มีความเร็ว 1 Gbps



ศูนย์วิทยทรัพยากร
จุฬาลงกรณ์มหาวิทยาลัย

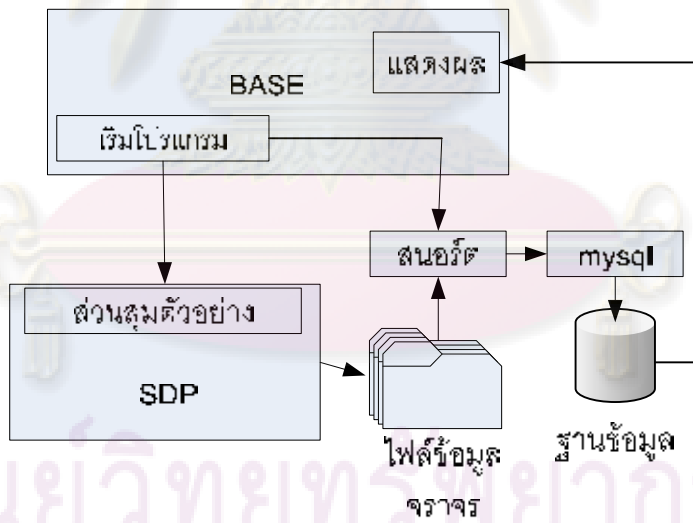
บทที่ 5

การประยุกต์ใช้งาน

จากการทดลองที่ผ่านมา แสดงให้เห็นว่าเมื่อใช้การสุมตัวอย่าง สนอร์ตยังคงตรวจพบการกราดตรวจของหนอนได้ แต่การเก็บข้อมูลด้วยເສດີພີ (SDP – Scanning Detection Program) และการตรวจจับการกราดตรวจของหนอนยังเป็นโปรแกรมที่แยกกันและการเริ่มโปรแกรมทั้งເຄສດີພີ และ สนอร์ต ต้องทำผ่านคอมมานໄລນ໌ (command line) ทำให้ยากต่อการใช้งาน ดังนั้นในบทนี้จะกล่าวถึงการนำโปรแกรมต่างๆ มารวมเป็นระบบเดียวกัน เพื่อให้ผู้ดูแลระบบสามารถสั่งงานได้จากหน้าเว็บที่เดียว รายละเอียดในการพัฒนาส่วนต่างๆ และตัวอย่างการใช้งานระบบมีดังต่อไปนี้

5.1 องค์ประกอบของระบบจัดเก็บและตรวจสอบข้อมูล

องค์ประกอบของระบบจะแสดงได้ดังรูปที่ 5.1



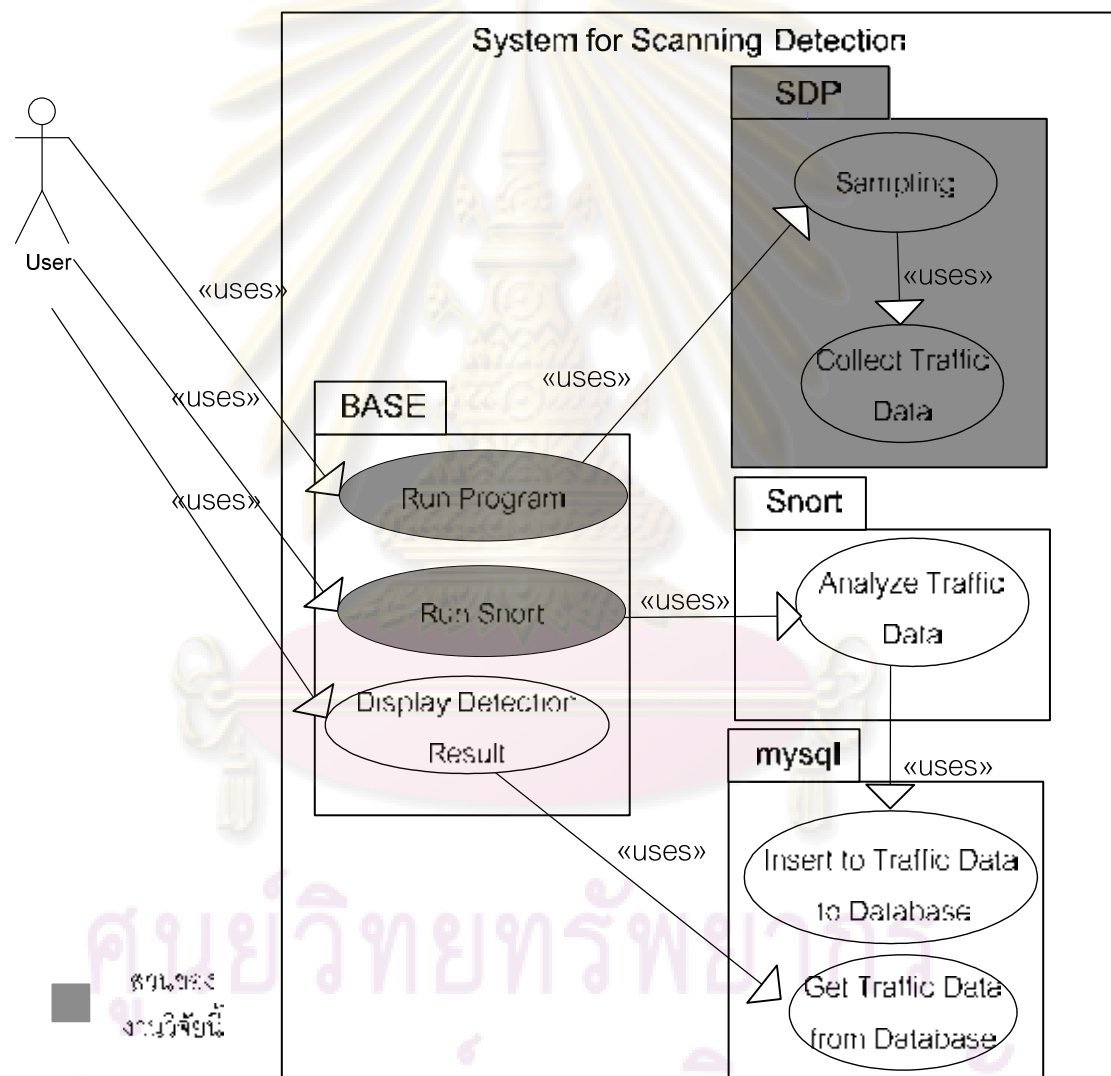
รูปที่ 5.1 องค์ประกอบของระบบจัดเก็บและตรวจสอบข้อมูลจราจร

จากรูปที่ 5.1 ระบบประกอบด้วยส่วนประกอบหลัก 4 ส่วน ได้แก่ หน้าเว็บ โปรแกรม สนอร์ต โปรแกรม SDP และ โปรแกรม mysqI โดยแก้ไขรหัสโปรแกรม SDP ให้สามารถสุมตัวอย่าง ได้ด้วยค่าที่เรากำหนด และเขียนสคริปต์เพิ่มเติมสำหรับเก็บข้อมูลจราจรโดยวิธีวนรอบ (Round Robin) นอกจากนี้ผู้วิจัยได้เพิ่มส่วนการเริ่มโปรแกรมและหยุดโปรแกรมจากหน้าเว็บหลัก ทั้ง

โปรแกรม SDP สำหรับสุ่มตัวอย่างและเก็บข้อมูลจราจร และโปรแกรมสนอร์ตสำหรับตรวจจับการกราดตรวจของหนอน (สาเหตุที่ใช้เบส เป็นเว็บสำหรับแสดงผลการตรวจจับของสนอร์ตเพราะเป็นชอร์ฟแวร์แบบโอลิเคนชอร์ส)

5.2 การทำงานของระบบโดยรวม

การทำงานในภาพรวมของระบบแสดงได้ดังรูปที่ 5.2



รูปที่ 5.2 การทำงานของระบบโดยรวม

จากรูปที่ 5.2 เมื่อผู้ใช้ติดต่อระบบผ่านหน้าเว็บและต้องการเก็บข้อมูลจราจร ผู้ใช้สามารถเริ่มโปรแกรมจากหน้าเว็บ โดยโปรแกรมจะสุ่มตัวอย่างตามค่าที่ได้เลือกไว้จากหน้าเว็บ เพื่อกีบข้อมูลจราจร ซึ่งสามารถปรับเปลี่ยนค่าตราชารสุ่มตัวอย่างได้ตั้งแต่ 100% ถึง 1% ระบบจะ

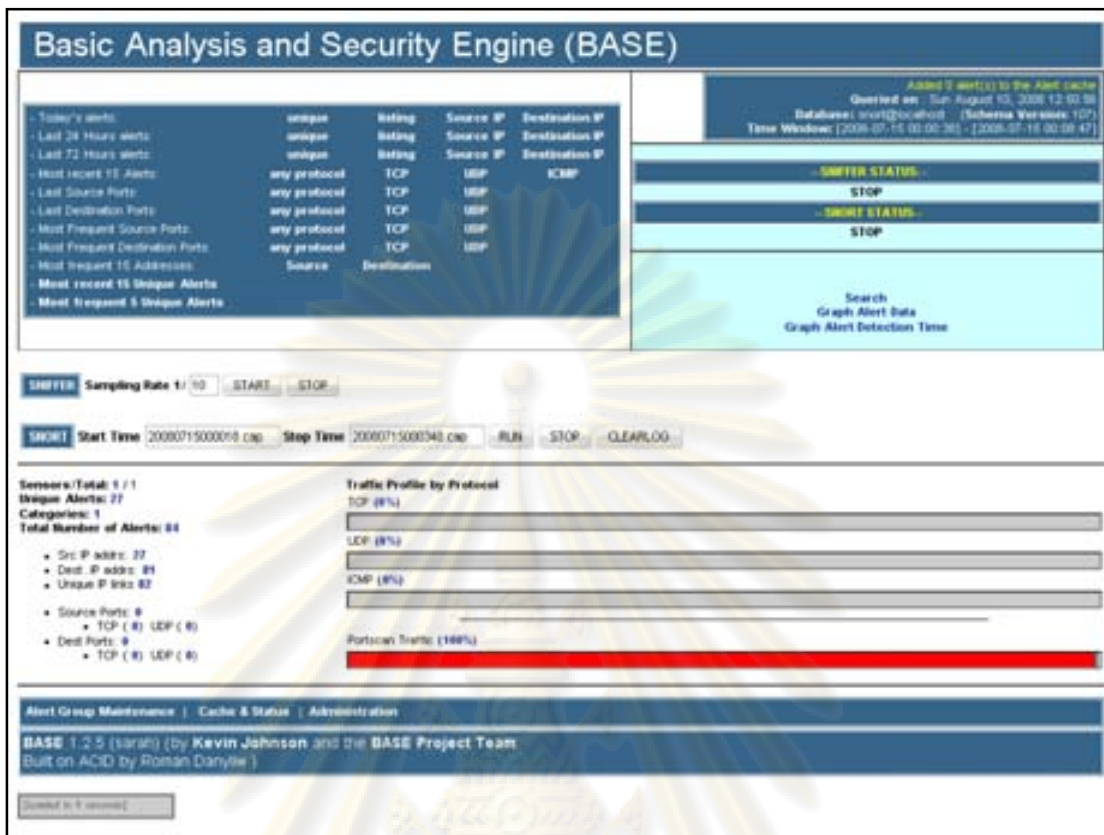
เก็บข้อมูลจราจรโดยวิธีวนรอบ (Round Robin) เมื่อเนื้อที่เก็บข้อมูลเต็มโปรแกรมจะเก็บข้อมูลทับข้อมูลที่ถูกเก็บไว้นานที่สุด ส่วนสนอร์ตทำงานที่วิเคราะห์ข้อมูลแล้วเก็บผลการวิเคราะห์ลงในฐานข้อมูลด้วยโปรแกรม MySQL เมื่อผู้ใช้ต้องการดูผลการวิเคราะห์ให้ใช้โปรแกรมเบสในการดึงข้อมูลจากฐานข้อมูลใน MySQL มาแสดงผ่านหน้าเว็บ

5.3 เว็บปรับแต่งค่าและแสดงผล

เริ่มต้นจะเป็นหน้าเว็บไซต์สำหรับเข้าระบบโดยจะให้ใส่ชื่อผู้ใช้และรหัสผ่าน ดังรูปที่ 5.3 หลังจากใส่ชื่อผู้ใช้และรหัสผ่านก็จะเข้าหน้าหลักแสดงผลสรุปของการตรวจจับความผิดปกติต่างๆ และแสดงส่วนเพิ่มเติมที่ผู้ใช้ได้พัฒนาขึ้นคือ การเริ่มโปรแกรม SDP และสนอร์ตสำหรับเก็บข้อมูลจราจร ซึ่งสามารถกำหนดอัตราการสุมตัวอย่างได้ และการตรวจจับการกราดตรวจของหนอนจากข้อมูลจราจรที่เก็บได้ด้วยโปรแกรมสนอร์ต นอกจากนี้ยังสามารถแสดงสถานะได้ว่า โปรแกรม SDP และสนอร์ตทำงานอยู่หรือไม่ โดยแสดงดังรูปที่ 5.4 เมื่อเข้าไปดูรายละเอียดของผลการตรวจจับ เปสจะแสดงรายละเอียดคือหมายเลขแสดงชนิดของการตรวจจับ ชื่อของการตรวจจับ เวลา หมายเลขไอพีต้นทาง หมายเลขไอพีปลายทาง และ proto協議 ดังรูปที่ 5.5



รูปที่ 5.3 หน้าเว็บสำหรับลงบันทึกเข้า



รูปที่ 5.4 หน้าเก็บหลัก

The screenshot shows the BASE web interface with the following sections:

- Top Header:** Basic Analysis and Security Engine (BASE)
- Home | Search | [Back]**
- Alert Cache Summary:**
 - Added 0 alert(s) to the Alert cache.
 - Queried on: Tue March 18, 2008 15:16:12.
- Meta Criteria:** any
- IP Criteria:** any
- Layer 4 Criteria:** none
- Payload Criteria:** any
- Summary Statistics:**
 - Sensors
 - Unique Alerts (classifications)
 - Unique addresses: Source | Destination
 - Unique IP links
 - Source Port: TCP | UDP
 - Destination Port: TCP | UDP
 - Time profile of alerts
- Alert List:** Displaying alerts 1-50 of 148196 total.

ID	< Signature >	< Timestamp >	< Source Address >	< Dest. Address >	< Layer 4 Proto >
#0-(183-12)	(11730)SigName unknown	2008-03-11 01:01:28	[REDACTED]	[REDACTED]	ICMP
#1-(183-49)	(11731)SigName unknown	2008-03-11 01:01:29	[REDACTED]	[REDACTED]	ICMP
#2-(183-62)	(11731)SigName unknown	2008-03-11 01:01:29	[REDACTED]	[REDACTED]	ICMP
#3-(183-64)	(11733)SigName unknown	2008-03-11 01:01:30	[REDACTED]	[REDACTED]	ICMP
#4-(183-70)	(11731)SigName unknown	2008-03-11 01:01:30	[REDACTED]	[REDACTED]	ICMP
#5-(183-76)	(11731)SigName unknown	2008-03-11 01:01:31	[REDACTED]	[REDACTED]	ICMP
#6-(183-83)	(11731)SigName unknown	2008-03-11 01:01:31	[REDACTED]	[REDACTED]	ICMP
#7-(183-85)	(11730)SigName unknown	2008-03-11 01:01:32	[REDACTED]	[REDACTED]	ICMP
#8-(183-100)	(11733)SigName unknown	2008-03-11 01:01:33	[REDACTED]	[REDACTED]	ICMP
#9-(183-106)	(11731)SigName unknown	2008-03-11 01:01:33	[REDACTED]	[REDACTED]	ICMP
#10-(183-110)	(11731)SigName unknown	2008-03-11 01:01:33	[REDACTED]	[REDACTED]	ICMP
#11-(183-131)	(11731)SigName unknown	2008-03-11 01:01:34	[REDACTED]	[REDACTED]	ICMP

รูปที่ 5.5 หน้าเว็บแสดงรายละเอียดผลการตรวจจับ

5.4 สรุปผลการประยุกต์ใช้งาน

ในบทนี้กล่าวถึงการพัฒนาระบบจัดเก็บและตรวจสอบข้อมูลเจ้ากรให้สามารถใช้งานได้จริง โดยรวมส่วนต่างๆ ให้เป็นระบบเดียวกันและทำงานสัมพันธ์กัน เพื่อความสะดวกของผู้ใช้งาน โดยสามารถสั่งการผ่านหน้าเว็บได้ ทั้งการเก็บข้อมูลเจ้ากร การสุมตัวอย่าง และการตรวจจับการกราดตรวจของหนอน



ศูนย์วิทยทรัพยากร
จุฬาลงกรณ์มหาวิทยาลัย

บทที่ 6

สรุปผลการวิจัยและข้อเสนอแนะ

6.1 สรุปผลการวิจัย

เนื่องจากความสามารถในการเก็บข้อมูลที่มีจำกัดและแนวโน้มการใช้เครือข่ายที่เพิ่มขึ้นเรื่อยๆ งานวิจัยนี้ใช้วิธีการสุ่มตัวอย่างทำให้เก็บข้อมูลสำหรับการวิเคราะห์เพื่อตรวจจับหนอนได้เป็นระยะเวลากว่า 6 เดือน ทั้งผลบวกลดลงและผลลบลดลง งานวิจัยนี้ได้แก้ปัญหาผลบวกลดลงโดยเสนอการสุ่มตัวอย่างการเชื่อมต่อ และสามารถคำนวณอัตราการกรุดตรวจสอบของหนอนได้อย่างมีประสิทธิภาพ (อัตราส่วนความผิดพลาดน้อย) โดยผลจากการทดลองในงานวิจัยนี้ พบว่าเมื่อให้จำนวนการเชื่อมต่อต่ำสุดที่สนอร์ตสามารถตรวจจับได้ (C_{base}) คือ 10 และอัตราส่วนความผิดพลาด (E) ไม่เกิน 0.05 ที่หน้าต่าง (t) 10 วินาที สามารถตรวจจับหนอนที่มีอัตราการกรุดตรวจสอบตั้งแต่ 90 การเชื่อมต่อต่อวินาที ได้ด้วยอัตราการสุ่มตัวอย่าง 50 % ถึง 5 % ที่หน้าต่าง 30 วินาที สามารถตรวจจับหนอนที่มีอัตราการกรุดตรวจสอบตั้งแต่ 90 การเชื่อมต่อต่อวินาที ได้ด้วยอัตราการสุ่มตัวอย่าง 50 % ถึง 2 % และที่หน้าต่าง 50 70 และ 100 วินาที สามารถตรวจจับหนอนที่มีอัตราการกรุดตรวจสอบตั้งแต่ 90 การเชื่อมต่อต่อวินาที ได้ด้วยอัตราการสุ่มตัวอย่าง 50 % ถึง 1 %

การประยุกต์ใช้งานทำโดยเพิ่มการสุ่มตัวอย่างในโปรแกรม SDP ให้สามารถเก็บข้อมูลด้วยการสุ่มตัวอย่าง ส่วนการสร้างระบบจัดเก็บข้อมูลจากวิเคราะห์ ผู้ใช้เพิ่มส่วนของการเริ่มทำงาน และหยุดทำงาน ของโปรแกรม SDP และโปรแกรมสนอร์ต บนหน้าเว็บ อีกทั้งยังสามารถปรับอัตราการสุ่มตัวอย่าง จากหน้าเว็บได้อีกด้วย

6.2 ปัญหาที่พบจากการวิจัย

ปัญหาหรือข้อจำกัดที่พบในงานวิจัยมีดังนี้

1. การจำลองข้อมูลหนอนมีความยากลำบากเนื่องจากเป็นข้อมูลอันตรายและอาจก่อให้เกิดผลเสียหายแก่เครือข่ายได้ทำให้ไม่สามารถนำหนอนอินเทอร์เน็ตไปทดลองปล่อยบนเครือข่ายจริงได้

2. รหัสต้นฉบับ (source code) ของสนอร์ตมีขนาดใหญ่และมีความซับซ้อนสูงมากทำให้ต้องใช้เวลาในการศึกษาการทำงานของพร็อพร็อเซสเซอร์ flow-portscan เพื่อเพิ่มการสุมตัวอย่างลงไปในสนอร์ต

3. ใช้เวลาในการทดลองเนื่องจากข้อมูลจราจรที่นำมารวบรวมมีขนาดใหญ่ระดับกิกะไบต์ และทดลองหลายรอบ (ทดลองประมาณ 148 รอบ) โดยทดสอบกับข้อมูลทดลองใช้เวลาประมาณ 10 วัน และทดสอบกับข้อมูลจริง ใช้เวลาประมาณ 21 วัน

4. ต้องใช้เนื้อที่ในการเก็บข้อมูลจำนวนมาก เพราะต้องเก็บทั้งข้อมูลจราจรและข้อมูลจราจรที่ถูกสุมเพื่อทดลองเบรียบเทียบผลการทดลอง โดยผู้วิจัยได้จัดหาจานบันทึกแบบแข็ง (hard disk) เพิ่มเติมสำหรับเก็บข้อมูล จำนวน 300 กิกะไบต์

5. สภาพแวดล้อมของข้อมูลควบคุมกับข้อมูลจริงมีความแตกต่างกัน ทั้งอัตราการกราดตรวจของหนอน จำนวนแพ็กเก็ต และตัวแปรอื่นๆ ที่ไม่สามารถคาดเดาได้ ทำให้ผลการทดลองของข้อมูลจริงมีความคลาดเคลื่อนพอสมควร

6.3 ข้อเสนอแนะ

สิ่งที่ควรพัฒนาต่อจากงานวิจัยชิ้นนี้

1. ศึกษาผลกระทบของการสุมตัวอย่างต่อการบุกรุกแบบอื่นๆ เช่น พฤติกรรมการสแกนพอร์ต หนอนที่แพร่กระจายผ่านโปรแกรมเพียร์ทูเพียร์ (Peer-to-Peer) หรือ การโจมตีแบบปฏิเสธการให้บริการ (Denial of Service)

2. ศึกษาอัตราการสุมตัวอย่างแบบอื่นทั้งการสุมแบบง่ายและการสุมแบบมีระบบ ที่มีต่อการกราดตรวจของหนอน

3. ศึกษาลักษณะการทำงานของเครือข่าย หรือลักษณะของโปรแกรมเครือข่ายของการสุมตัวอย่าง เพื่อเพิ่มประสิทธิภาพในการสุมที่ดีขึ้น เช่น สุมตามขนาดของไฟล์ หรือปรับอัตราการสุมตามลักษณะเฉพาะของภาระงานเครือข่ายนั้น

4. หาวิธีการกราดตรวจจับพฤติกรรมหนอนแบบอื่นนอกเหนือจากการกราดตรวจ มาประยุกต์ใช้กับการสุมตัวอย่าง

5. พัฒนาการจำลองของข้อมูลจราจร [27] ที่มีการบุกรุกแบบต่างๆ เพื่อเป็นข้อมูลมาตรวัดสำหรับใช้ในงานวิจัยด้านความปลอดภัยเครือข่ายต่อไป

รายการอ้างอิง

- [1] Cabani, A., Ramaswamy, S., Itmi, M., Al-Shukri, S., and Pécuchet, J. P. (2007). Distributed Computing Systems : P2P versus Grid Computing Alternatives. Innovation and Advanced Technique in Computer and Information Science and Engineering, pp. 47-52.
- [2] Pongpaibool, P. (2006). Characteristics of Internet Traffic in Thailand [Online]. Available from: http://internet.nectec.or.th/document/pdf/20060329ECTI2006_panita.pdf [2009, February 15]
- [3] Claffy, K. C., Polyzos, G. C., and Braun, H. (1993). Application of Sampling Methodologies to Network Traffic Characterization. Proceedings of ACM SIGCOMM Computer Communication Review, pp. 194-203.
- [4] Snort. (2008). Snort™ Users Manual [Online]. Available from: http://www.snort.org/docs/snort_htmanuals/htmanual_2832/ [2009, February 15]
- [5] Arboleda, A. F., and Bedón, Ch. E. (2005). Snort diagrams for developers [Online]. Available from: <http://afrodita.unicauca.edu.co/~cbedon/snort/snortdevdiagrams.html> [2009, February 15]
- [6] BASE. (2008). Basic Analysis and Security Engine (BASE) project [Online]. Available from: <http://base.secureideas.net/about.php> [2009, February 15]
- [7] Buchholz, F., et al. (2002). Digging for Worms, Fishing for Answers. Proceedings of the 18th Annual Computer Security Applications Conference, pp. 219-226.
- [8] Lee, M., et al. (2007). An Approach for Classifying Internet Worms Based on Temporal Behaviors and Packet Flows. Advanced Intelligent Computing Theories and Applications. With Aspects of Theoretical and Methodological Issues, pp. 646-655.
- [9] Williamson, M. M. (2002). Throttling Viruses: Restricting Propagation to Defeat Malicious Mobile Code. Proceedings of the 18th Computer Security Applications Conference, pp. 61-68.
- [10] Twycross, J., and Williamson, M. M. (2003). Implementing and Testing a Virus Throttle. Proceedings of the 12th USENIX Security Symposium, pp. 285–294.

- [11] Wong, C., Bielski, S., Studer, A., and Wang, C. (2005). On the Effectiveness of Rate Limiting Mechanisms [Online]. Available from: <http://citeseerx.ist.psu.edu/viewdoc/download?doi=10.1.1.87.3089&rep=rep1&type=pdf> [2009, February 15]
- [12] Zou, C. C., Gong, W., and Towsley, D. (2003). Worm Propagation Modeling and Analysis Under Dynamic Quarantine Defense. Proceedings of the 2003 ACM Workshop on Rapid Malcode, pp. 51-60.
- [13] Sekar, V., Xie Y., Reiter M. K., and Zhang, H. (2006). A Multi-Resolution Approach for Worm Detection Containment. Proceedings of the International Conference on Dependable Systems and Networks, pp. 189-198.
- [14] Clegg, R. G., Landa, R., Haddadi, H., Rio, M., and Moore, A. W. (2008). Techniques for flow inversion on sampled data. Computer Communications Workshops, 2008. INFOCOM, pp. 1-6.
- [15] Brauckhoff, D., Tellenbach, B., Wagner, A., May, M., and Lakhina, A. (2006). Impact of packet sampling on anomaly detection metrics. Proceedings of the 6th ACM SIGCOMM Conference on Internet Measurement, pp. 159–164.
- [16] Kawahara, R., Mori, T., Kamiyama, N., Harada, S., and Asano, S. (2007). A Study on Detecting Network Anomalies Using Sampled Flow Statistics. Applications and the Internet Workshops, 2007. SAINT Workshops 2007, pp. 81.
- [17] Cardenas, A. A., Baras J. S., and Ramezani, V. (2004). Distributed Change Detection for Worms, DDoS and other Network Attacks. Proceedings of the 2004 American Control Conference, pp. 1008-1013.
- [18] Phaal, P., Panchen, S., and McKee, N. (2008). InMon Corporation's sFlow: A Method for Monitoring Traffic in Switched and Routed Networks [Online]. Available from: <http://www.isi.edu/in-notes/rfc3176.txt> [2009, February 15]
- [19] Phaal, P., and Panchen, S. (2002). Packet Sampling Basics [Online]. Available from: <http://www.sflow.org/packetSamplingBasics/index.htm> [2009, February 15]
- [20] Six Sigma. (2008). Table of the Standard Normal (z) Distribution [Online]. Available from: <http://www.isixsigma.com/library/content/zdistribution.asp> [2009, February 15]

- [21] Tcpdump. (2008). Tcpdump Manual Page [Online]. Available from: <http://linux.die.net/man/8/tcpdump> [2009, February 15]
- [22] Lincoln Laboratory. (2008). 1999 DARPA Intrusion Detection Evaluation Data Set [Online]. Available from: <http://www.ll.mit.edu/mission/communications/ist/corpora/ideval/data/1999data.html> [2009, February 15]
- [23] Al-Hammadi, Y., and Leckie, C. (2005). Anomaly Detection for Internet Worms. Proceedings of the 9th IFIP/IEEE International Symposium on Integrated Network Management, pp. 126-133.
- [24] Song, G., Sun, Z., and Li, X. (2007). The Research of Association Rules Mining and Application in Intrusion Alerts Analysis. Proceedings of the Second International Conference on Innovative Computing, Informatio and Control, pp. 567-567.
- [25] Mori. T., Uchida, M., Kawahara, R., Pan, J., and Goto, S. (2004). Identifying Elephant Flows through Periodically Sampled Packets. Proceedings of The 4th ACM SIGCOMM Conference on Internet Measurement, pp. 115-120.
- [26] Venkataraman, S., Song, D., Gibbons, P. B., and Blum, A. (2005). New Streaming Algorithm for Fast Detection of Superspreaders. Proceedings of the 12th ISOC Symposium on Network and Distributed Systems Security (SNDSS), pp. 149-166.
- [27] Wireshark. (2009). SampleCaptures [Online]. Available from: <http://wiki.wireshark.org/SampleCaptures> [2009, February 15]
- [28] Lamping, U., Sharp, R., and Warnicke, E. (2006). Wireshark 1.0.6 [Online]. Available from: <http://www.wireshark.org/download.html> [2009, February 15]

ศูนย์วิทยทรัพยากร
จุฬาลงกรณ์มหาวิทยาลัย



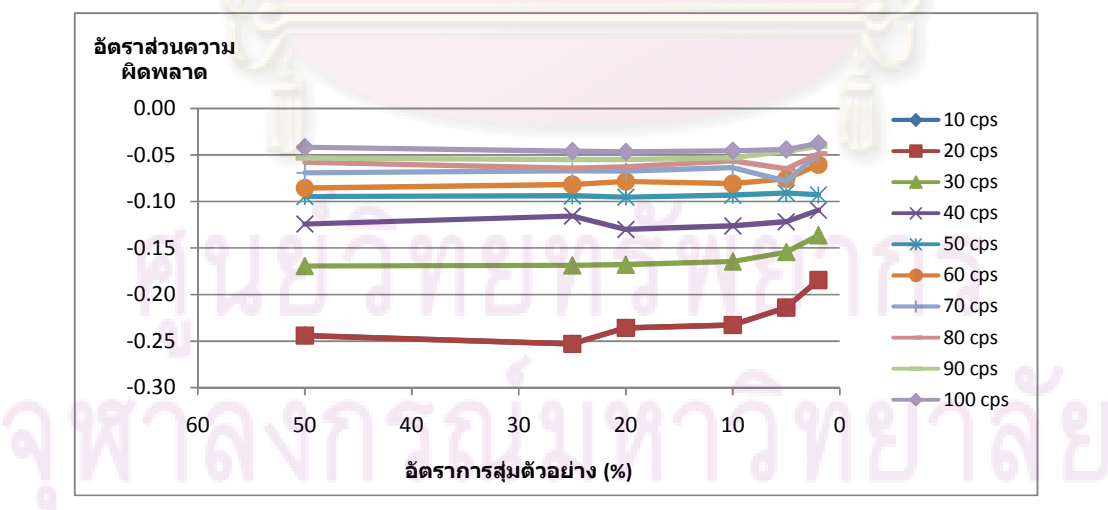
ศูนย์วิทยทรัพยากร จุฬาลงกรณ์มหาวิทยาลัย

ภาคผนวก ก

ผลการทดลองเพิ่มเติม

ตารางที่ ก.1 อัตราส่วนความผิดพลาดจากการทดลองเมื่อสูมตัวอย่างแบบมีชั้นภูมิ กับข้อมูลควบคุมที่หน้าต่าง 30 วินาที

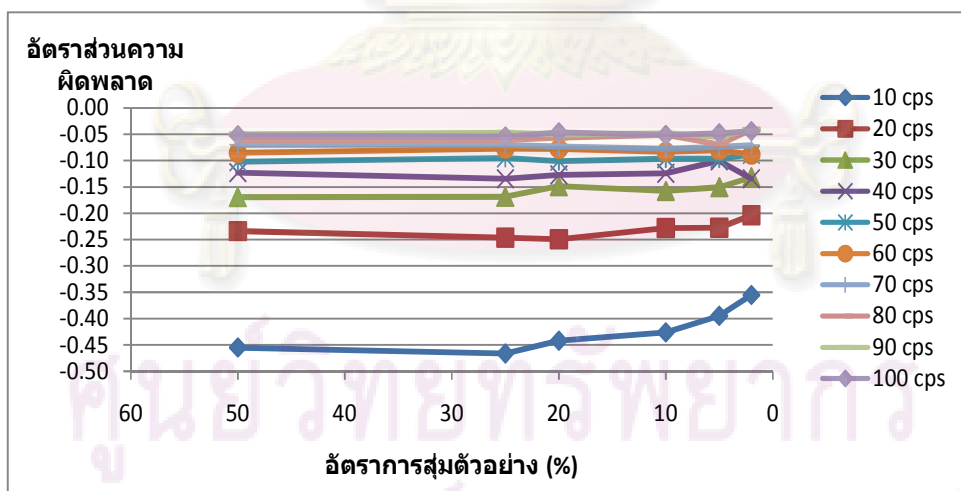
อัตราการ กราดตรวจ(cps)	สูม 50 % (2 เอก 1)	สูม 25 % (4 เอก 1)	สูม 20 % (5 เอก 1)	สูม 10 % (10 เอก 1)	สูม 5 % (20 เอก 1)	สูม 2% (50 เอก 1)
10	-0.47	-0.43	-0.45	-0.41	-0.38	-0.31
20	-0.24	-0.25	-0.24	-0.23	-0.21	-0.18
30	-0.17	-0.17	-0.17	-0.16	-0.15	-0.14
40	-0.12	-0.12	-0.13	-0.13	-0.12	-0.11
50	-0.09	-0.09	-0.10	-0.09	-0.09	-0.09
60	-0.09	-0.08	-0.08	-0.08	-0.08	-0.06
70	-0.07	-0.07	-0.07	-0.06	-0.08	-0.05
80	-0.06	-0.06	-0.06	-0.06	-0.06	-0.05
90	-0.05	-0.05	-0.05	-0.05	-0.05	-0.04
100	-0.04	-0.05	-0.05	-0.05	-0.04	-0.04



รูปที่ ก.1 อัตราส่วนความผิดพลาดจากการทดลองเมื่อสุ่มตัวอย่างแบบมีชั้นภูมิ กับข้อมูลควบคุมที่หน้าต่าง 30 วินาที

ตารางที่ ก.2 อัตราส่วนความผิดพลาดจากการทดลองเมื่อสูมตัวอย่างแบบมีชั้นภูมิ กับข้อมูลควบคุมที่หน้าต่าง 50 วินาที

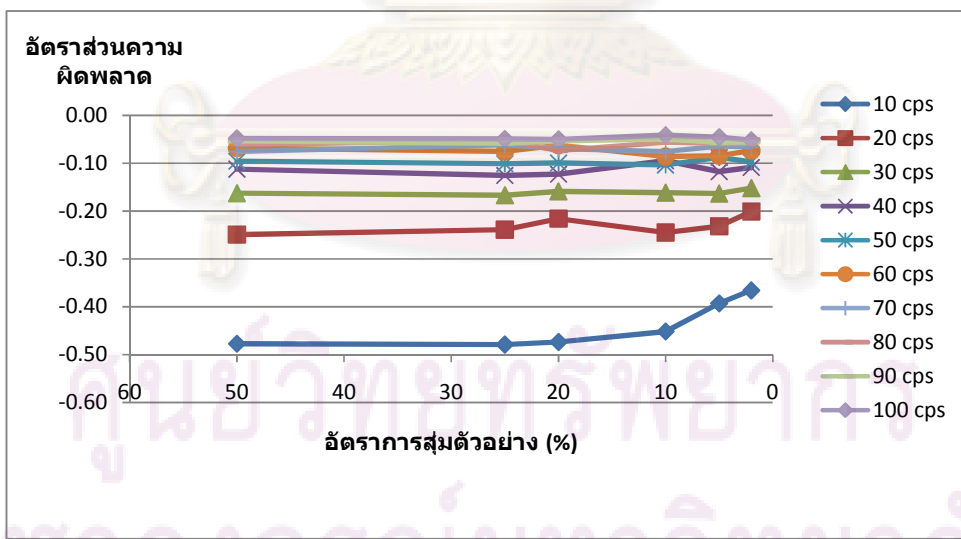
อัตราการ กราตตรวจ (cps)	สูม 50 % (2 เอก 1)	สูม 25 % (4 เอก 1)	สูม 20 % (5 เอก 1)	สูม 10 % (10 เอก 1)	สูม 5 % (20 เอก 1)	สูม 2% (50 เอก 1)	สูม 1% (100 เอก 1)
10	-0.45	-0.47	-0.44	-0.43	-0.39	-0.36	-0.30
20	-0.23	-0.25	-0.25	-0.23	-0.23	-0.20	-0.16
30	-0.17	-0.17	-0.15	-0.16	-0.15	-0.13	-0.13
40	-0.12	-0.13	-0.13	-0.12	-0.10	-0.13	-0.08
50	-0.10	-0.09	-0.10	-0.10	-0.10	-0.09	-0.09
60	-0.09	-0.08	-0.08	-0.08	-0.08	-0.09	-0.04
70	-0.07	-0.07	-0.07	-0.08	-0.07	-0.07	-0.05
80	-0.06	-0.06	-0.06	-0.05	-0.07	-0.04	-0.06
90	-0.05	-0.05	-0.05	-0.05	-0.05	-0.04	-0.05
100	-0.05	-0.05	-0.05	-0.05	-0.05	-0.04	-0.05



รูปที่ ก.2 อัตราส่วนความผิดพลาดจากการทดลองเมื่อสูมตัวอย่างแบบมีชั้นภูมิ กับข้อมูลควบคุมที่หน้าต่าง 50 วินาที

ตารางที่ ก.3 อัตราส่วนความผิดพลาดจากการทดลองเมื่อสูมตัวอย่างแบบมีชั้นภูมิ กับข้อมูลควบคุมที่หน้าต่าง 70 วินาที

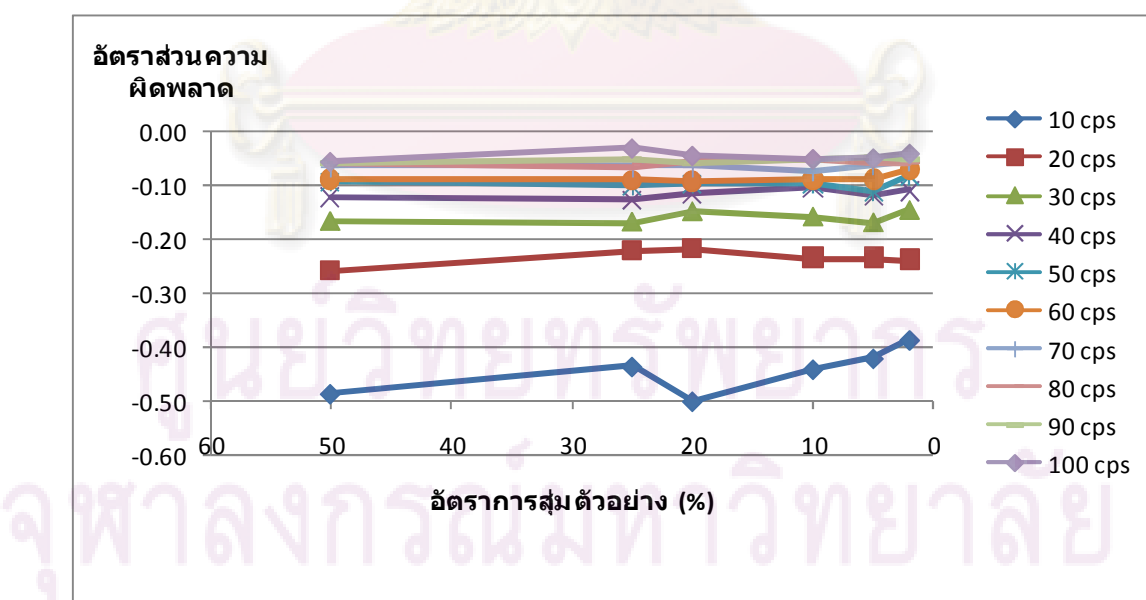
อัตราการ กราตตรวจ (cps)	สูม 50 % (2 เอก 1)	สูม 25 % (4 เอก 1)	สูม 20 % (5 เอก 1)	สูม 10 % (10 เอก 1)	สูม 5 % (20 เอก 1)	สูม 2% (50 เอก 1)	สูม 1% (100 เอก 1)
10	-0.48	-0.48	-0.47	-0.45	-0.39	-0.37	-0.31
20	-0.25	-0.24	-0.22	-0.24	-0.23	-0.20	-0.21
30	-0.16	-0.17	-0.16	-0.16	-0.16	-0.15	-0.12
40	-0.11	-0.13	-0.12	-0.09	-0.12	-0.11	-0.10
50	-0.10	-0.10	-0.10	-0.10	-0.09	-0.10	-0.08
60	-0.07	-0.08	-0.06	-0.09	-0.08	-0.07	-0.06
70	-0.08	-0.06	-0.07	-0.08	-0.06	-0.07	-0.07
80	-0.06	-0.05	-0.07	-0.06	-0.06	-0.05	-0.05
90	-0.05	-0.06	-0.05	-0.05	-0.06	-0.06	-0.05
100	-0.05	-0.05	-0.05	-0.04	-0.05	-0.05	-0.03



รูปที่ ก.3 อัตราส่วนความผิดพลาดจากการทดลองเมื่อสูมตัวอย่างแบบมีชั้นภูมิ กับข้อมูลควบคุมที่หน้าต่าง 70 วินาที

ตารางที่ ก.4 อัตราส่วนความผิดพลาดจากการทดลองเมื่อสูมตัวอย่างแบบมีชั้นภูมิ กับข้อมูลควบคุมที่หน้าต่าง 100 วินาที

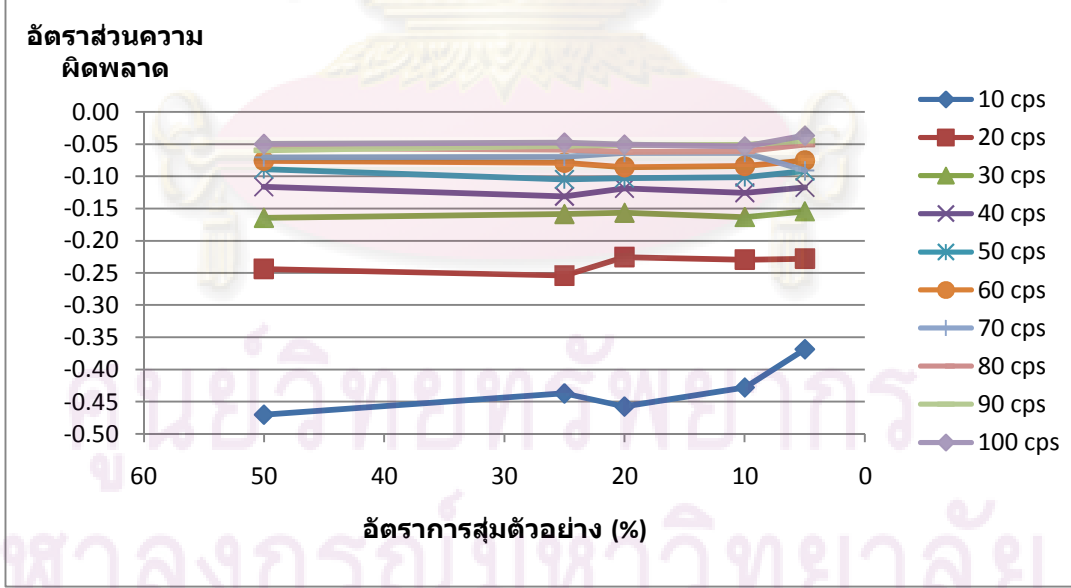
อัตราการ กราดตรวจ (cps)	สูม 50 % (2 เอก 1)	สูม 25 % (4 เอก 1)	สูม 20 % (5 เอก 1)	สูม 10 % (10 เอก 1)	สูม 5 % (20 เอก 1)	สูม 2% (50 เอก 1)	สูม 1% (100 เอก 1)
10	-0.49	-0.44	-0.50	-0.44	-0.42	-0.39	-0.34
20	-0.26	-0.22	-0.22	-0.23	-0.23	-0.24	-0.20
30	-0.17	-0.17	-0.15	-0.16	-0.17	-0.15	-0.17
40	-0.12	-0.13	-0.11	-0.10	-0.12	-0.11	-0.13
50	-0.09	-0.10	-0.10	-0.10	-0.11	-0.08	-0.09
60	-0.09	-0.09	-0.09	-0.09	-0.09	-0.07	-0.06
70	-0.06	-0.06	-0.06	-0.07	-0.06	-0.06	-0.03
80	-0.06	-0.06	-0.05	-0.05	-0.06	-0.06	-0.05
90	-0.06	-0.05	-0.06	-0.05	-0.05	-0.05	-0.08
100	-0.06	-0.03	-0.04	-0.05	-0.05	-0.04	-0.05



รูปที่ ก.4 อัตราส่วนความผิดพลาดจากการทดลองเมื่อสูมตัวอย่างแบบมีชั้นภูมิ กับข้อมูลควบคุมที่หน้าต่าง 100 วินาที

ตารางที่ ก.5 อัตราส่วนความผิดพลาดจากการทดลองเมื่อสูงตัวอย่างการเชื่อมต่อ
กับข้อมูลควบคุมที่หน้าต่าง 30 วินาที

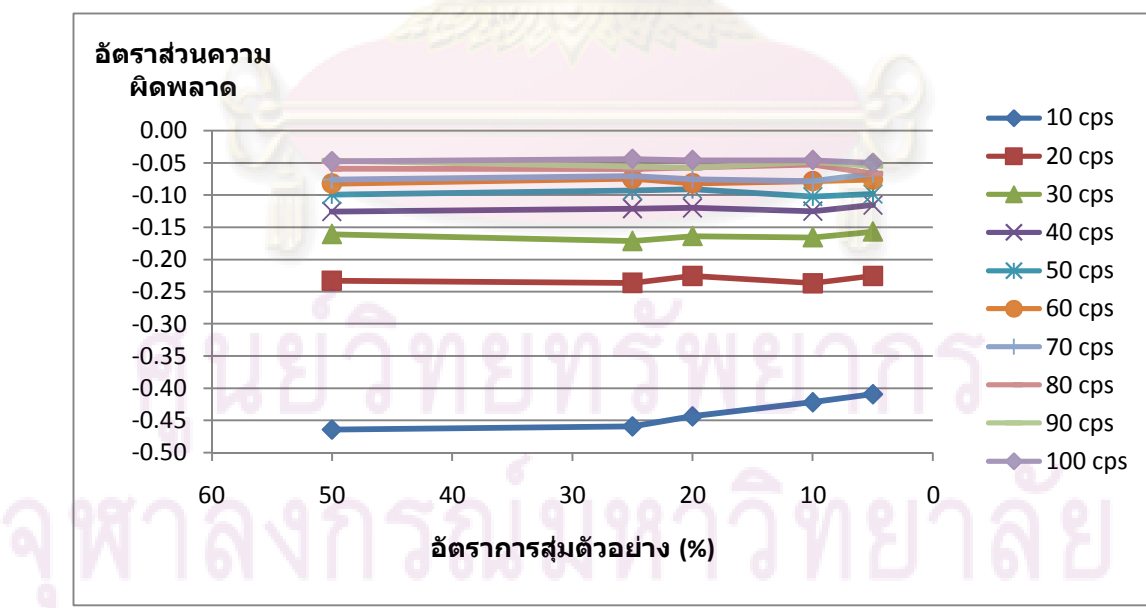
อัตราการ การตรวจ(cps)	สูง 50 % (2 เอก 1)	สูง 25 % (4 เอก 1)	สูง 20 % (5 เอก 1)	สูง 10 % (10 เอก 1)	สูง 5 % (20 เอก 1)	สูง 2% (50 เอก 1)
10	-0.47	-0.44	-0.46	-0.43	-0.37	-0.32
20	-0.24	-0.25	-0.23	-0.23	-0.23	-0.19
30	-0.16	-0.16	-0.16	-0.16	-0.15	-0.14
40	-0.12	-0.13	-0.12	-0.13	-0.12	-0.10
50	-0.09	-0.10	-0.10	-0.10	-0.09	-0.08
60	-0.08	-0.08	-0.09	-0.08	-0.08	-0.07
70	-0.07	-0.07	-0.06	-0.06	-0.09	-0.06
80	-0.06	-0.06	-0.06	-0.06	-0.05	-0.05
90	-0.06	-0.05	-0.05	-0.05	-0.04	-0.05
100	-0.05	-0.05	-0.05	-0.05	-0.04	-0.05



รูปที่ ก.5 อัตราส่วนความผิดพลาดจากการทดลองเมื่อสูงตัวอย่างการเชื่อมต่อ
กับข้อมูลควบคุมที่หน้าต่าง 30 วินาที

ตารางที่ ก.6 อัตราส่วนความผิดพลาดจากการทดลองเมื่อสูงตัวอย่างการเชื่อม
ต่อกับข้อมูลควบคุมที่หน้าต่าง 50 วินาที

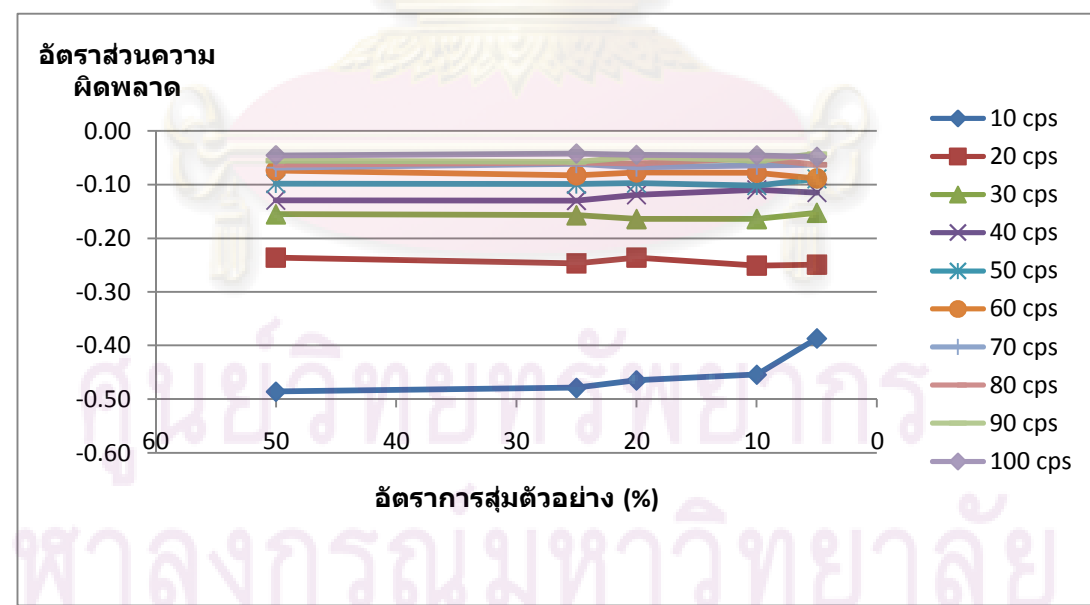
อัตราการ กวาราจ (cps)	สูง 50 % (2 เท่า 1)	สูง 25 % (4 เท่า 1)	สูง 20 % (5 เท่า 1)	สูง 10 % (10 เท่า 1)	สูง 5 % (20 เท่า 1)	สูง 2% (50 เท่า 1)	สูง 1% (100 เท่า 1)
10	-0.46	-0.46	-0.44	-0.42	-0.41	-0.37	-0.31
20	-0.23	-0.24	-0.23	-0.24	-0.23	-0.22	-0.20
30	-0.16	-0.17	-0.16	-0.17	-0.16	-0.15	-0.15
40	-0.13	-0.12	-0.12	-0.12	-0.12	-0.11	-0.10
50	-0.10	-0.09	-0.09	-0.10	-0.10	-0.10	-0.07
60	-0.08	-0.07	-0.08	-0.08	-0.08	-0.07	-0.07
70	-0.08	-0.07	-0.08	-0.08	-0.07	-0.05	-0.05
80	-0.06	-0.06	-0.06	-0.05	-0.07	-0.06	-0.04
90	-0.05	-0.06	-0.06	-0.05	-0.05	-0.05	-0.04
100	-0.05	-0.04	-0.05	-0.05	-0.05	-0.05	-0.04



รูปที่ ก.6 อัตราส่วนความผิดพลาดจากการทดลองเมื่อสูงตัวอย่างการเชื่อมต่อ
กับข้อมูลควบคุมที่หน้าต่าง 50 วินาที

ตารางที่ ก.7 อัตราส่วนความผิดพลาดจากการทดลองเมื่อสูงตัวอย่างการเชื่อมต่อ กับข้อมูลควบคุมที่หน้าต่าง 70 วินาที

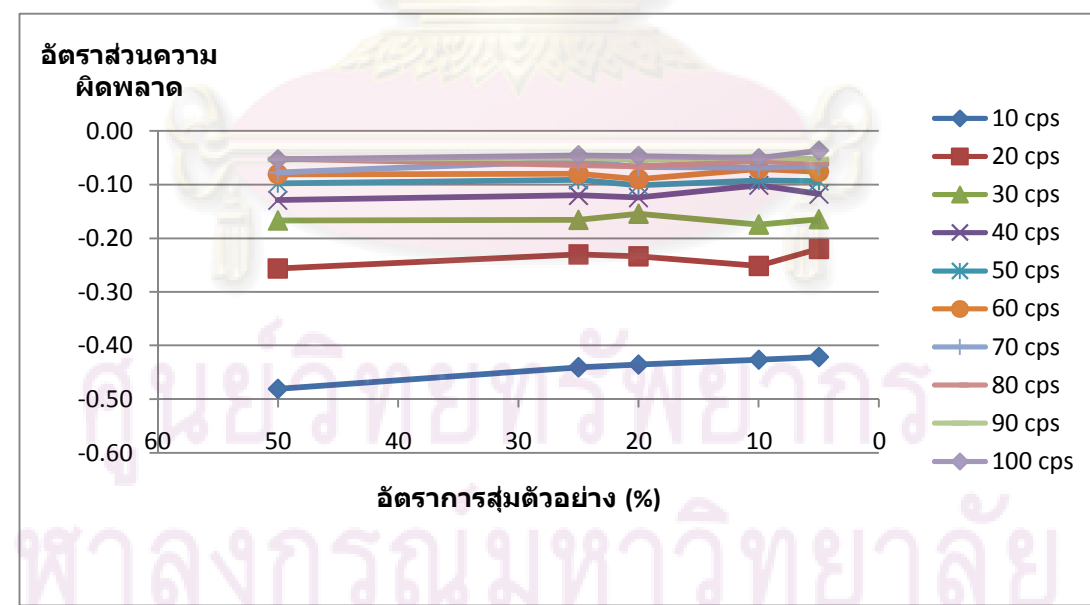
อัตราการ กราดตรวจ (cps)	สูง 50 % (2 เอก 1)	สูง 25 % (4 เอก 1)	สูง 20 % (5 เอก 1)	สูง 10 % (10 เอก 1)	สูง 5 % (20 เอก 1)	สูง 2 % (50 เอก 1)	สูง 1 % (100 เอก 1)
10	-0.49	-0.48	-0.46	-0.45	-0.39	-0.36	-0.31
20	-0.24	-0.25	-0.24	-0.25	-0.25	-0.22	-0.22
30	-0.16	-0.16	-0.16	-0.16	-0.15	-0.16	-0.12
40	-0.13	-0.13	-0.12	-0.11	-0.11	-0.12	-0.11
50	-0.10	-0.10	-0.10	-0.10	-0.09	-0.09	-0.08
60	-0.07	-0.08	-0.08	-0.08	-0.09	-0.08	-0.05
70	-0.07	-0.06	-0.07	-0.06	-0.06	-0.06	-0.06
80	-0.06	-0.06	-0.06	-0.05	-0.06	-0.04	-0.05
90	-0.06	-0.06	-0.05	-0.06	-0.04	-0.05	-0.06
100	-0.05	-0.04	-0.04	-0.05	-0.05	-0.05	-0.04



รูปที่ ก.7 อัตราส่วนความผิดพลาดจากการทดลองเมื่อสูงตัวอย่างการเชื่อมต่อ กับข้อมูลควบคุมที่หน้าต่าง 70 วินาที

ตารางที่ ก.8 อัตราส่วนความผิดพลาดจากการทดลองเมื่อสูงตัวอย่างการเชื่อมต่อ
กับข้อมูลควบคุมที่หน้าต่าง 100 วินาที

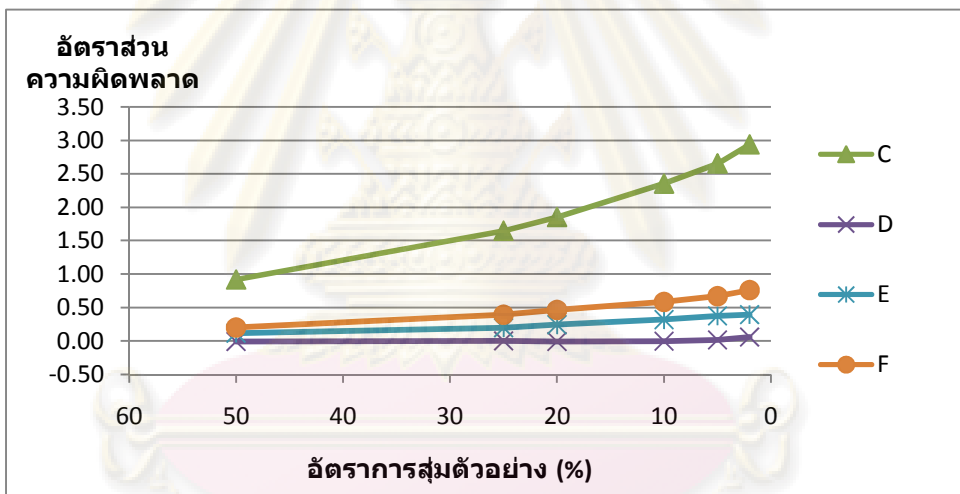
อัตราการ กราตตรวจ (cps)	สูง 50 % (2 เอก 1)	สูง 25 % (4 เอก 1)	สูง 20 % (5 เอก 1)	สูง 10 % (10 เอก 1)	สูง 5 % (20 เอก 1)	สูง 2 % (50 เอก 1)	สูง 1 % (100 เอก 1)
10	-0.48	-0.44	-0.44	-0.43	-0.42	-0.39	-0.35
20	-0.26	-0.23	-0.23	-0.25	-0.22	-0.25	-0.22
30	-0.17	-0.17	-0.15	-0.17	-0.16	-0.15	-0.14
40	-0.13	-0.12	-0.12	-0.10	-0.12	-0.11	-0.09
50	-0.10	-0.09	-0.10	-0.09	-0.09	-0.09	-0.07
60	-0.08	-0.08	-0.09	-0.07	-0.08	-0.09	-0.05
70	-0.08	-0.06	-0.07	-0.07	-0.07	-0.05	-0.06
80	-0.05	-0.06	-0.07	-0.06	-0.06	-0.05	-0.07
90	-0.05	-0.05	-0.05	-0.05	-0.05	-0.05	-0.06
100	-0.05	-0.05	-0.05	-0.05	-0.04	-0.03	-0.04



รูปที่ ก.8 อัตราส่วนความผิดพลาดจากการทดลองเมื่อสูงตัวอย่างการเชื่อมต่อ
กับข้อมูลควบคุมที่หน้าต่าง 100 วินาที

ตารางที่ ก.9 อัตราส่วนความผิดพลาดจากการทดลองเมื่อสูงตัวอย่างแบบมีชั้นภูมิ กับข้อมูลจริงที่หน้าต่าง 30 วินาที

หมายเลข ไอพี	อัตราการ กราดตรวจ (cps)	สูง 50 % (2 เค้า 1)	สูง 25 % (4 เค้า 1)	สูง 20 % (5 เค้า 1)	สูง 10 % (10 เค้า 1)	สูง 5 % (20 เค้า 1)	สูง 2% (50 เค้า 1)
C	31.74	0.92	1.65	1.85	2.35	2.65	2.94
D	54.17	0.12	0.20	0.24	0.32	0.37	0.39
E	56.59	0.20	0.40	0.47	0.59	0.67	0.76
F	72.67	-0.01	0.00	-0.01	0.00	0.02	0.06



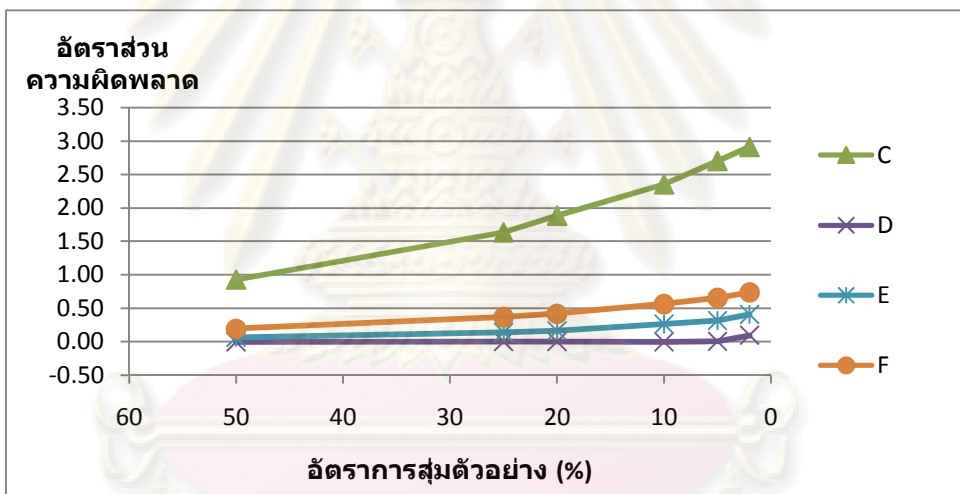
อุปที่ ก.9 อัตราส่วนความผิดพลาดจากการทดลองเมื่อสูงตัวอย่างแบบมีชั้นภูมิ

กับข้อมูลจริงที่หน้าต่าง 30 วินาที

ศูนย์วิทยทรพยากร
จุฬาลงกรณ์มหาวิทยาลัย

ตารางที่ ก.10 อัตราส่วนความผิดพลาดจากการทดลองเมื่อสูมตัวอย่างแบบมีชั้นภูมิ กับข้อมูลจริงที่หน้าต่าง 50 วินาที

หมายเลข ไอดี	อัตราการ กราดตรวจ (cps)	สูม 50 % (2 เอก 1)	สูม 25 % (4 เอก 1)	สูม 20 % (5 เอก 1)	สูม 10 % (10 เอก 1)	สูม 5 % (20 เอก 1)	สูม 2% (50 เอก 1)	สูม 1% (100 เอก 1)
C	29.62	0.93	1.64	1.88	2.35	2.70	2.91	3.03
D	61.81	0.00	0.00	0.00	0.00	0.00	0.09	0.21
E	74.90	0.06	0.14	0.17	0.26	0.32	0.41	0.40
F	72.94	0.19	0.37	0.42	0.56	0.65	0.74	0.77



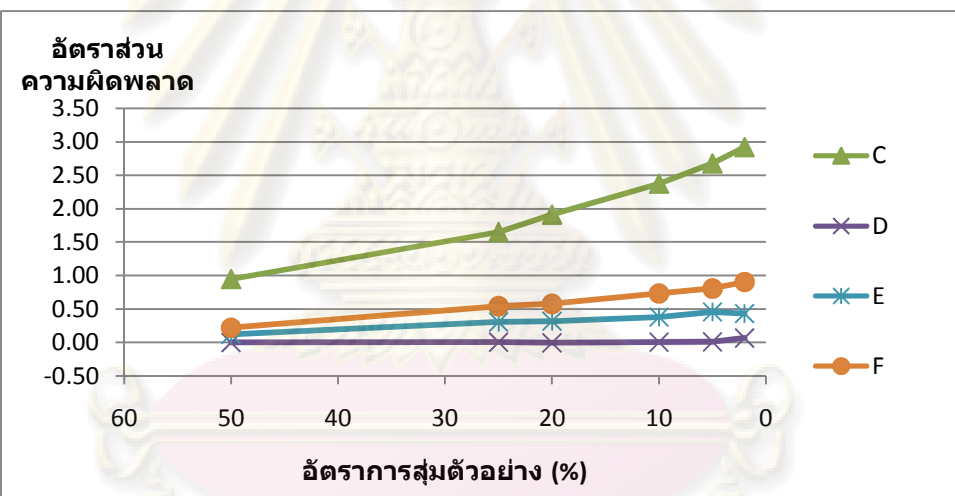
รูปที่ ก.10 อัตราส่วนความผิดพลาดจากการทดลองเมื่อสุ่มตัวอย่างแบบมีชั้นภูมิ

กับข้อมูลจริงที่หน้าต่าง 50 วินาที

ศูนย์วิทยทรพยากร
จุฬาลงกรณ์มหาวิทยาลัย

ตารางที่ ก.11 อัตราส่วนความผิดพลาดจากการทดลองเมื่อสูงตัวอย่างแบบมีชั้นภูมิ กับข้อมูลจริงที่หน้าต่าง 70 วินาที

หมายเลข ไอดี	อัตราการ กราดตรวจ (cps)	สูง 50 % (2 เอก 1)	สูง 25 % (4 เอก 1)	สูง 20 % (5 เอก 1)	สูง 10 % (10 เอก 1)	สูง 5 % (20 เอก 1)	สูง 2% (50 เอก 1)	สูง 1% (100 เอก 1)
C	28.52	0.95	1.65	1.91	2.38	2.68	2.92	3.06
D	59.47	0.00	0.01	-0.01	0.01	0.01	0.07	0.11
E	57.30	0.12	0.30	0.32	0.38	0.45	0.43	0.50
F	56.48	0.22	0.54	0.58	0.73	0.81	0.90	0.98

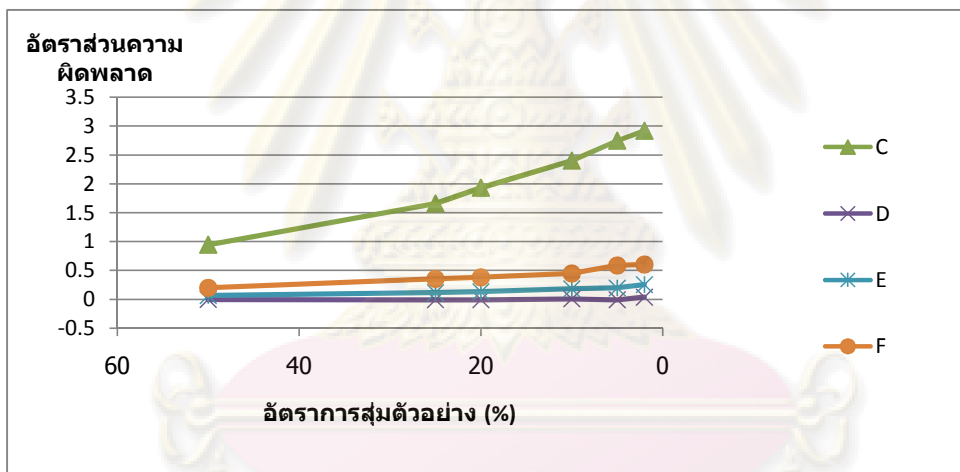


รูปที่ ก.11 อัตราส่วนความผิดพลาดจากการทดลองเมื่อสูงตัวอย่างแบบมีชั้นภูมิ กับข้อมูลจริงที่หน้าต่าง 70 วินาที

**ศูนย์วิทยทรพยากร
จุฬาลงกรณ์มหาวิทยาลัย**

ตารางที่ ก.12 อัตราส่วนความผิดพลาดจากการทดลองเมื่อสูมตัวอย่างแบบมีชั้นภูมิ กับข้อมูลจริงที่หน้าต่าง 100 วินาที

หมายเลข ไอพี	อัตราการ กราดตรวจ (cps)	สูม 50 % (2 เอก 1)	สูม 25 % (4 เอก 1)	สูม 20 % (5 เอก 1)	สูม 10 % (10 เอก 1)	สูม 5 % (20 เอก 1)	สูม 2% (50 เอก 1)	สูม 1% (100 เอก 1)
C	27.78	0.94	1.66	1.93	2.40	2.74	2.92	3.06
D	52.40	0.00	-0.01	-0.01	0.01	-0.01	0.04	0.16
E	40.11	0.07	0.12	0.13	0.18	0.20	0.26	0.28
F	39.58	0.20	0.35	0.38	0.45	0.59	0.60	0.72

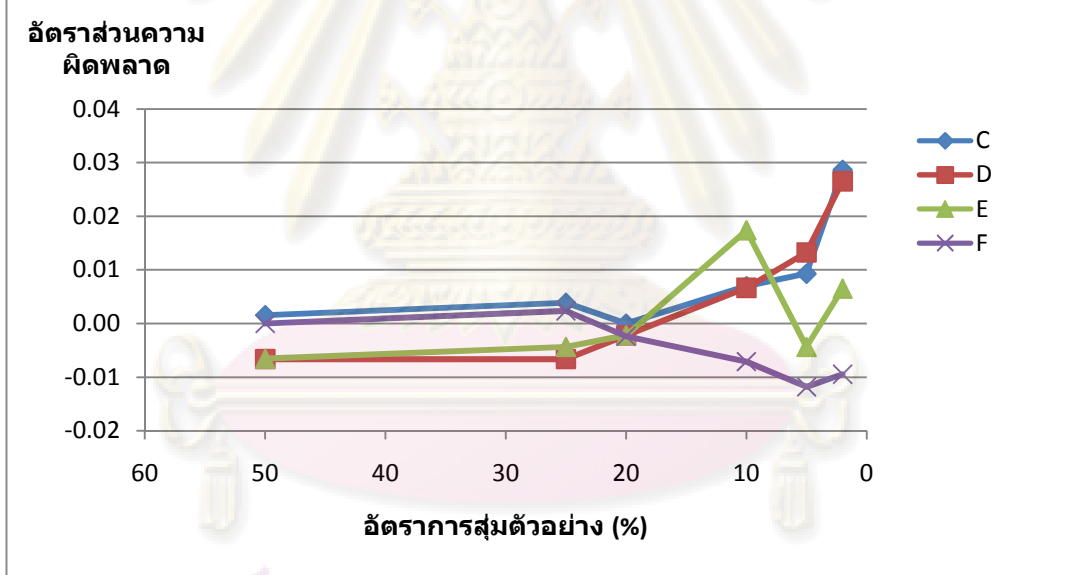


รูปที่ ก.12 อัตราส่วนความผิดพลาดจากการทดลองเมื่อสูมตัวอย่างแบบมีชั้นภูมิ

ศูนย์วิทยาศาสตร์และเทคโนโลยี
จุฬาลงกรณ์มหาวิทยาลัย

ตารางที่ ก.13 อัตราส่วนความผิดพลาดจากการทดลองเมื่อสูมตัวอย่างการเชื่อมต่อ กับข้อมูลจริงที่หน้าต่าง 30 วินาที

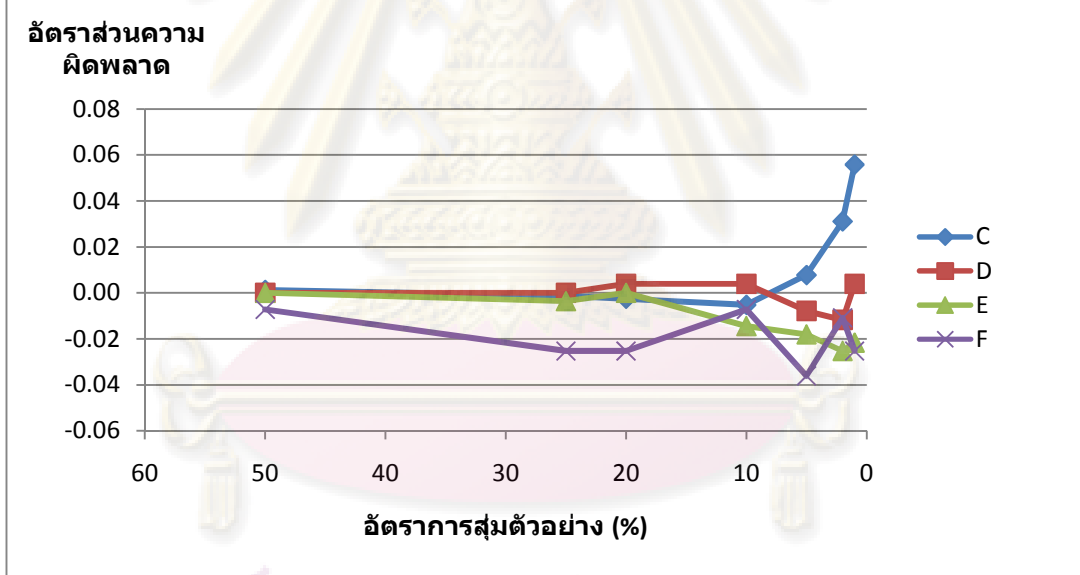
หมายเลข ไอพี	อัตราการ กราดตรวจ (cps)	สูม 50 % (2 เค้า 1)	สูม 25 % (4 เค้า 1)	สูม 20 % (5 เค้า 1)	สูม 10 % (10 เค้า 1)	สูม 5 % (20 เค้า 1)	สูม 2% (50 เค้า 1)
C	ตัวอย่าง 0.00	0.00	0.00	0.00	0.01	0.01	0.03
D	72.67	-0.01	-0.01	0.00	0.01	0.01	0.03
E	54.17	-0.01	0.00	0.00	0.02	0.00	0.01
F	56.59	0.00	0.00	0.00	0.01	0.01	0.03



รูปที่ ก.13 อัตราส่วนความผิดพลาดจากการทดลองเมื่อสูมตัวอย่างการเชื่อมต่อ กับข้อมูลจริงที่หน้าต่าง 30 วินาที

ตารางที่ ก.14 อัตราส่วนความผิดพลาดจากการทดลองเมื่อสูงตัวอย่างการเชื่อมต่อ กับข้อมูลจริงที่หน้าต่าง 50 วินาที

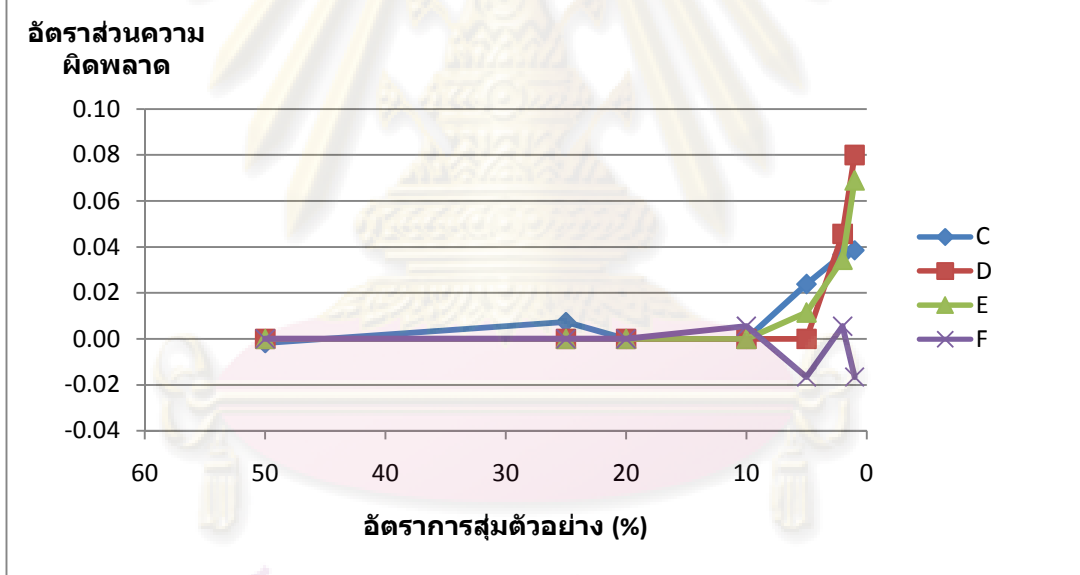
หมายเลข ไอดี	อัตราการ กราดตรวจ (cps)	สูง 50 % (2 เอก 1)	สูง 25 % (4 เอก 1)	สูง 20 % (5 เอก 1)	สูง 10 % (10 เอก 1)	สูง 5 % (20 เอก 1)	สูง 2% (50 เอก 1)	สูง 1% (100 เอก 1)
C	29.62	0.00	0.00	0.00	-0.01	0.01	0.03	0.06
D	61.81	0.00	0.00	0.00	0.00	-0.01	-0.01	0.00
E	74.90	0.00	0.00	0.00	-0.01	-0.02	-0.03	-0.02
F	72.94	-0.01	-0.03	-0.03	-0.01	-0.04	-0.01	-0.03



รูปที่ ก.14 อัตราส่วนความผิดพลาดจากการทดลองเมื่อสูงตัวอย่างการเชื่อมต่อ กับข้อมูลจริงที่หน้าต่าง 50 วินาที

ตารางที่ ก.15 อัตราส่วนความผิดพลาดจากการทดลองเมื่อสูงตัวอย่างการเชื่อมต่อ กับข้อมูลจริงที่หน้าต่าง 70 วินาที

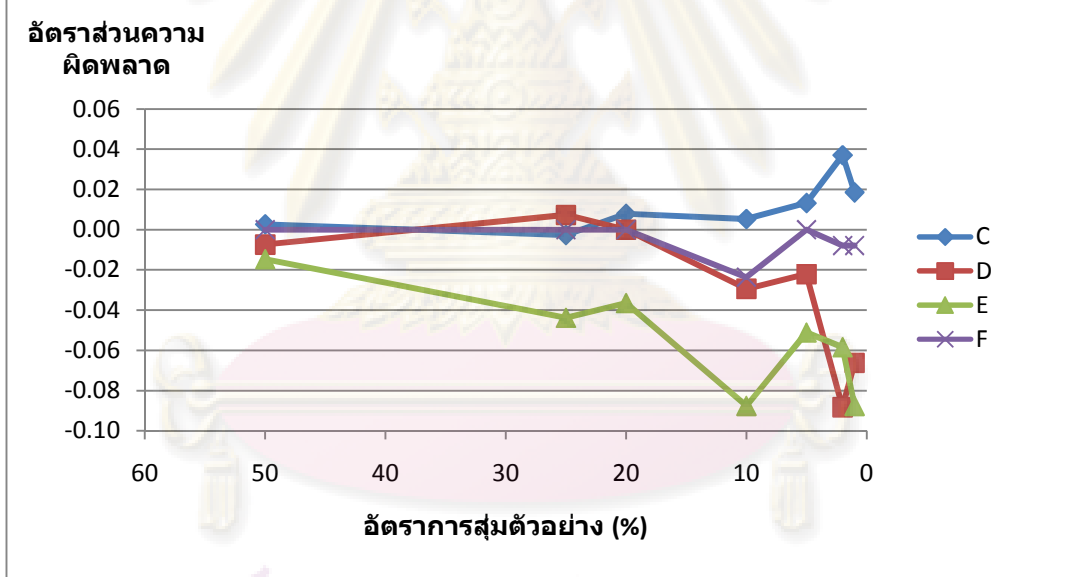
หมายเลข ไอดี	อัตราการ กราดตรวจ (cps)	สูง 50 % (2 เอก 1)	สูง 25 % (4 เอก 1)	สูง 20 % (5 เอก 1)	สูง 10 % (10 เอก 1)	สูง 5 % (20 เอก 1)	สูง 2% (50 เอก 1)	สูง 1% (100 เอก 1)
C	28.52	0.00	0.01	0.00	0.00	0.02	0.04	0.04
D	59.47	0.00	0.00	0.00	0.00	0.00	0.05	0.08
E	57.30	0.00	0.00	0.00	0.00	0.01	0.03	0.07
F	56.48	0.00	0.00	0.00	0.01	-0.02	0.01	-0.02



รูปที่ ก.15 อัตราส่วนความผิดพลาดจากการทดลองเมื่อสูงตัวอย่างการเชื่อมต่อ กับข้อมูลจริงที่หน้าต่าง 70 วินาที

ตารางที่ ก.16 อัตราส่วนความผิดพลาดจากการทดลองเมื่อสูงตัวอย่างการเชื่อมต่อ
กับข้อมูลจริงที่หน้าต่าง 100 วินาที

หมายเลข ไอดี	อัตราการ กราดตรวจ (cps)	สูง 50 % (2 เอก 1)	สูง 25 % (4 เอก 1)	สูง 20 % (5 เอก 1)	สูง 10 % (10 เอก 1)	สูง 5 % (20 เอก 1)	สูง 2% (50 เอก 1)	สูง 1% (100 เอก 1)
C	27.78	0.00	0.00	0.00	0.01	0.01	0.01	0.04
D	52.40	0.00	-0.01	0.01	0.00	-0.03	-0.02	-0.09
E	40.11	0.00	-0.01	-0.04	-0.04	-0.09	-0.05	-0.06
F	39.58	0.00	0.00	0.00	0.00	-0.02	0.00	-0.01



รูปที่ ก.16 อัตราส่วนความผิดพลาดจากการทดลองเมื่อสูงตัวอย่างการเชื่อมต่อ
กับข้อมูลจริงที่หน้าต่าง 100 วินาที

ตารางที่ ก.17 ผลการคำนวณอัตราส่วนความผิดพลาด เมื่อสูมตัวอย่างกับข้อมูลควบคุมที่หน้าต่าง 30 วินาที

อัตราการ กราตราจ(cps)	สูง 50 % (2 เอก 1)	สูง 25 % (4 เอก 1)	สูง 20 % (5 เอก 1)	สูง 10 % (10 เอก 1)	สูง 5 % (20 เอก 1)	สูง 2% (50 เอก 1)
10	-0.47	-0.45	-0.45	-0.43	-0.40	-0.32
20	-0.24	-0.23	-0.23	-0.22	-0.21	-0.17
30	-0.16	-0.16	-0.16	-0.15	-0.14	-0.11
40	-0.12	-0.12	-0.12	-0.12	-0.11	-0.08
50	-0.10	-0.10	-0.10	-0.09	-0.09	-0.07
60	-0.08	-0.08	-0.08	-0.08	-0.07	-0.06
70	-0.07	-0.07	-0.07	-0.07	-0.06	-0.05
80	-0.06	-0.06	-0.06	-0.06	-0.05	-0.04
90	-0.05	-0.05	-0.05	-0.05	-0.05	-0.04
100	-0.05	-0.05	-0.05	-0.05	-0.04	-0.03

ตารางที่ ก.18 ผลการคำนวณอัตราส่วนความผิดพลาด เมื่อสูงตัวอย่างกับข้อมูลควบคุมที่หน้าต่าง 50 วินาที

ตารางที่ ก.19 ผลการคำนวณข้อตัวส่วนความผิดพลาด เมื่อสูมตัวอย่างกับข้อมูลควบคุมที่หน้าต่าง 70 วินาที

ตารางที่ ก.20 ผลการคำนวณอัตราส่วนความผิดพลาด เมื่อสูมตัวอย่างกับข้อมูลควบคุมที่หน้าต่าง 100 วินาที

ตารางที่ ก.21 ผลการคำนวณอัตราส่วนความผิดพลาด
เมื่อสูงตัวอย่างกับข้อมูลจริงที่หน้าต่าง 30 วินาที

หมายเลข ไอดี	อัตราการ กราดตรวจ (cps)	สูง 50 % (2 เอก 1)	สูง 25 % (4 เอก 1)	สูง 20 % (5 เอก 1)	สูง 10 % (10 เอก 1)	สูง 5 % (20 เอก 1)	สูง 2% (50 เอก 1)
C	31.74	-0.09	-0.11	-0.12	-0.14	-0.13	-0.11
D	54.17	-0.08	-0.08	-0.09	-0.09	-0.08	-0.06
E	56.59	-0.11	-0.10	-0.09	-0.08	-0.08	-0.06
F	72.67	-0.05	-0.06	-0.06	-0.06	-0.06	-0.05

ตารางที่ ก.22 ผลการคำนวณอัตราส่วนความผิดพลาด
เมื่อสูงตัวอย่างกับข้อมูลจริงที่หน้าต่าง 50 วินาที

หมายเลข ไอดี	อัตราการ กราดตรวจ (cps)	สูง 50 % (2 เอก 1)	สูง 25 % (4 เอก 1)	สูง 20 % (5 เอก 1)	สูง 10 % (10 เอก 1)	สูง 5 % (20 เอก 1)	สูง 2% (50 เอก 1)	สูง 1% (100 เอก 1)
C	29.62	-0.20	-0.18	-0.18	-0.17	-0.16	-0.13	-0.10
D	61.81	-0.05	-0.06	-0.06	-0.07	-0.07	-0.06	-0.05
E	74.90	-0.07	-0.07	-0.07	-0.06	-0.06	-0.05	-0.04
F	72.94	-0.05	-0.05	-0.06	-0.06	-0.06	-0.05	-0.04

**ศูนย์วิทยทรัพยากร
จุฬาลงกรณ์มหาวิทยาลัย**

ตารางที่ ก.23 ผลการคำนวณอัตราส่วนความผิดพลาด
เมื่อสูมตัวอย่างกับข้อมูลจริงที่หน้าต่าง 70 วินาที

หมายเลข ไอดี	อัตราการ กราดตรวจ (cps)	สูม 50 % (2 เอก 1)	สูม 25 % (4 เอก 1)	สูม 20 % (5 เอก 1)	สูม 10 % (10 เอก 1)	สูม 5 % (20 เอก 1)	สูม 2% (50 เอก 1)	สูม 1% (100 เอก 1)
C	28.52	-0.28	-0.25	-0.24	-0.21	-0.18	-0.15	-0.13
D	59.47	-0.10	-0.09	-0.09	-0.08	-0.08	-0.07	-0.06
E	57.30	-0.12	-0.11	-0.11	-0.10	-0.08	-0.07	-0.06
F	56.48	-0.11	-0.11	-0.11	-0.10	-0.09	-0.08	-0.06

ตารางที่ ก.24 ผลการคำนวณอัตราส่วนความผิดพลาด
เมื่อสูมตัวอย่างกับข้อมูลจริงที่หน้าต่าง 100 วินาที

หมายเลข ไอดี	อัตราการ กราดตรวจ (cps)	สูม 50 % (2 เอก 1)	สูม 25 % (4 เอก 1)	สูม 20 % (5 เอก 1)	สูม 10 % (10 เอก 1)	สูม 5 % (20 เอก 1)	สูม 2% (50 เอก 1)	สูม 1% (100 เอก 1)
C	27.78	-0.28	-0.27	-0.27	-0.24	-0.21	-0.17	-0.14
D	52.40	-0.05	-0.05	-0.06	-0.07	-0.08	-0.09	-0.08
E	40.11	-0.11	-0.12	-0.12	-0.12	-0.12	-0.11	-0.10
F	39.58	-0.16	-0.15	-0.14	-0.13	-0.12	-0.11	-0.10

ศูนย์วิทยทรัพยากร
จุฬาลงกรณ์มหาวิทยาลัย

ภาคผนวก ข

การสร้างข้อมูลควบคุม

วิธีการสร้างข้อมูลควบคุมมี 7 ขั้นตอนแสดงดังรูปที่ ข.1 โดยมีรายละเอียดของขั้นตอน การสร้างดังนี้



รูปที่ ข.1 วิธีการสร้างข้อมูลควบคุม

- สร้างเครือข่ายสำหรับแลกร่วมกับจ่ายหนอน โดยเป็นเครือข่ายปิด (ไม่เชื่อมต่อกับเครือข่ายอื่นๆ) และเริ่มการทำงานของหนอน ดังรูปที่ ข.2

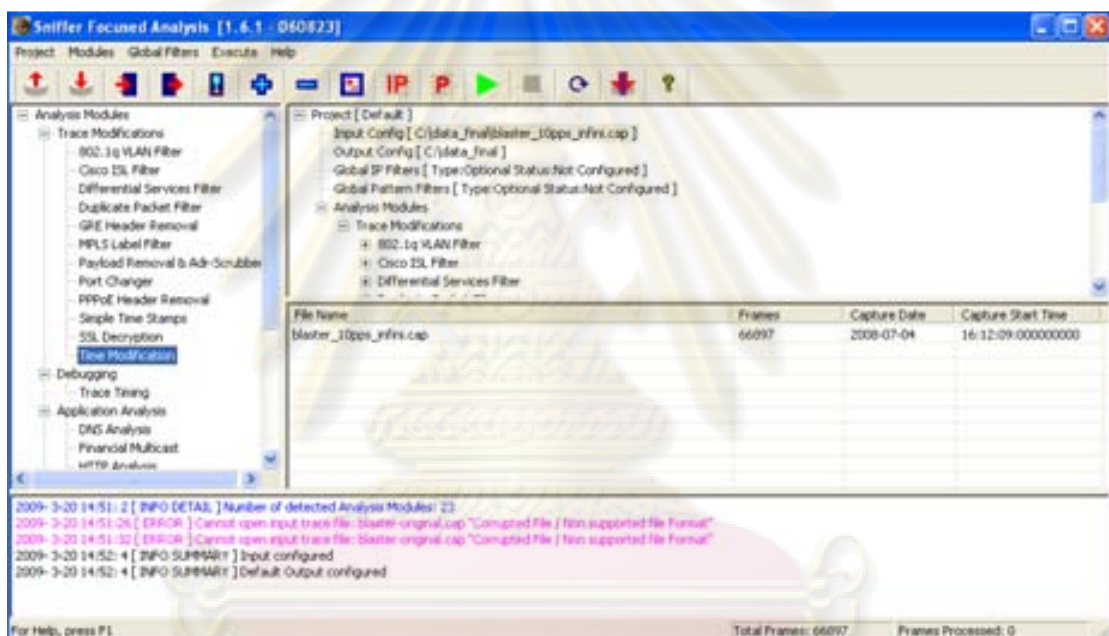


- ข้อมูลหนอนถูกเก็บด้วยโปรแกรมสินิฟเฟอร์ที่ชื่อว่า วายชาร์ก (wireshark) [28] เนื่องจากเป็นฟรีแวร์ (freeware) และใช้กันโดยแพร่หลาย โดยข้อมูลหนอนที่ถูกเก็บจะอยู่ในรูปแบบ .cap โดยแสดงดังรูปที่ ข.3

1	0.000000	Vmware_2c:c3:de	Broadcast	ARP	who has 161.200.92.146? tell 161.200.92.30
2	0.022977	161.200.92.30	228.88.238.200	ICMP	Echo (ping) request
3	0.052561	161.200.92.30	238.139.111.107	ICMP	Echo (ping) request
4	0.052571	161.200.92.30	224.37.120.153	ICMP	Echo (ping) request
5	0.052574	161.200.92.30	231.148.148.216	ICMP	Echo (ping) request
6	0.052576	161.200.92.30	224.222.17.131	ICMP	Echo (ping) request
7	0.052578	161.200.92.30	227.202.237.207	ICMP	Echo (ping) request
8	0.052581	161.200.92.30	232.131.97.65	ICMP	Echo (ping) request
9	0.052583	161.200.92.30	238.246.180.14	ICMP	Echo (ping) request
10	0.052586	161.200.92.30	227.150.246.20	ICMP	Echo (ping) request

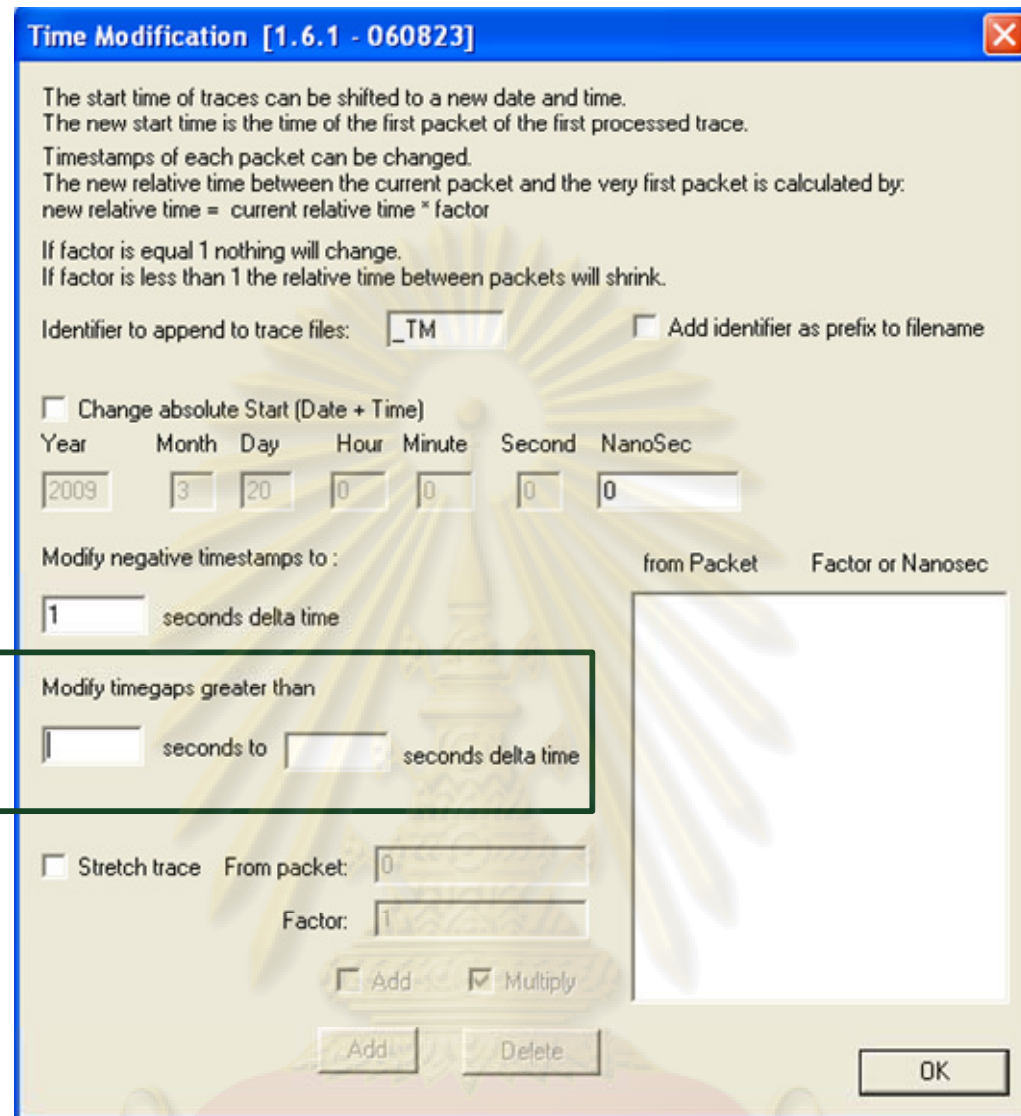
รูปที่ ๑.๓ รายละเอียดของไฟล์นามสกุล .cap

3. จากนั้นจะคัดลอกและปรับเปลี่ยนหนอนให้มีอัตราการกราดตรวจ 10 20 30 40 50 60 70 80 90 และ 100 การเชื่อมต่อต่อวินาที โดยใช้โปรแกรม Sniffer InfiniStream ในการปรับเปลี่ยนอัตราการกราดตรวจดังรูปที่ ๑.๔



รูปที่ ๑.๔ หน้าต่างหลักโปรแกรม Sniffer InfiniStream

ผู้จัดใช้ส่วน Time Modification -> Configuration ดังในรูปที่ ๑.๕ เพื่อปรับเปลี่ยนอัตราการกราดตรวจของหนอน และในหน้าต่าง Configuration จะมีกล่องข้อความให้ปรับเปลี่ยนระยะเวลาระหว่างแพ็คเก็ต ใช้ในการสร้างอัตราการกราดตรวจของหนอนต่างๆ เช่น ถ้าต้องการให้หนอนมีระยะเวลาการกราดตรวจ 10 การเชื่อมต่อต่อวินาที ระยะเวลาห่างระหว่างแพ็คเก็ตต้องมีค่า 0.1 วินาที เป็นต้น ในงานวิจัยนี้ใช้หนอนที่มีอัตราการกราดตรวจ 10 20 30 40 50 60 70 80 90 100 การเชื่อมต่อต่อวินาที



รูปที่ ข.5 หน้าต่าง Time Modification

4. หลังจากได้หนอนที่มีอัตราการกราดตรวจตามที่ต้องการ ผู้วิจัยกำหนดหมายเลขไอพีให้หนอนที่อัตราการกราดตรวจต่างๆ เนื่องจากเมื่อถูกตรวจจะบดด้วยสันกอร์ตแล้ว จะสามารถระบุอัตราการกราดตรวจของหนอนได้ โดยใช้หมายเลขไอพีดังตารางที่ ข.1

ตารางที่ ข.1 หมายเลขไอพีของหนอนที่อัตราการกราดตรวจต่างๆ

หมายเลขไอพี	อัตราการกราดตรวจ
0.0.0.10	10
0.0.0.20	20
0.0.0.30	30

ตารางที่ ข.1 (ต่อ) หมายเลขไอพีของหนอนที่อัตราการกราดตรวจต่างๆ

หมายเลขไอพี	อัตราการกราดตรวจ
0.0.0.40	40
0.0.0.50	50
0.0.0.60	60
0.0.0.70	70
0.0.0.80	80
0.0.0.90	90
0.0.0.100	100

ผู้ใช้ใช้โปรแกรม tcprewrite ในการกำหนดหมายเลขไอพีให้ข้อมูลหนอน มีรูปแบบ คำสั่งดังนี้

```
tcprewrite --pnat=หมายเลขไอพีรับเข้า/หมายเลขสับเปลี่ยนมาส:หมายเลขไอพีส่งออก --  
infile=ไฟล์รับเข้า --outfile=ไฟล์ส่งออก
```

ตัวอย่างเช่น ถ้าต้องการเปลี่ยนหมายเลขไอพีจากเดิมคือ 192.168.1.1 เป็น 0.0.0.10 โดยไฟล์ตัวรับเข้าคือ input.cap และไฟล์ส่งออกคือ output.cap คำสั่งจะเป็นดังนี้

```
tcprewrite --pnat=192.168.1.1/32:0.0.0.10 --infile=input.cap --outfile=worm10cps.cap
```

5. เมื่อกำหนดหมายเลขไอพีให้กับหนอนแล้วก็จะรวมข้อมูลหนอนเข้าด้วยกันโดยใช้ โปรแกรม mergecap มีรูปแบบดังนี้

```
mergecap -w ไฟล์ส่งออก ไฟล์รับเข้า1 ไฟล์รับเข้า2 ... ไฟล์รับเข้าN
```

คำสั่งที่ใช้มีดังนี้

```
mergecap -w wormdata.cap worm10cps.cap worm20cps.cap worm30cps.cap  
worm40cps.cap worm50cps.cap worm60cps.cap worm70cps.cap worm80cps.cap  
worm90cps.cap worm100cps
```

6. จากนั้นนำข้อมูลหนอนไปรวมกับข้อมูลสะอาดแต่เนื่องจากข้อมูลสะอาดมีระยะเวลา 22 ชั่วโมง และผู้ใช้ต้องการให้มีการกราดตรวจของหนอนเกิดขึ้นทั้ง 22 ชั่วโมง ดังนั้น จึงคัดลอก ข้อมูลหนอนเป็นจำนวน 11 ชุด และปรับเปลี่ยนเวลาของข้อมูลแต่ละชุดให้เรียงต่อกันและอยู่ ในช่วงเดียวกับข้อมูลสะอาดโดยใช้โปรแกรม editcap โดยมีรูปแบบคำสั่งดังนี้

editcap -t ±เวลาที่ปรับเปลี่ยนจากเดิม ไฟล์รับเข้าไฟล์ส่งออก
ตัวอย่างคำสั่งที่ใช้มีดังนี้

editcap -t -294523928 wormdata.cap wormdata2.cap

7. จากนั้นจึงรวมข้อมูลด้วยโปรแกรม mergecap โดยคำสั่งที่ใช้มีดังนี้

mergecap controlleddata.cap darpa99.cap wormdata.cap wormdata2.cap

wormdata3.cap wormdata4.cap wormdata5.cap wormdata6.cap wormdata7.cap

wormdata8.cap wormdata9.cap wormdata10.cap



ศูนย์วิทยทรัพยากร
จุฬาลงกรณ์มหาวิทยาลัย

ภาคผนวก ค

ผลงานตีพิมพ์

ส่วนหนึ่งของงานวิทยานิพนธ์ได้รับการตีพิมพ์เป็นบทความวิชาการในหัวเรื่อง “การสูมตัวอย่างแพ็กเก็ตแบบกราดตรวจ” โดยเลิศพงษ์ เลิศไพรากวงศ์ และ ยรวรยง เต็งคำนวย ในงานประชุมวิชาการ “The 12th National Computer Science and Engineering Conference (NCSEC 2008)” ซึ่งจัดขึ้น ณ โรงแรมลองบีช ชลบุรี ประเทศไทย ระหว่างวันที่ 20-21 พฤศจิกายน 2551



ศูนย์วิทยทรัพยากร
จุฬาลงกรณ์มหาวิทยาลัย

ในงานนี้ผู้ใช้ไฟร์วอร์ค์ที่ชื่อ Flow-portscan 0.01 บนเครื่อง [5] ตรวจสอบการกราฟตรวจสอบของงานบน ซึ่งมีวิธีการตรวจสอบไปยังตัวอย่างที่ Kawahara มาก่อน [3] เสนอตัวอย่างนี้เช่นเดียวกับ Sekar มาก่อน [4] เป็นอย่างไรที่จะดูว่าตัวอย่างตัวอย่างของกราฟตรวจสอบที่แสดงเมื่อเวลาที่ผ่านมา ถูกต้องและดำเนินการอย่างต่อเนื่อง แต่ต้องตรวจสอบขั้นตอนการถูกต้อง



รูปที่ 3 การถูกต้องต่อเนื่อง

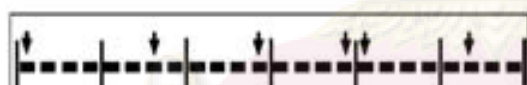
3. ทฤษฎีที่เกี่ยวข้อง

3.1 การถูกต้องต่อเนื่อง

เพื่อที่จะทดสอบว่าต้องการตรวจสอบให้ศักยภาพของถูกต้องต่อเนื่อง [16] ทั้งการถูกต้องต่อเนื่องแบบมีขั้นตอน (sequential random sampling) การถูกต้องต่อเนื่องแบบมีระบบ (systematic sampling) และการถูกต้องต่อเนื่องแบบง่าย (simple random) ให้มีรายละเอียดดังนี้ไป罢。

3.1.1 การถูกต้องต่อเนื่องแบบมีขั้นตอน

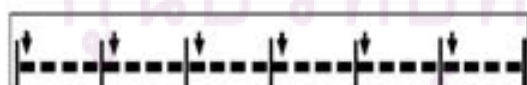
การถูกต้องต่อเนื่องแบบมีขั้นตอน [6] ถูกใช้ในมาตรฐาน RFC 3176 [7] ของเซ็ฟเวอร์ (Server) [8] การถูกต้องต่อเนื่องแบบมีขั้นตอนนี้จะถูกออกแบบเป็นกลุ่มต่อๆ กันที่มีขนาด พาหะที่กำหนดแล้วซึ่งถูกออกแบบให้สามารถจัดการได้สะดวกยิ่งขึ้น ทำให้สามารถตรวจสอบขั้นตอนการตรวจสอบที่มีรูปแบบให้ดีและให้การติดต่อภายนอกถูกต้องตามที่กำหนดนี้อย่างมีประสิทธิภาพ กระบวนการถูกต้องต่อเนื่องจะถูกต้องตามที่ตั้งค่าไว้ในรูปที่ 1



รูปที่ 1 การถูกต้องต่อเนื่องแบบมีขั้นตอน

3.1.2 การถูกต้องต่อเนื่องแบบมีระบบ

การถูกต้องต่อเนื่องแบบมีระบบจะถูกเรียกว่าเป็น 1 ที่จะมีเอกลักษณ์ที่ไม่ซ้ำกันของทุกๆ กลุ่มต่อๆ กันที่ต้องการตรวจสอบ [9] ตัวอย่างในรูปที่ 2



รูปที่ 2 การถูกต้องต่อเนื่องแบบมีระบบ

3.1.3 การถูกต้องต่อเนื่องแบบง่าย

การถูกต้องต่อเนื่องแบบง่ายจะถูกเรียกว่าเป็นการถูกต้องต่อเนื่องแบบง่ายที่มีรูปแบบเป็นกลุ่มต่อๆ กัน [10] ให้มีความน่าจะเป็นในการถูกต้องต่อเนื่องที่สูงที่สุด ตัวอย่างในรูปที่ 3

3.2 โปรแกรม Dumpcap

โปรแกรม Dumpcap [9] เป็นโปรแกรมชนิดไฟล์ที่ใช้ในการเก็บกระแสข้อมูลในรูปแบบของ .cap ไฟล์ ซึ่งเป็นไฟล์มาตรฐานสำหรับภาษาที่ชื่อว่า Wireshark สามารถดำเนินการตรวจสอบและวิเคราะห์ว่ามีข้อผิดพลาดที่ใดที่ไหน ให้เก็บข้อมูลได้อย่างรวดเร็วและแม่นยำ ให้เก็บข้อมูลที่มีค่าคงที่และ

3.3 หน่วยแบบกราฟตรวจ

หน่วยแบบกราฟตรวจ (Sounding Wave) มีพัฒนาระบบที่สำคัญที่สุด gravitational wave detector (GW) ที่มีความสามารถในการรับรู้สิ่งที่มีอยู่ในโลกได้มากที่สุด [10] โดยมีชั้นตอนการทำงาน 4 ชั้นตอน [11] คือการเก็บหา เป้าหมาย การตรวจสอบข้อเท็จจริง การส่งไปประเมิน และการเริ่มการพัฒนาของโปรแกรม ในงานนี้จะตรวจสอบการทำงานในชั้นตอนที่ 1 คือการเก็บหาเป้าหมาย

ตารางที่ 1 ตัวกรากตรวจสอบของหน่วยที่ 1

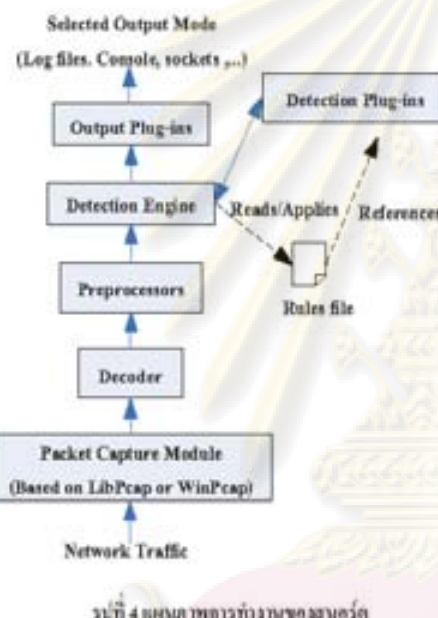
ชื่อ	ตัวกรากตรวจสอบ(มีค่าคงที่)
Code Red	200-400
Nanda	200
Blaster	10-20
Welchia	70
Shamoon	2000

ในกรณีที่พบว่า หน่วยตรวจไฟล์ที่อยู่ในเครือข่ายนี้มีค่าที่ต่ำกว่า 100% ให้ใช้วิธีการกราฟตรวจสอบอีกในครั้งต่อไปนั้นซึ่งเกิดจากพัฒนาที่อยู่ต่อไปนี้ตามมาโดยใช้ค่าที่ต่ำกว่า 100% เป็นจุดที่เราต้องตั้งค่าให้เกิดการติดต่อระหว่างกราฟตรวจสอบของหน่วยและหน่วยที่ต้องตรวจสอบ พบว่ามีผลกระทบต่อ ค่าที่ต้องตรวจสอบต่อไปนี้ ในการติดต่อระหว่างหน่วยที่ต้องตรวจสอบและหน่วยที่ต้องตรวจสอบต่อไปนี้มีค่าความเสี่ยงทางภัยเป็นจำนวนมาก ซึ่งแสดงให้เห็นว่าที่ 1 [12-15]

3.4 งานวิเคราะห์ไฟร์วอร์ค์ Flow-portscan

งานนี้ [5] เป็นโปรแกรมตรวจสอบตัวอย่างที่มีชื่อว่า Network Intrusion Detection (Network Intrusion Detection) โฉมเป็นโปรแกรมโอเพนซอร์ส (Open Source) ซึ่งใช้กันโดยแพร่หลาย งานนี้จะดำเนินการโดยมีชั้นตอน 4 ชั้นตอนต่อไป [16] โปรแกรมนี้จะต้องใช้ค่าตั้งค่าที่มีชื่อว่า LiScope (ลีสโคป ที่บูร์) หรือ Wireshark (วิชาร์ช) ในการเขียนเพื่อให้ค่าตัวให้

ช่วง Decoder ตรวจสอบเพื่อสืบเป็นไปริ่ปลอกต่อๆ กัน หลังจากนั้นหรือ ให้ตรวจสอบว่าช่วงพัฒนามีค่าปกติต่อๆ กันที่ได้กำหนดไว้ ใน config นี้ ถ้าสังเกตให้พร้อมตรวจสอบ Flow-portscan ในการตรวจสอบ การตรวจสอบของตอนนี้ ยกเว้นไปยัง Detection Engine ใน การตรวจสอบ เมื่อสืบไปอย่างถูกต้อง (Rule) ต่อๆ กัน เมื่อเชื่อมต่อช่วงที่ตรวจสอบแล้วในชุดเป็นต่อๆ กันต่อไป Output

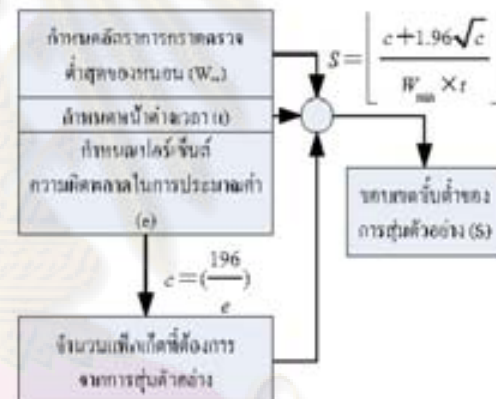


รูปที่ 4 ภารกิจการตรวจสอบของเครือข่าย

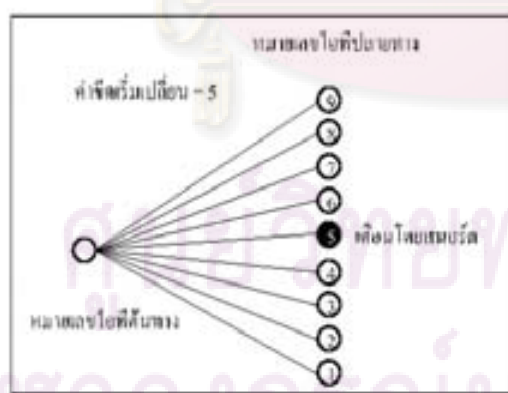
การตรวจสอบของตอนนี้ ดังนี้จะใช้เพื่อหาความเสี่ยงที่ปัจจุบันที่ต้องแก้ไขนั้น [17] โดยที่เก็บแนวโน้มที่เก็บไว้ของความผิดปกติที่มีอยู่ในเดือนก่อน ก่อนที่ก่อให้เกิด สถานะที่จะทำการตีความว่ามีความผิดปกติเกิดขึ้น การตีความค่าเดือนก่อนที่ซึ่งเป็น 0 และเริ่มนับใหม่ถูกเรียกว่าค่าความผิดปกติที่อยู่ในช่วงตรวจสอบ ให้ก่อภารกิจของเครือข่ายตรวจสอบและรายงานผลให้ในรูปที่ 5

4. การหาข้อความที่สำคัญต่อของการตีความตัวอย่าง

เมื่อของการตีความตัวอย่างที่ให้จัดทำวนแปรเพื่อสืบค้น ดังนี้นั้น ต้องการกรองหา ตรวจสอบว่าเดือนนี้มีค่าทดสอบของความผิดปกติที่ตัวอย่างที่ไม่สามารถตัดสินใจได้ต่อตัวเองได้ ตัวอย่างเช่นค่าที่ต้องตั้งค่าไว้เป็นค่า (Threshold) และช่วงเวลาตรวจสอบเพิ่ม ถ้าวิธีสานหนักค่าความผิดปกติที่ต้องการตีความตัวอย่าง ให้ดูมีขั้นตอนดังรูปที่ 6



รูปที่ 5 การหาข้อความที่สำคัญต่อของการตีความตัวอย่าง



รูปที่ 6 การตีความของพอร์ตที่ไม่ตรวจสอบ Flow-portscan

ช่วงที่ 5 ให้ตรวจสอบ Flow-portscan จะเมื่อต้องมีเพื่อสืบค้น ห้ามตรวจสอบไปที่เดือนก่อน ห้ามตรวจสอบไปที่ปัจจุบันที่ต้องการตัวอย่าง หรือต้องมีค่าที่ห้ามตรวจสอบไปริ่ปลอกต่อๆ กันให้เป็น 1 คะแนน แต่เมื่อตรวจสอบว่าช่วงนี้มีของเหลือเพิ่มเติมตรวจสอบต่อไป

เริ่มต้นก็ต้องหันตัวไป 3 ตัว ให้เกิด 3 ตัวตรวจสอบตัวอย่าง ตัวอย่างของเดือนที่สามของเดือนที่ 5 (W_{\min}) ให้นำมาเป็นเพื่อสืบค้น วันที่ 5 ช่วงเวลาตรวจสอบตัวอย่าง (t) และเปอร์เซ็นต์ความผิดปกติที่ต้องการในกิจกรรม (e)

ต้องหันตัวไป 3 ตัว จึงจะมีความผิดปกติ c ต้องหันตัวไปที่เดือนเดียว S ต้องตรวจสอบตัวอย่าง (c ต้องหันตัวไป 3) $/ (W_{\min} \times t)$ หมายความว่าคุณต้องเมื่อเพื่อสืบค้น 1 เม็ดกิ๊ฟ (ถูกๆ 3 เม็ดกิ๊ฟ) ซึ่งถูกต้องตามที่ต้องการตัวอย่างตัวเดียวของเดือนที่ 1 [18-19]

$$c = C \times S \quad (1)$$

ให้เมื่อปีนี้เริ่มต้นความผิดปกติในการประเมินค่า (e) ต้องหันตัวไป [18-19]

$$e \leq 196 \times \sqrt{\frac{1}{c}} \quad (2)$$

นั่นหมายความว่าเมื่อต้องหันตัวไป 3 มากกว่า 3 ให้หันตัวกลับตัวเดิมที่ห้ามตรวจสอบตัวอย่างไว้ 10,000 เม็ดกิ๊ฟ ค่า c จะเป็น 1.96 % ค่า c ที่มีประมาณ

ผลกระทบได้รุกครั้งที่ใหญ่กว่า ซึ่งแสดงให้เห็นว่าการดำเนินงานทางธุรกิจของคุณที่มีความต้องการใช้เครื่องคอมพิวเตอร์ที่เชื่อมต่ออยู่บนอินเทอร์เน็ตมีความเสี่ยงต่อไป

7. สรุป

เมื่อต้องการความสามารถในการเก็บข้อมูลที่มีมาเข้าสู่ระบบ แนะนำให้เลือกใช้เครื่องมือที่มีชื่อเรียกว่า “sniff” แทนวิธีที่นิยมใช้กันอยู่คือวิธีที่ได้จากการดำเนินการ ที่ได้เก็บข้อมูลด้วยการหักบากหรือตัด ซอฟต์แวร์ที่มีความสามารถในการตรวจสอบและตัดต่อข้อมูลที่ถูกสูญเสียในระหว่างการส่ง หรือรับการส่ง ผลลัพธ์ของการดำเนินการได้จะเป็นอย่างดีและมีประสิทธิภาพมากขึ้น แต่ในส่วนที่เกี่ยวกับการติดต่อสื่อสารที่มีชื่อเรียกว่า “ping” ที่ศึกษาในวิธีที่ได้เก็บข้อมูลเพิ่มขึ้นได้จะทำให้ (ping 87 ครั้ง) ใช้เวลาเป็น 262 วินาที และสามารถตรวจสอบว่าอุบัติการณ์ของเครือข่ายที่มีอยู่ในระบบเป็นอย่างไร

8. อิทธิพลรวมประมวล

ขอขอบคุณ กิตติศักดิ์ ธรรมรงค์ ที่ได้โปรแกรมหานผล และ ภูษณัท พิมานพันธ์ มากกว่า 5 ปี ที่ร่วมงานกันมีความมุ่งมั่นและพยายามที่จะทำให้การศึกษาและพัฒนาด้านเทคโนโลยีดิจิทัลของประเทศไทยเป็นไปอย่างดี

เอกสารอ้างอิง

- [1] P. Pongpairoo, *Characteristics of Internet Traffic in Thailand*, 3rd ECTI-CON 2006, Ubonratchatani, Thailand, May 2006.
- [2] D. Bruckhoff, B. Tellkoch, A. Wagner, M. May, and A. Lakhina, "Impact of packet sampling on anomaly detection metrics," in *IMC '06: Proceedings of the 6th ACM SIGCOMM on Internet measurement*, pages 159–164, New York, NY, USA, 2006. ACM Press.
- [3] R. Kawahara, T. Mori, N. Kamiyama, S. Harada, S. Asano, "A Study on Detecting Network Anomalies Using Sampled Flow Statistics," *Applications and the Internet Workshops, 2007. SAINT Workshops 2007. International Symposium on*, vol. no., pp.81–81, Jan. 2007.
- [4] V. Sekar, Y. Xie, M. K. Reiter, and H. Zhang, "A multi-resolution approach for worm detection containment," in *Proc. International Conference on Dependable Systems and Networks*, 2006.
- [5] M. Rossch and C. Green, "Snort User's Manual." [Online]. Available: <http://www.snmrt.org> [27 July 2008].
- [6] K. Claffy, G. Polyzot, and H. Braun, "Application of Sampling Methodologies to Network Traffic Characterization", *Computer Communication Review*, Vol. 23, No. 4, pp. 194 – 203, 1993.
- [7] P. Phaal, S. Panchen, N. McKee, "InMon Corporation's sFlow: A Method for Monitoring Traffic in Switched and Routed Networks", RFC 3176, Sep 2001.
- [8] "sFlow." [Online]. Available: <http://www.sflow.org> [27 July 2008].
- [9] "Dumpcap." [Online]. Available: <http://www.wireshark.org/docs/man-pages/dumpcap.html> [27 July 2008].
- [10] F. Buchholz, T. Daniels, J. Early, "Digging for worms, fishing for answers," *Computer Security Applications Conference, 2002 Proceedings. 18th Annual*, vol. no., pp. 219-226, 2002.
- [11] M. Lee, T. Shan, K. Cho, M. Chung, I. Seo, J. Moon, *An Approach for Classifying Internet Worms Based on Temporal Behaviors and Packet Flow*, Lecture Notes in Computer Science 2007.
- [12] M.M. Williamson, "Throttling viruses: restricting propagation to defeat malicious mobile code," *Computer Security Applications Conference, 2002 Proceedings. 18th Annual*, vol. no., pp. 61-68, 2002.
- [13] J. Twycross and M.M. Williamson, "Implementing and Testing a Virus Throttle," *Proc. 12th Usenix Security Symp.*, Usenix Assoc., 2003, pp. 285-294.
- [14] C. Wong, S. Bielski, A. Studer, C. Wang, "On the Effectiveness of Rate Limiting Mechanism," *8th International Symposium on Recent Advances in Intrusion Detection (RAID 2005)*, September 7-9, 2005, Seattle, Washington.
- [15] C.C. Zou, W. Geng, D. Towsley, "Worm propagation modeling and analysis under dynamic quarantine defense," *Proceedings of the 2003 ACM workshop on Rapid malcode*, October 27-27, 2003, Washington, DC, USA.
- [16] A. F. Arboleda and Ch. E. Bedón, "Snort diagrams for developers." [Online]. Available: <http://afroedita.unicauca.edu.co/~cbedon/snort/snortdevdiagrams.html> [27 July 2008].
- [17] A.A. Cardenas, J.S. Barra and V. Ramezani, "Distributed Change Detection for Worms, DDoS and other Network Attacks," in *ACC '04*, Boston, MA, 2004.
- [18] P. Phaal and S. Panchen, "Packet Sampling Basics." [Online]. Available: <http://www.sflow.org/packetSamplingBasics/index.htm> [27 July 2008].
- [19] J. Jedwab, P. Phaal, and B. Pissai, "Traffic estimation for the largest sources on a network, using packet sampling with limited storage," Technical Report HPL-92-35, HP Labs Technical Report, 1992.

[20] "Tcpdump." [Online]. Available: <http://linux.die.net/man/8/tcpdump>. [27 July 2008].



เต็อก พงษ์ เต็อก ไหกานนท์ อรุณรัตน์ ภูดิษฐ์ ธรรมรงค์ ธรรมรงค์ ก้อนพิริยะกุล ปริญญาโท สาขาบริหารระบบคอมพิวเตอร์ จุฬาลงกรณ์มหาวิทยาลัย ปี 2548 โทศึกษาบัณฑิต สาขาบริหารระบบคอมพิวเตอร์ จุฬาลงกรณ์มหาวิทยาลัย ปี 2545 สาขาวิชาบริหารระบบคอมพิวเตอร์ สาขาวิชาการคุ้มครองข้อมูลทางไซเบอร์ โทศึกษาบัณฑิต สาขาวิชาบริหารความปลอดภัย โทศึกษาบัณฑิต สาขาวิชาเครือข่ายและอินเทอร์เน็ต โทศึกษาบัณฑิต สาขาวิชาเครือข่ายและอินเทอร์เน็ต Network Security, Sniffer, Web, และ Intrusion Detection System.



บรรดา ตั้งสัตย์ นามา สำเร็จปริญญาบัณฑิต วิศวกรรมไฟฟ้า จุฬาลงกรณ์มหาวิทยาลัย เมื่อ พ.ศ. 2519 ปริญญาโท บัณฑิต วิทยาศาสตร์คอมพิวเตอร์ จุฬาลงกรณ์มหาวิทยาลัย เมื่อ พ.ศ. 2522 และ Ph.D. Computer Science จาก Iowa State University, U.S.A. เมื่อ พ.ศ. 1984 ปัจจุบันเป็นรองศาสตราจารย์ประจำภาควิชา วิศวกรรมคอมพิวเตอร์ จุฬาลงกรณ์มหาวิทยาลัย งานวิจัยหลัก งานวิจัยที่สนใจ ได้แก่ Internet Technology, Security, Enterprise Systems & Architecture, และ Distributed Systems.

ศูนย์วิทยทรัพยากร จุฬาลงกรณ์มหาวิทยาลัย

ประวัติผู้เขียนวิทยานิพนธ์

นายเดชพงษ์ เลิศไพบูลวงศ์ เกิดเมื่อวันที่ 22 มีนาคม พ.ศ. 2527 ที่จังหวัด กรุงเทพมหานคร สำเร็จการศึกษาระดับปริญญาวิศวกรรมศาสตรบัณฑิต จากภาควิชาวิศวกรรมคุณภาพ คณะวิศวกรรมศาสตร์ มหาวิทยาลัยอัสสัมชัญ ในปีการศึกษา 2547 และเข้าศึกษาต่อในหลักสูตรวิทยาศาสตรบัณฑิต สาขาวิชาวิทยาศาสตร์คอมพิวเตอร์ ภาควิชาวิศวกรรมคุณภาพ คณะวิศวกรรมศาสตร์ จุฬาลงกรณ์มหาวิทยาลัย ในปีการศึกษา 2548



**ศูนย์วิทยทรัพยากร
จุฬาลงกรณ์มหาวิทยาลัย**